J-PARCにおける 反K中間子原子核の系統的研究に用いる

円筒型ドリフトチェンバーの製作と性能評価

東北大学大学院 理学研究科 物理学専攻 先端量子ビーム科学研究センター 電子光理学研究部門 クォーク核物理研究部

木村 佑斗

- 1. 研究背景
- 2. J-PARC E80 実験
- 3. 円筒型ドリフトチェンバー (E80-CDC)
- 4. E15-CDCを用いた宇宙線測定による性能評価
- 5. まとめと展望

1. 研究背景

- 2. J-PARC E80 実験
- 3. 円筒型ドリフトチェンバー (E80-CDC)
- 4. IHCDC (E15-CDC) を用いた宇宙線測定による性能評価
- 5. まとめと展望

新しい形態の原子核

原子核

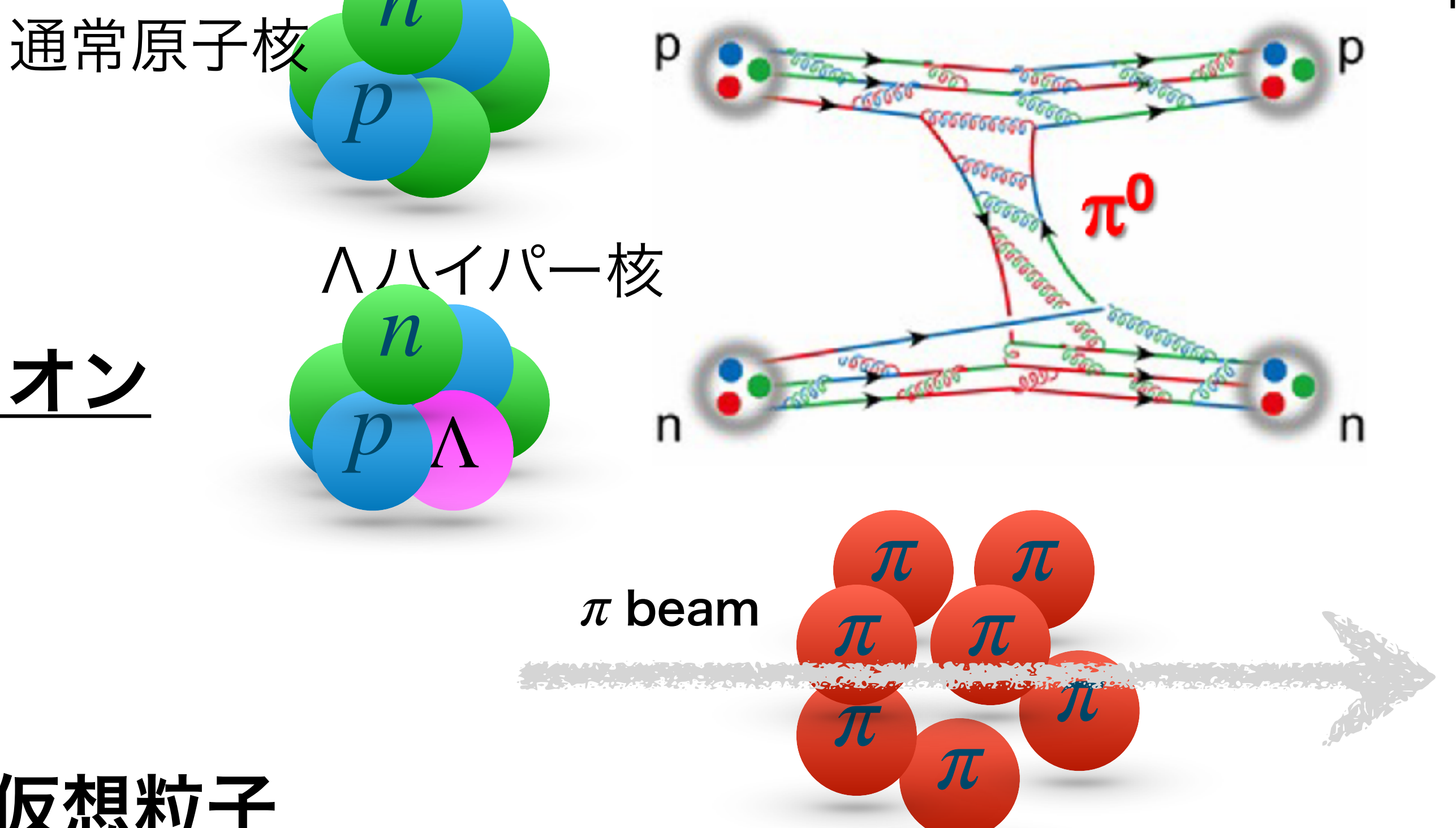
- ・構成粒子:陽子 (p),中性子 (n) 等の<u>バリオン</u>
- ・力の媒介粒子:中間子 (π etc..)

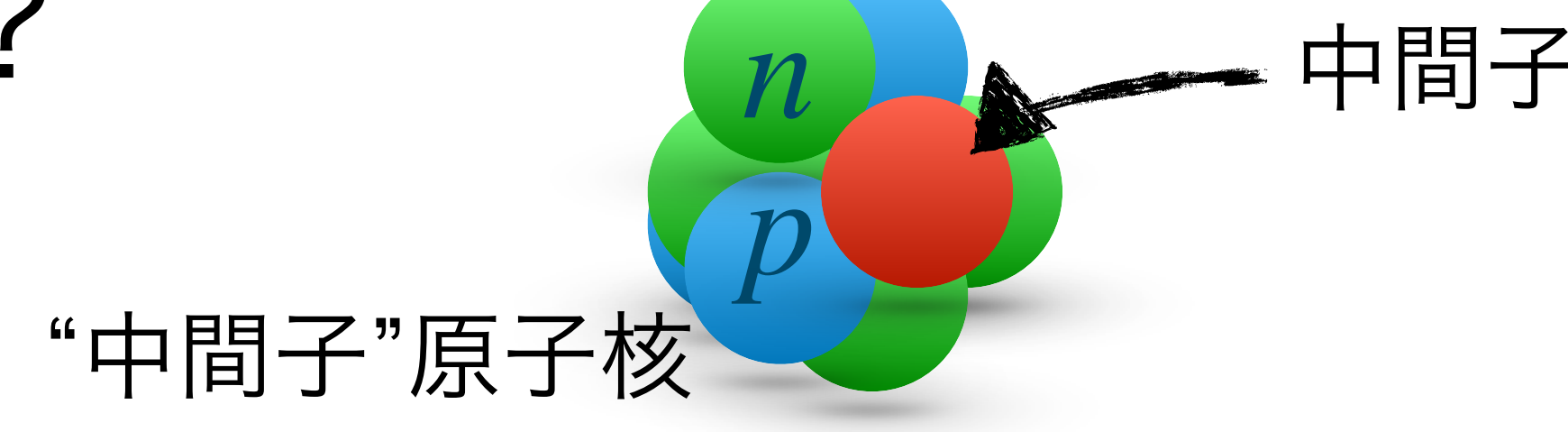
中間子

- ・<u>原子核中では</u>核子間ポテンシャルを作る**仮想粒子**
- ・<u>真空中では</u>固有の質量と寿命をもった**実粒子**として存在可能(例 中間子ビーム)

中間子が<u>実粒子として</u>構成粒子を担う原子核は存在するのか?

存在するならば、どんな性質なのか?



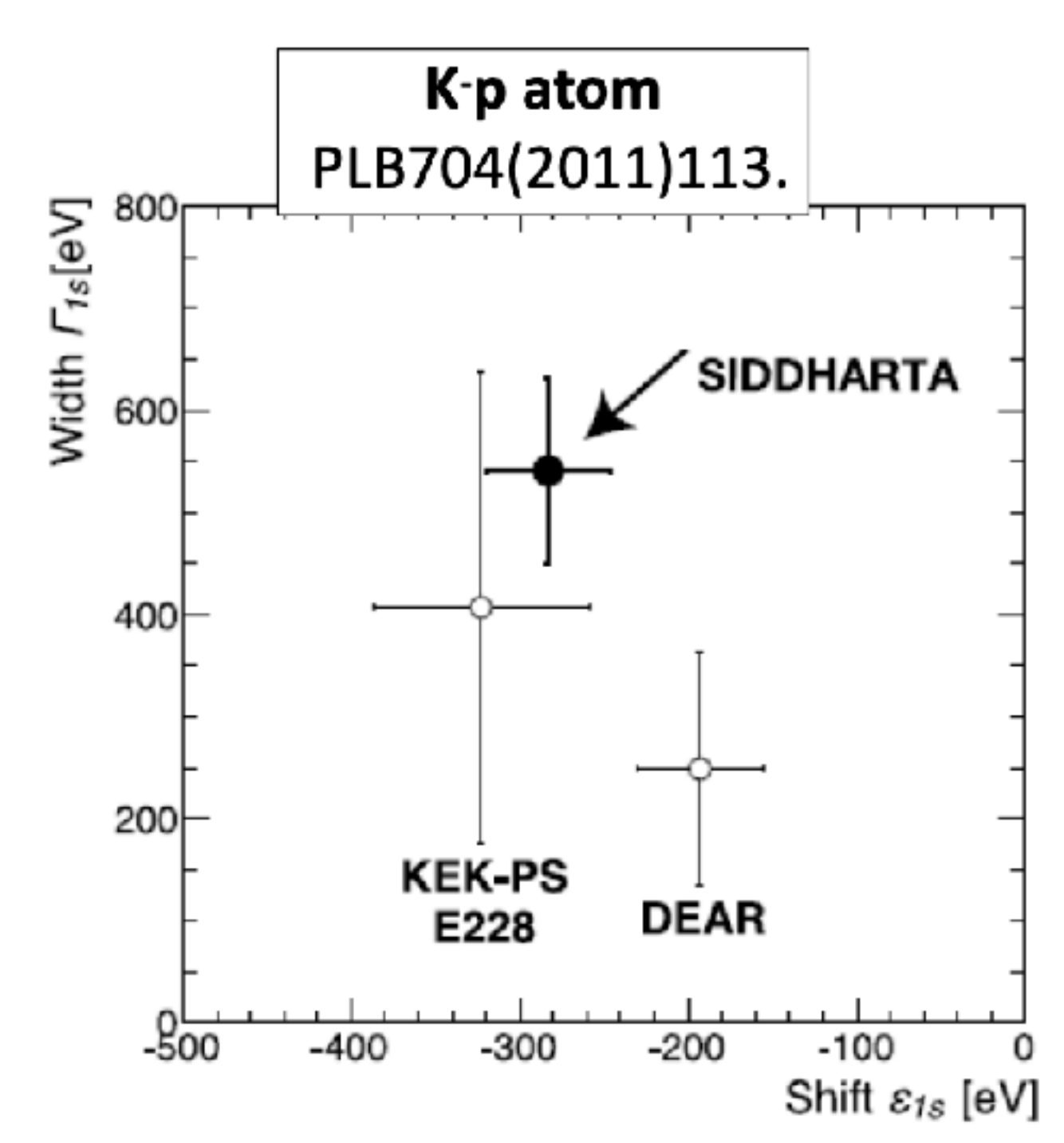


KN引力相互作用

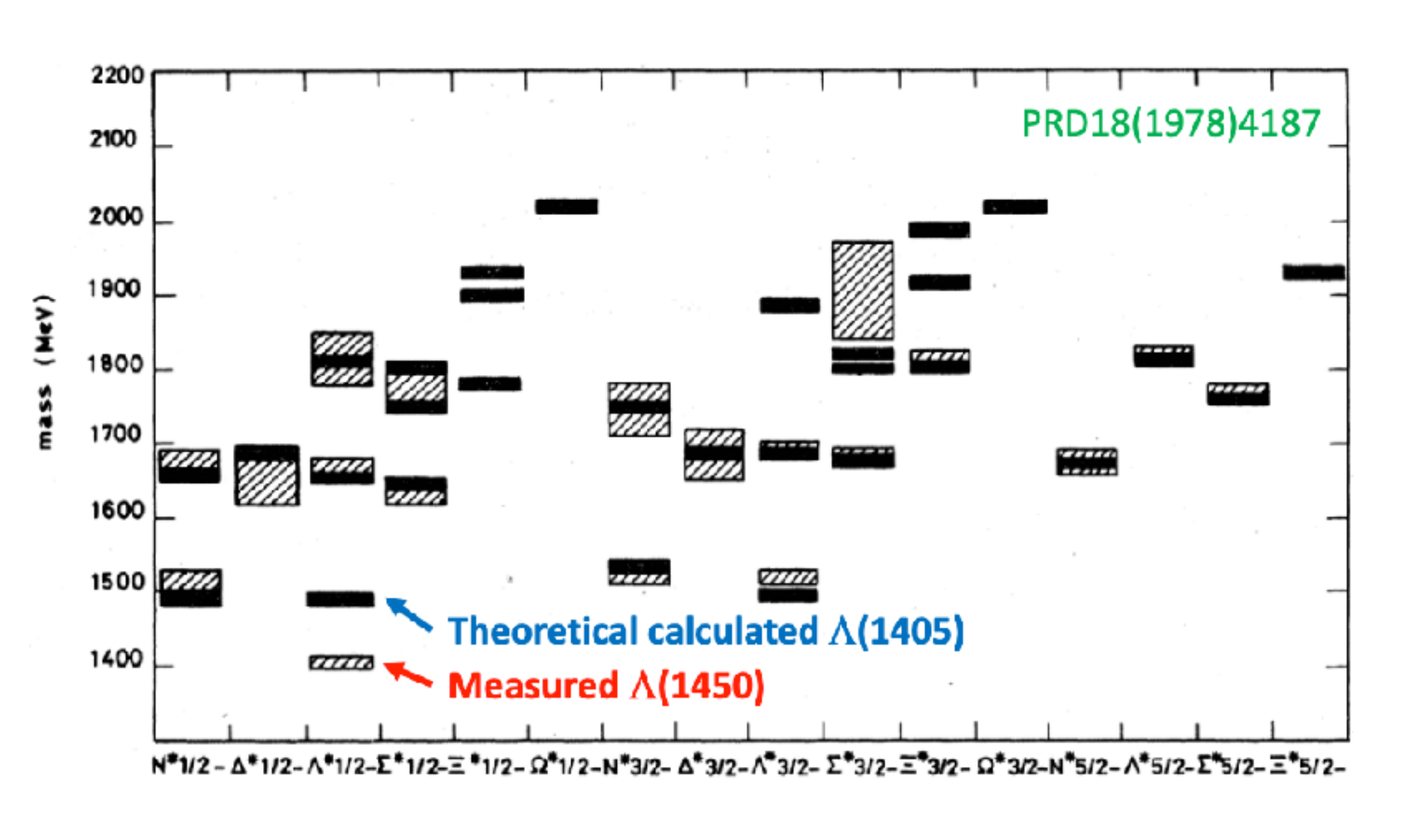


• 強い引力 (I=0)

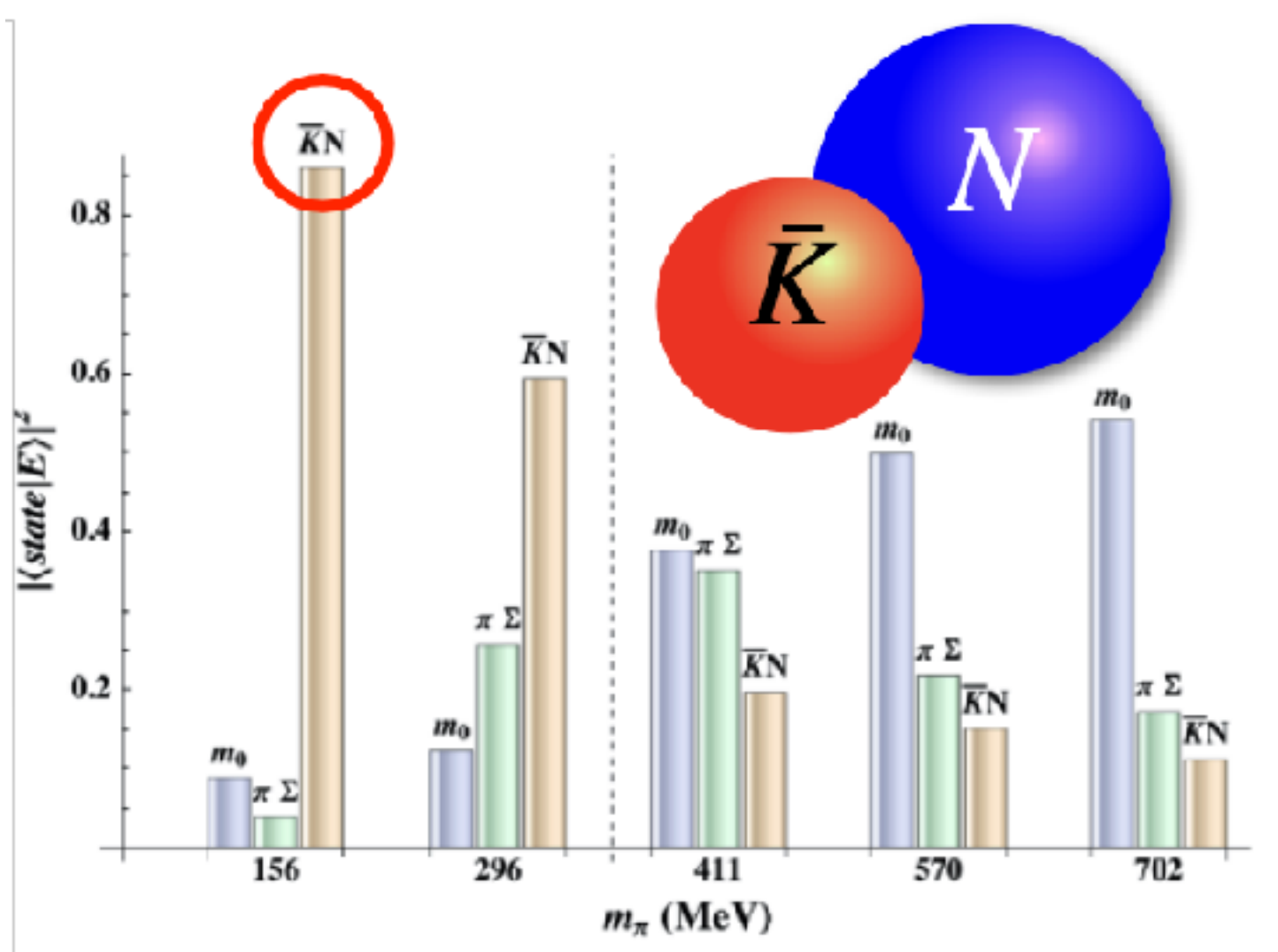
(X線分光実験より)



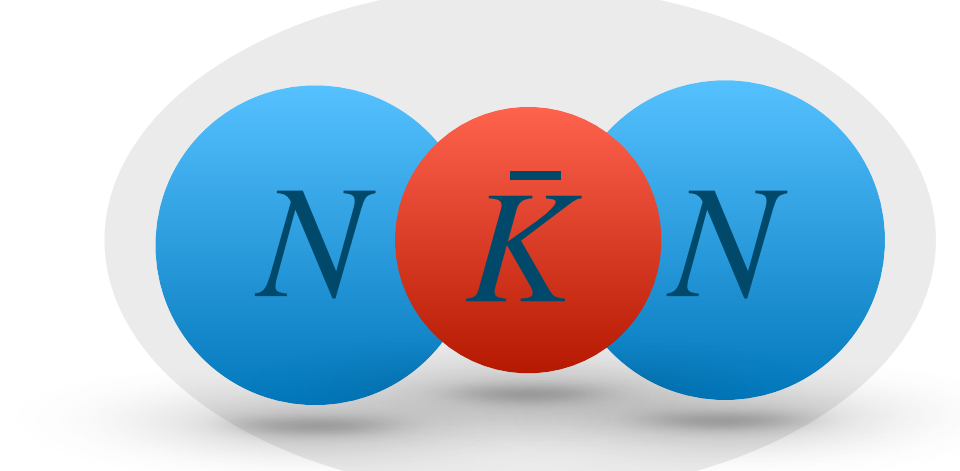
• エキゾチックハドロン $\Lambda(1405)$: $\bar{K}N$ が分子的に束縛した系??



KbarN molecule from Lattice QCD PRL114(2015)132002.

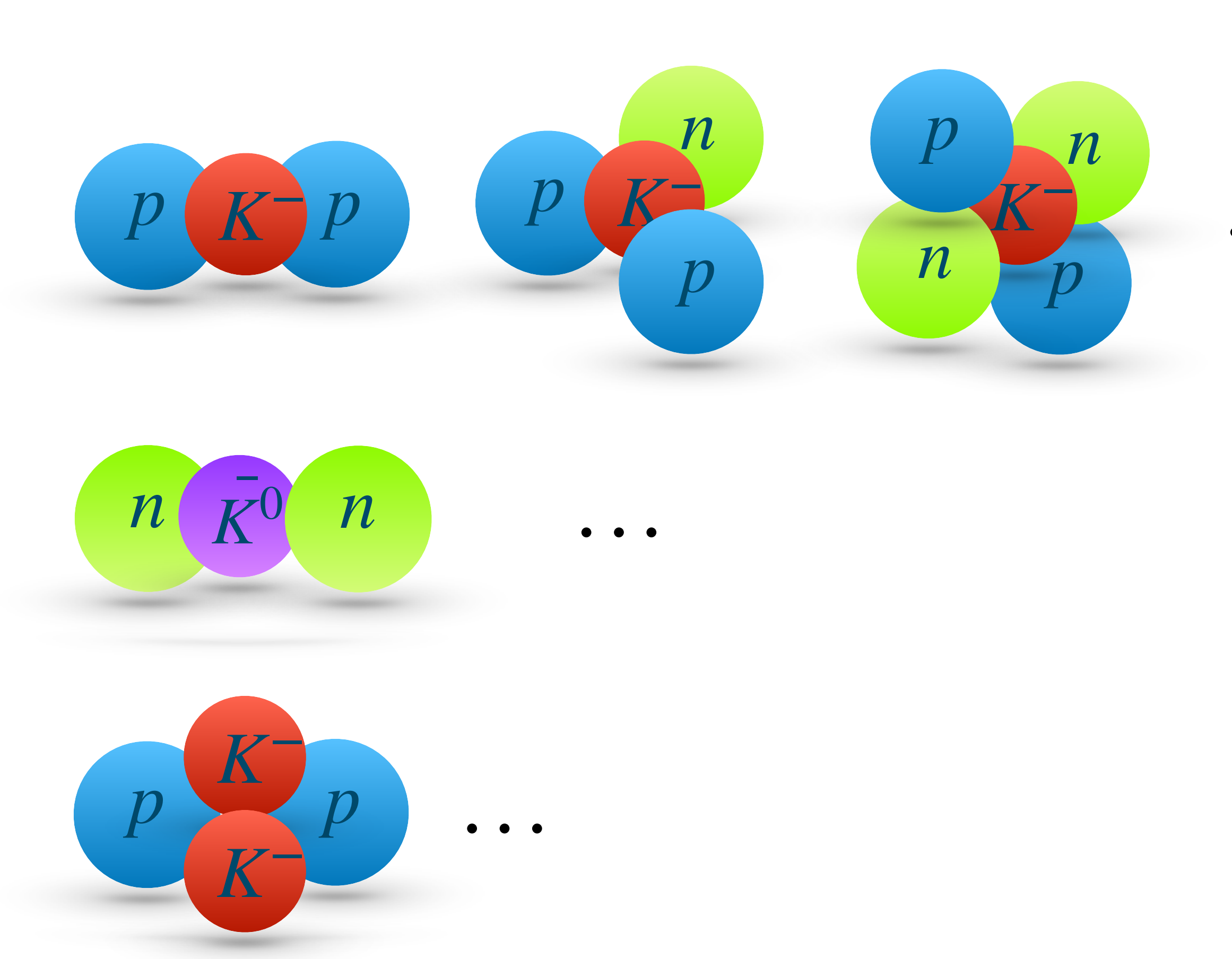


核子数を増やした系($ar{K}NN$, $ar{K}NNN$ etc)も存在する?? $ar{N}$ $ar{K}$ N

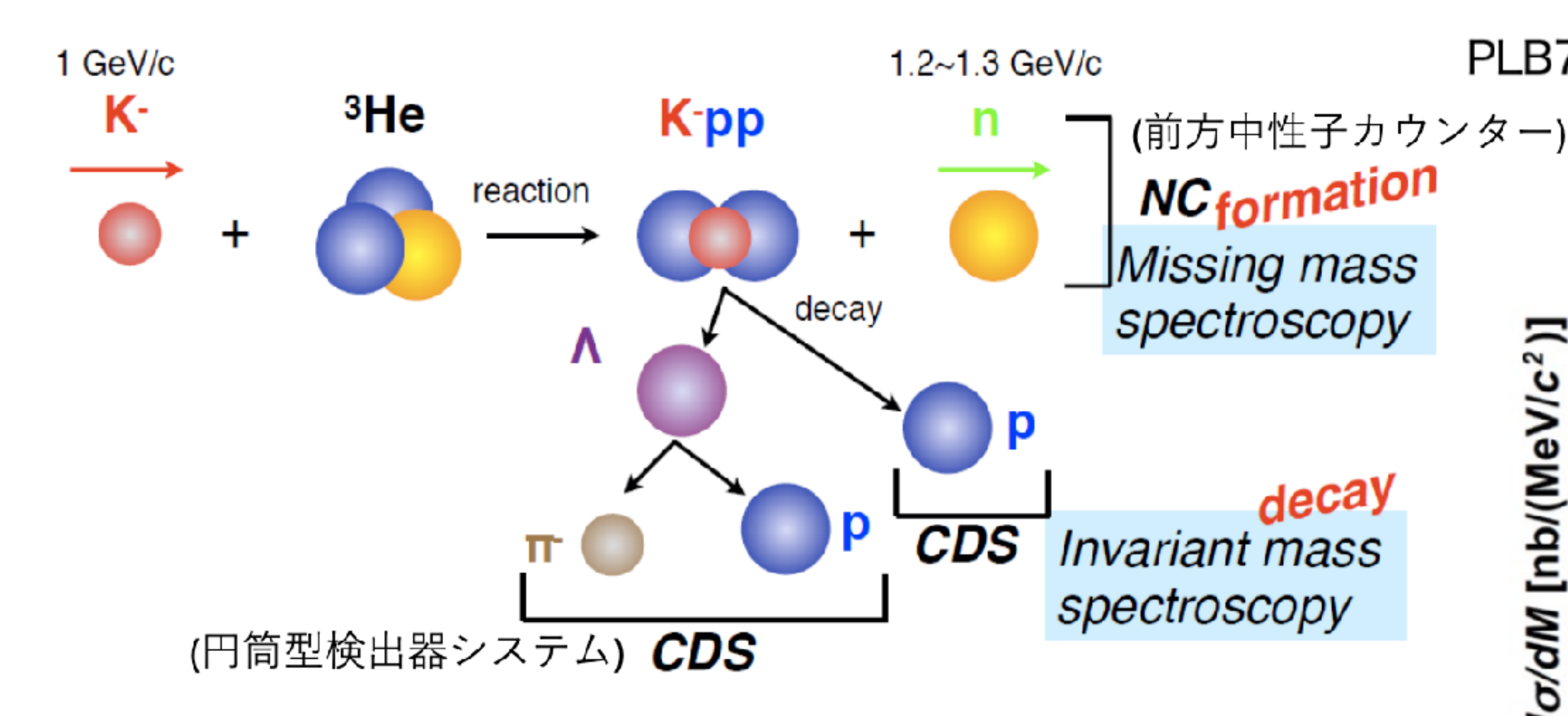


反K中間子原子核

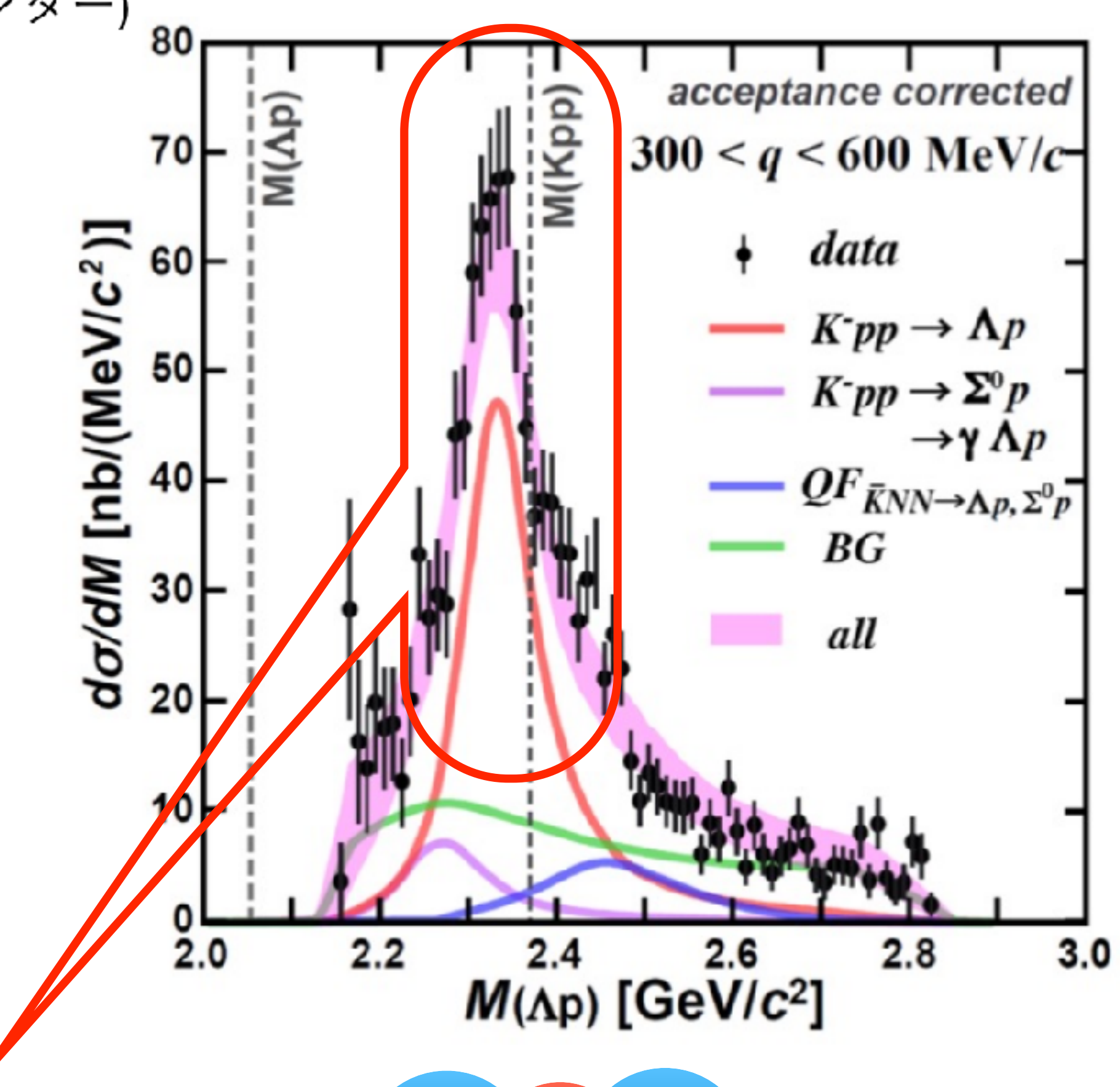
"実"反K中間子衣と核子Nが束縛した新奇な原子核



K⁻pp 探索実験 (先行研究 J-PARC E15)



東縛エネルギー = 42 ± 3 (stat.) $^{+3}_{-4}$ (syst.) MeV 崩壊幅 = 100 ± 7 (stat.) $^{+19}_{-9}$ (syst.) MeV PLB789(2019)620., PRC102(2020)044002.

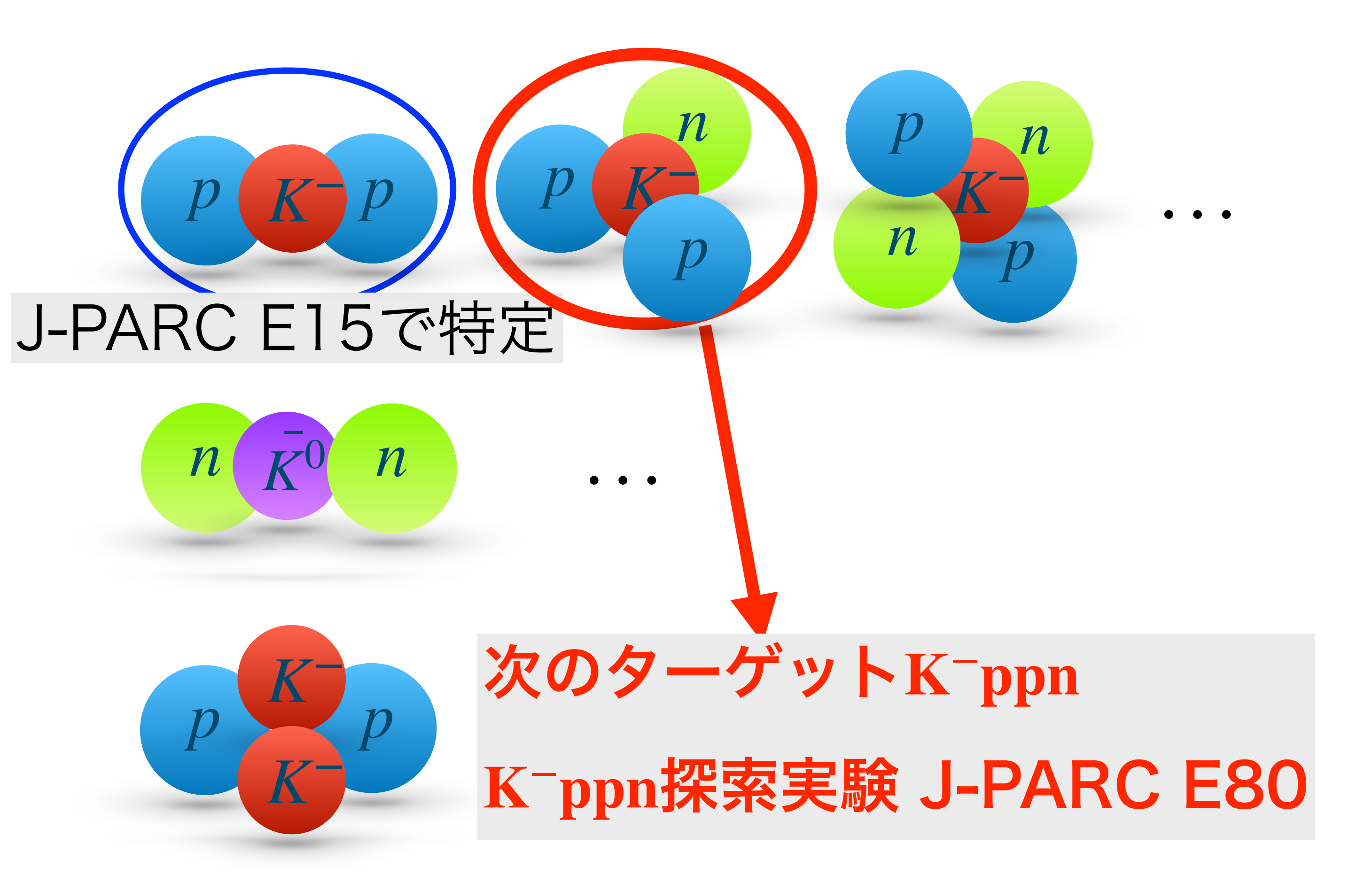


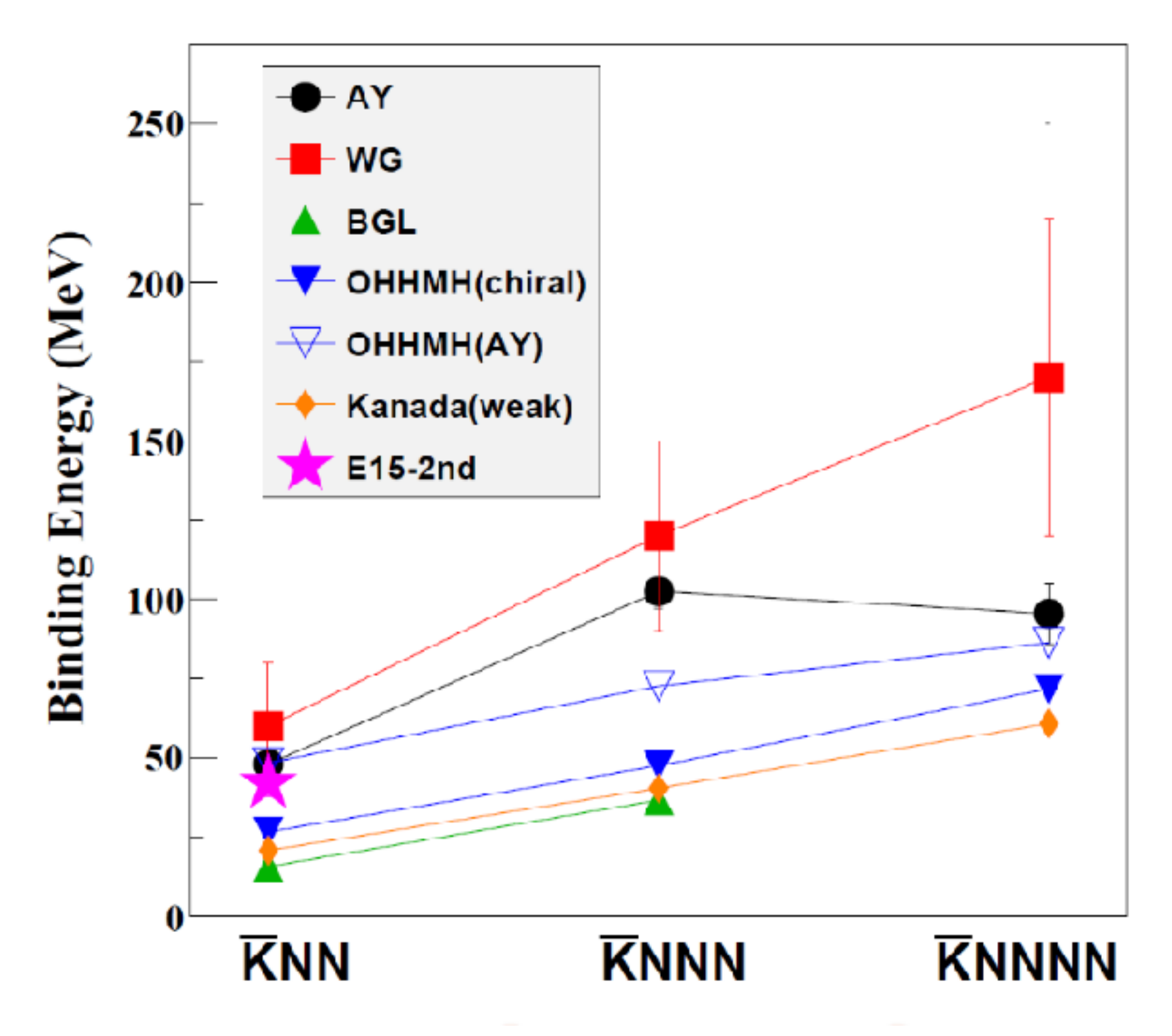
反K中間子原子核K-ppの確固たる証拠!!! p



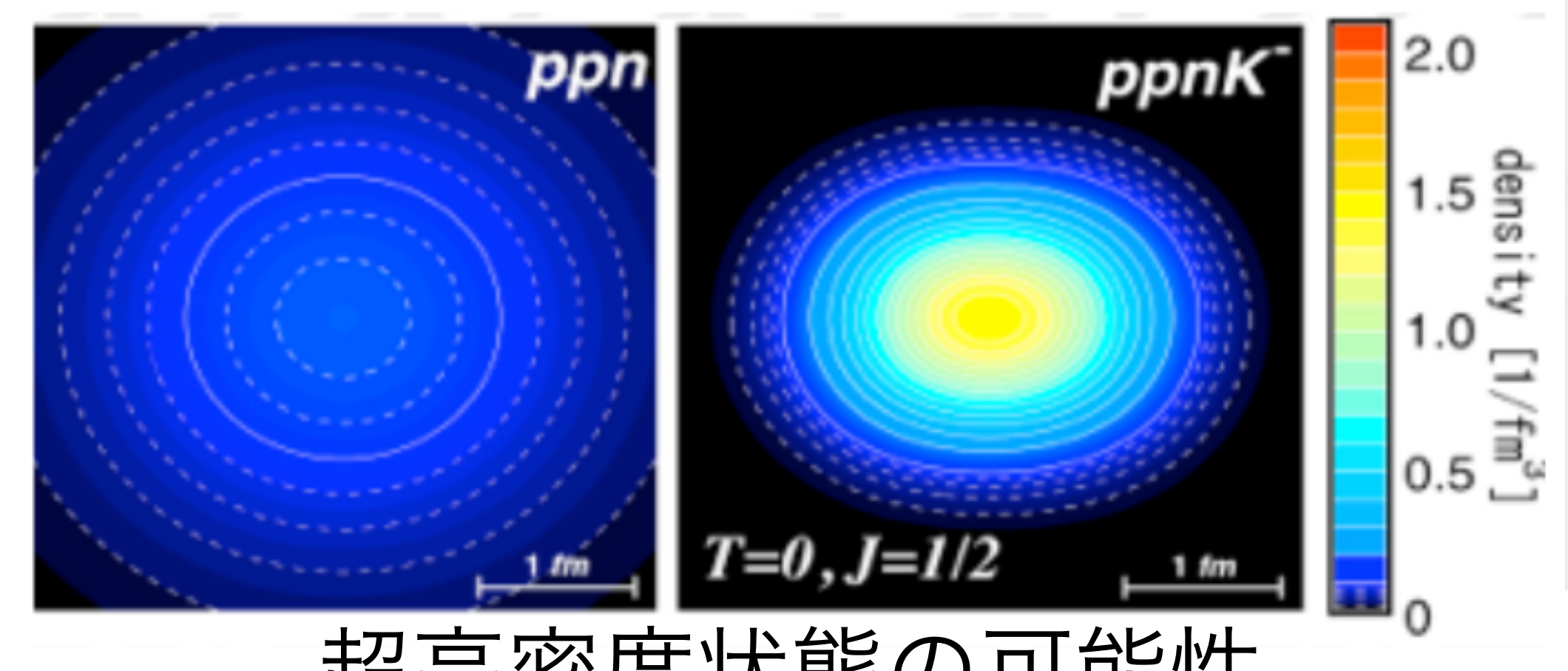
反K中間子原子核

"実"反K中間子Kと核子Nが束縛した新奇な原子核





A. Dote, H. Horiuchi, Y. Akaishi and T. Yamazaki, Phys. Lett. B 590 (2004) 51



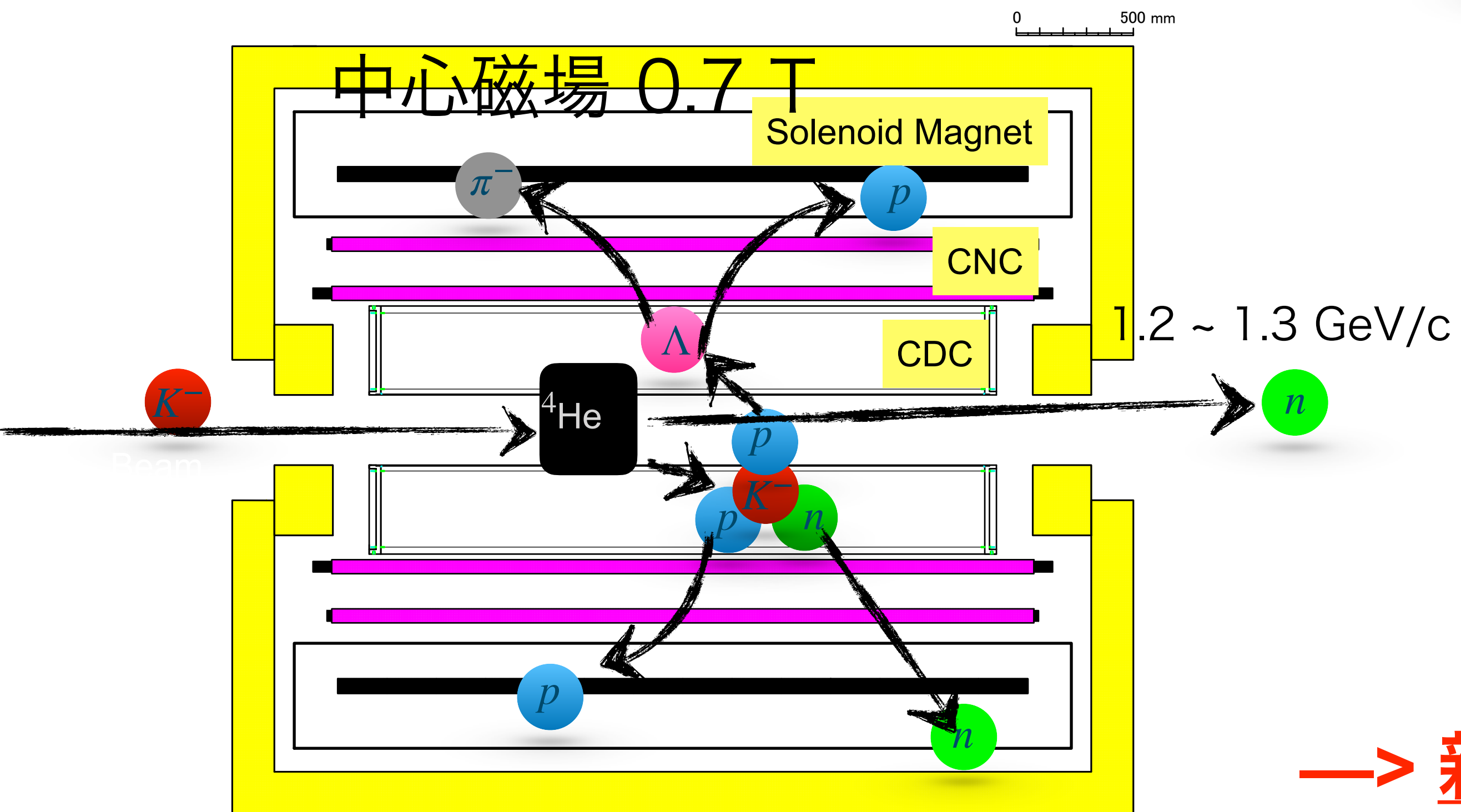
超高密度状態の可能性

- 1. 研究背景
- 2. J-PARC E80 実験
- 3. 円筒型ドリフトチェンバー (E80-CDC)
- 4. IHCDC (E15-CDC) を用いた宇宙線測定による性能評価
- 5. まとめと展望

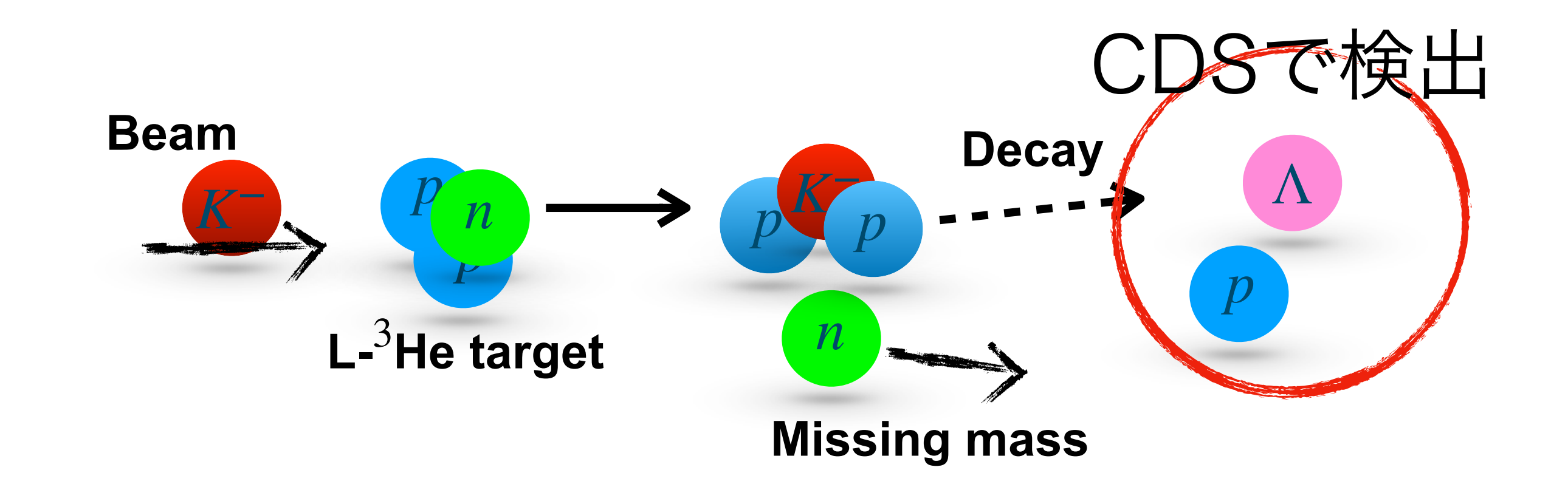
K-ppn探索実験

• E80実験

K[−]*ppn*の存在の有無に決着をつけ、 その基本的性質である束縛エネルギー、 崩壊幅、崩壊分岐比を導く。



• E15では全粒子の4元運動量を完全に再構成



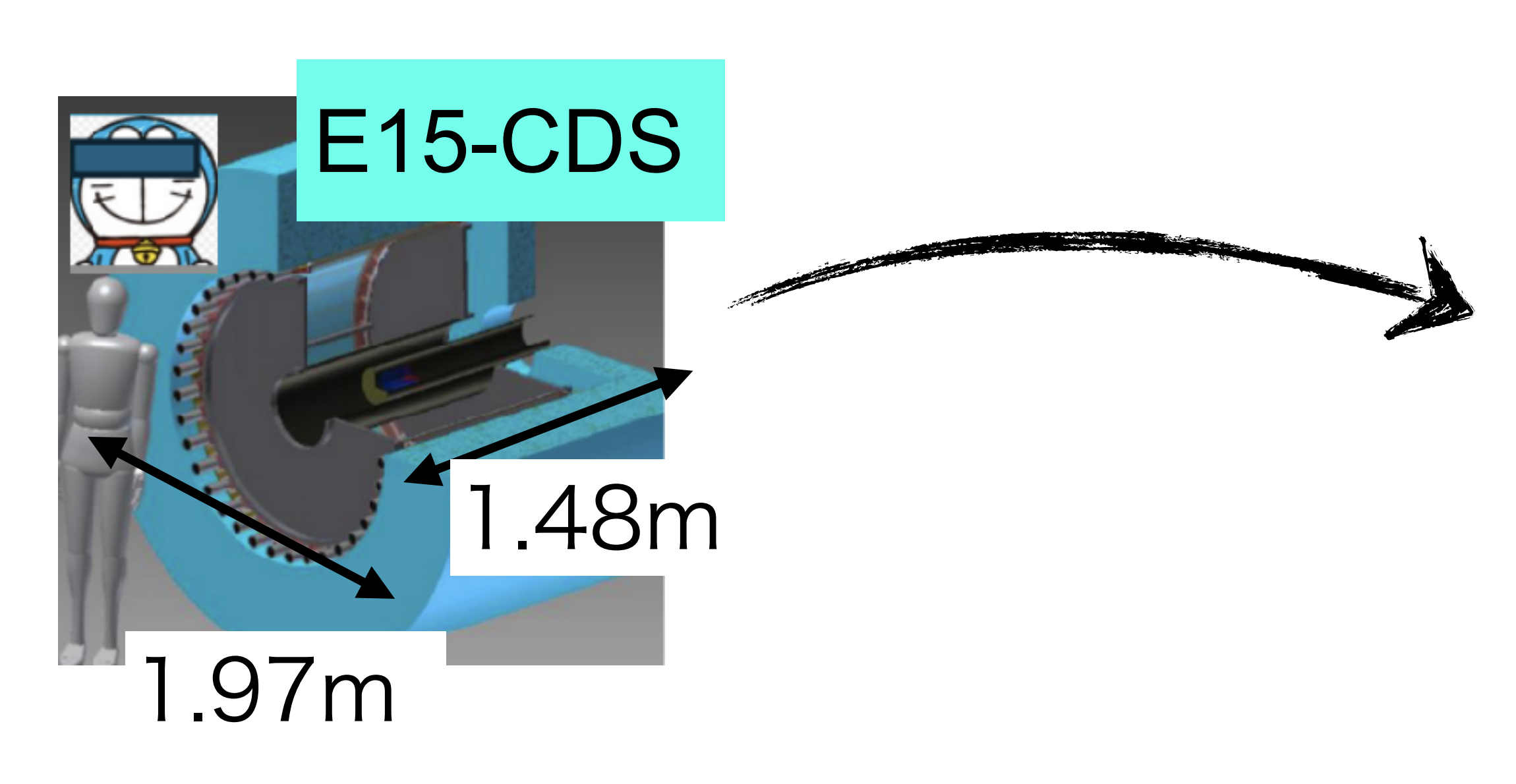
E80では、

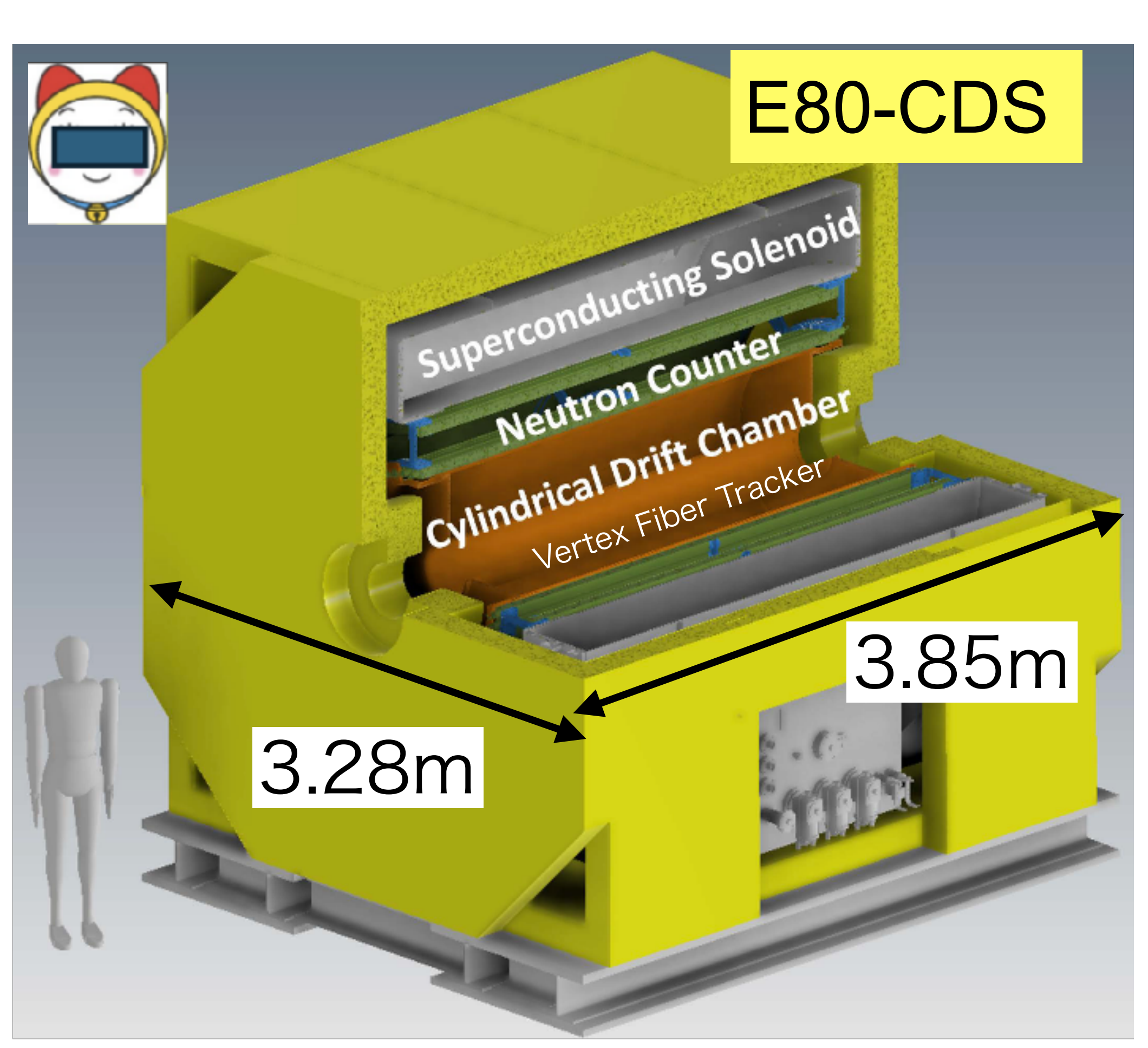
- 検出すべき中性子が出てくる
- E15に比べ、終状態粒子数が増える

―> 新たな大立体角検出器システムを建設中

大立体角検出器システム (E80-CDS)

反K中間子原子核からの全ての崩壊粒子の検出





大立体角検出器システム (E80-CDS)

反K中間子原子核からの全ての崩壊粒子の検出

Vertex Fiber Tracker:

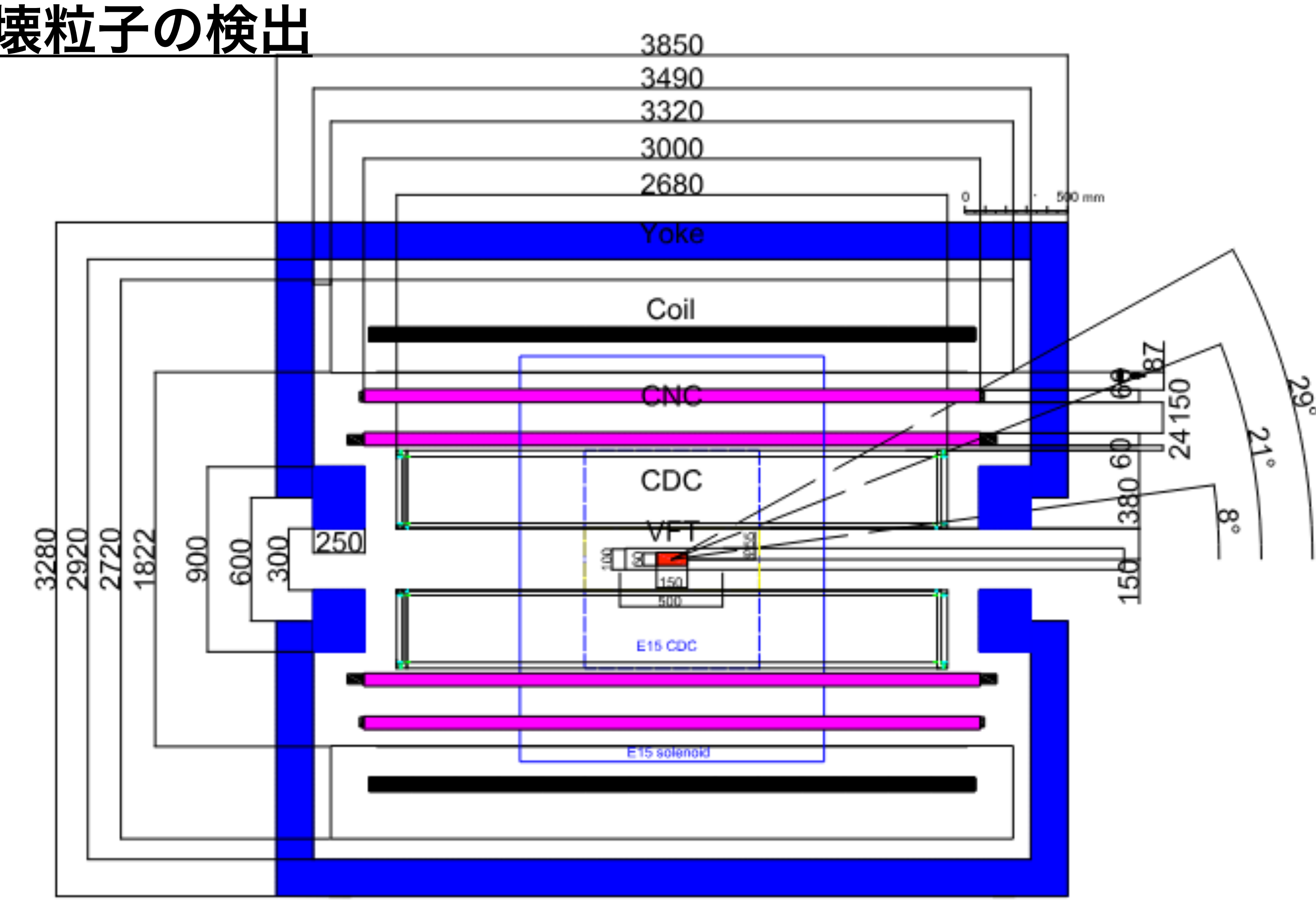
・崩壊点決定の精密化

円筒型ドリフトチェンバー Cylindrical Drift Chamber (×Solenoid Magnet):

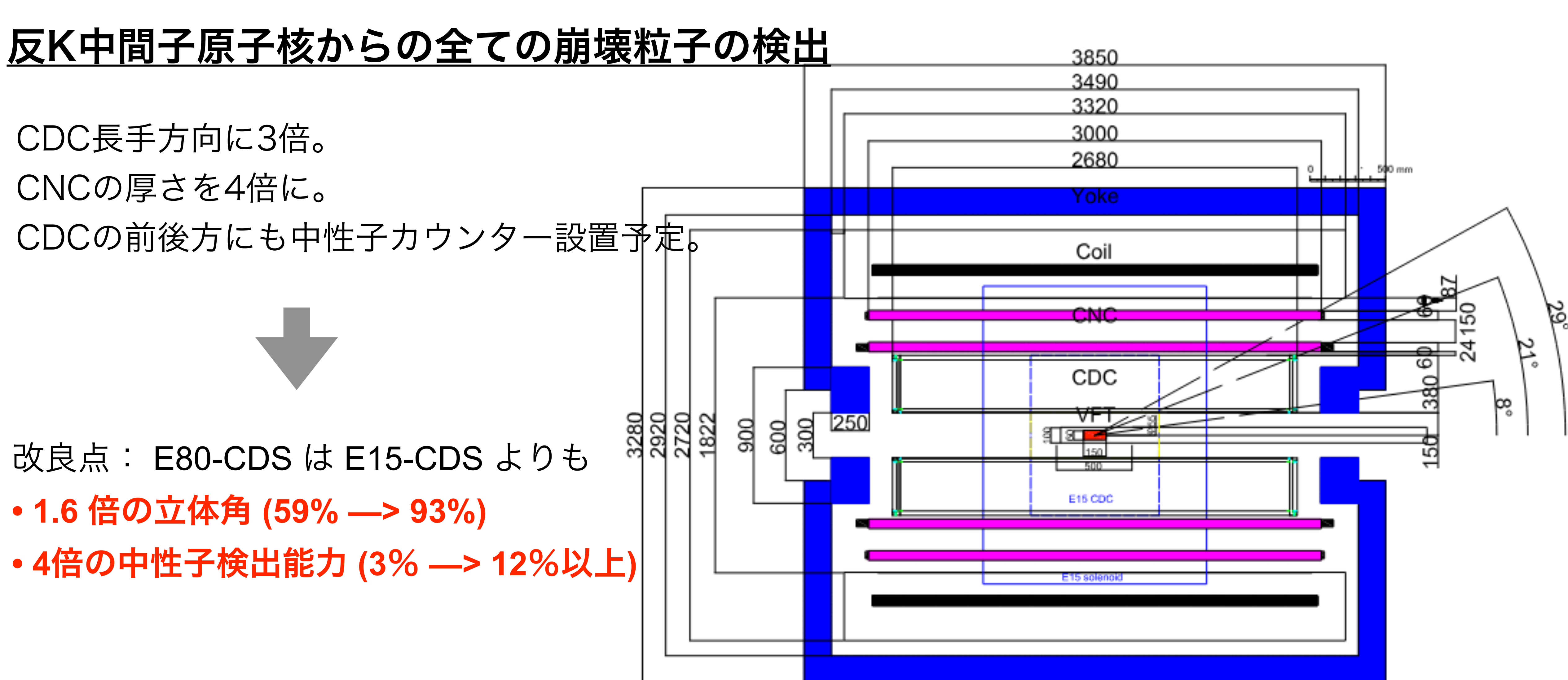
・飛跡の曲率から運動量解析

円筒型中性子カウンター Cylindrical Neutron Counter:

- ・トリガー
- ・TOFによる粒子識別
- 中性子検出



大立体角検出器システム (E80-CDS)



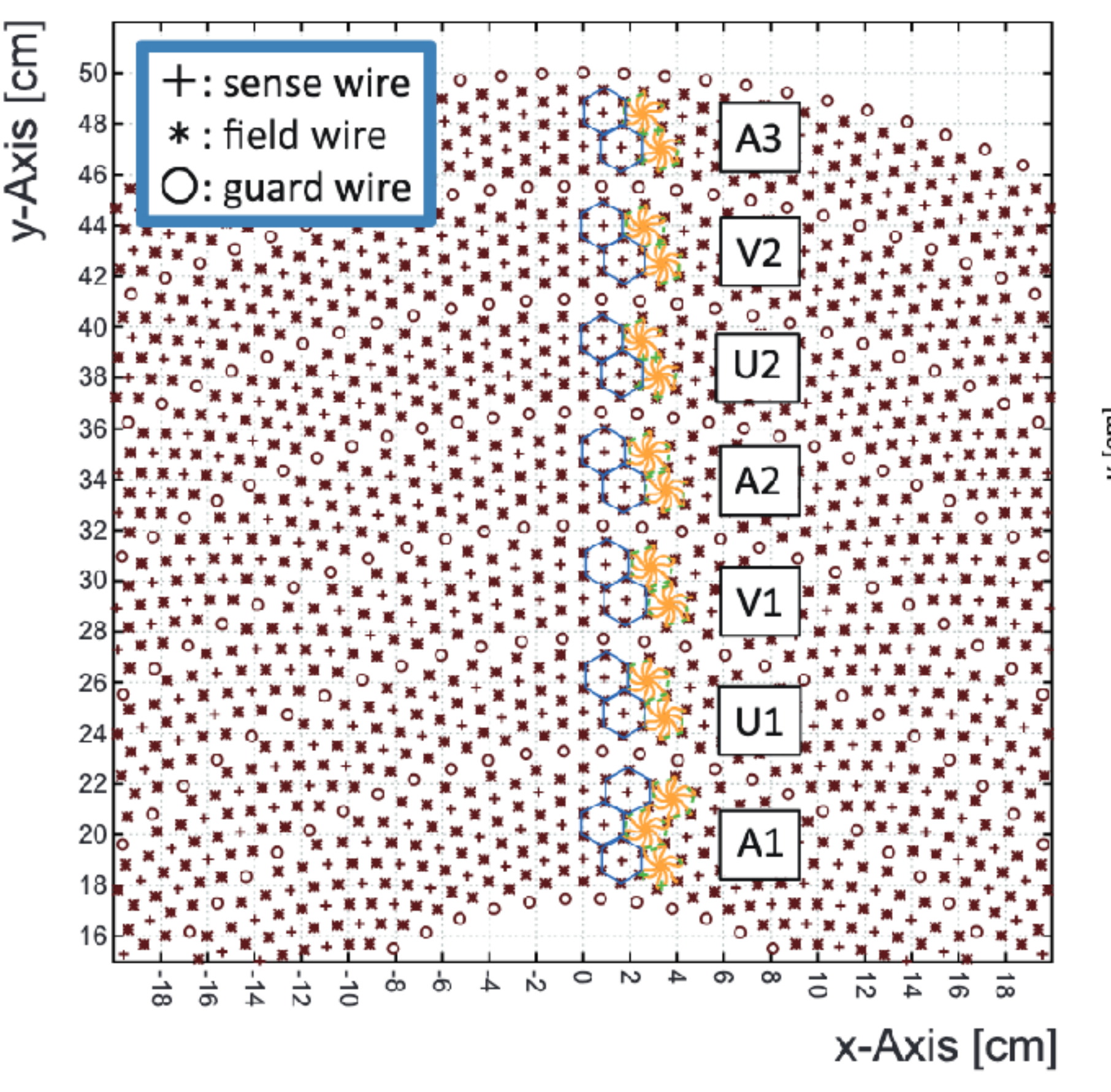
本研究: CDCに使うガスの決定とその性能評価

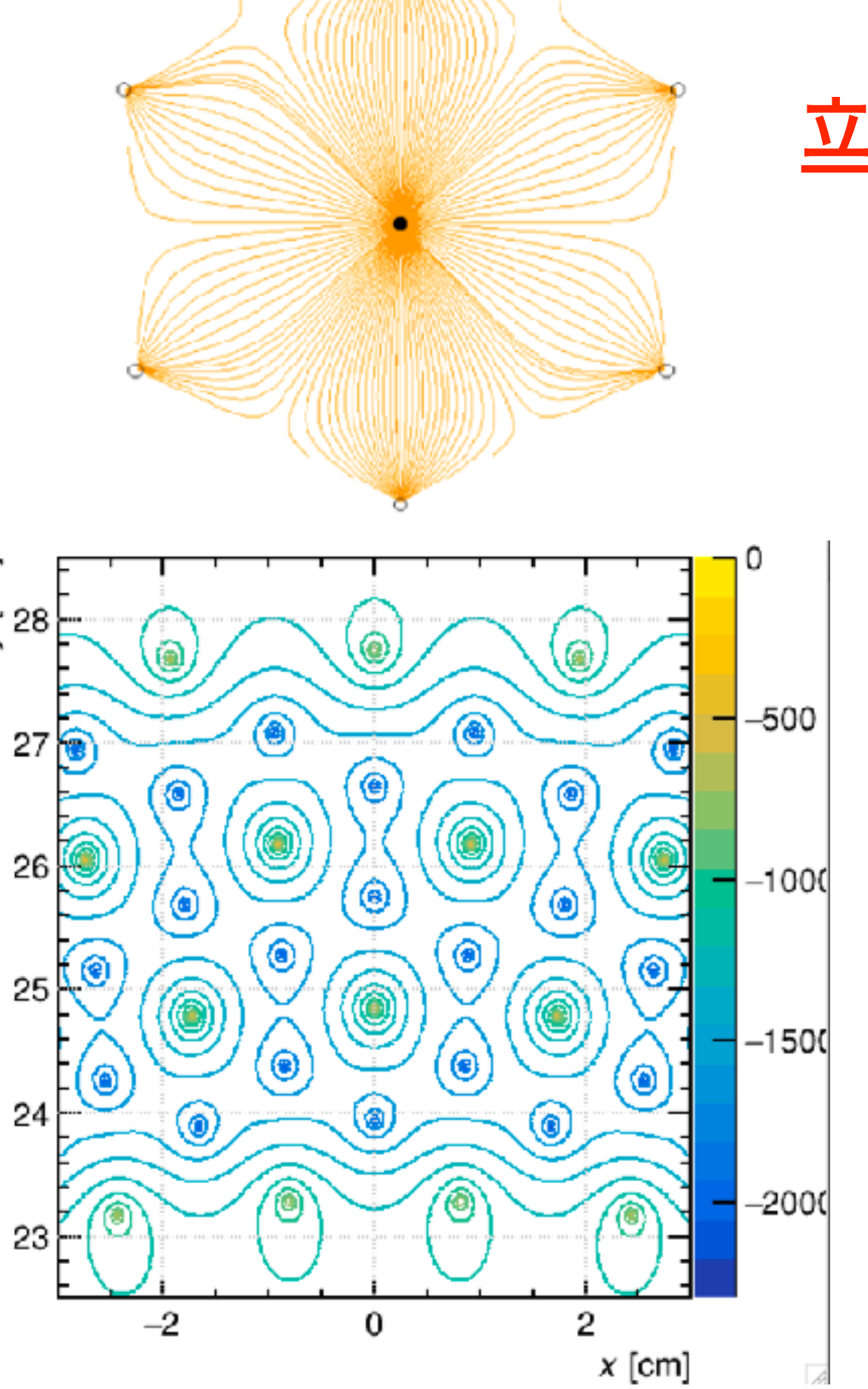
目次

- 1. 研究背景
- 2. J-PARC E80 実験
- 3. 円筒型ドリフトチェンバー (E80-CDC)
- 4. IHCDC (E15-CDC) を用いた宇宙線測定による性能評価
- 5. まとめと展望

基本構造







立体角を稼ぐため、ワイヤー長をE15-CDCの3倍

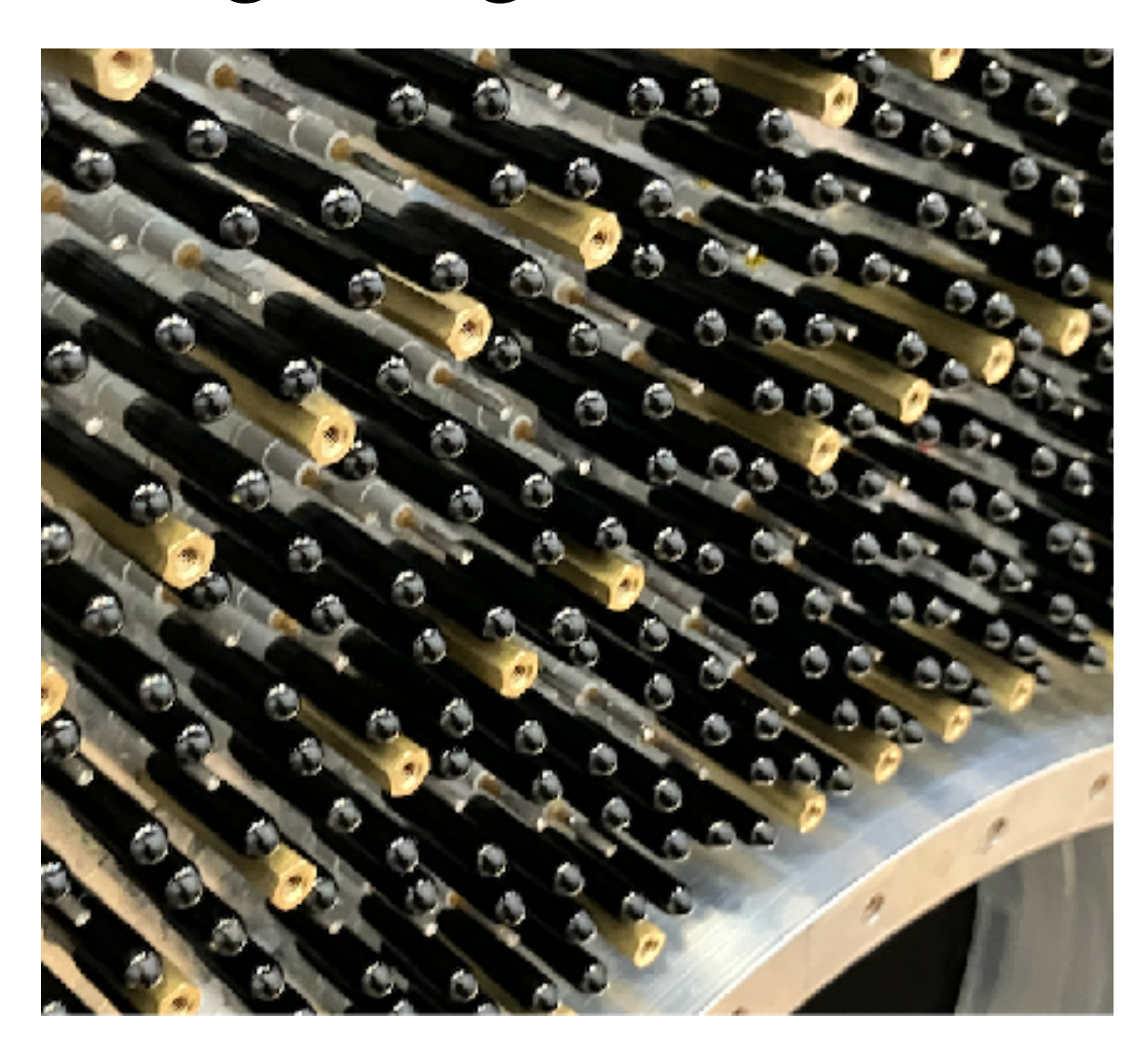


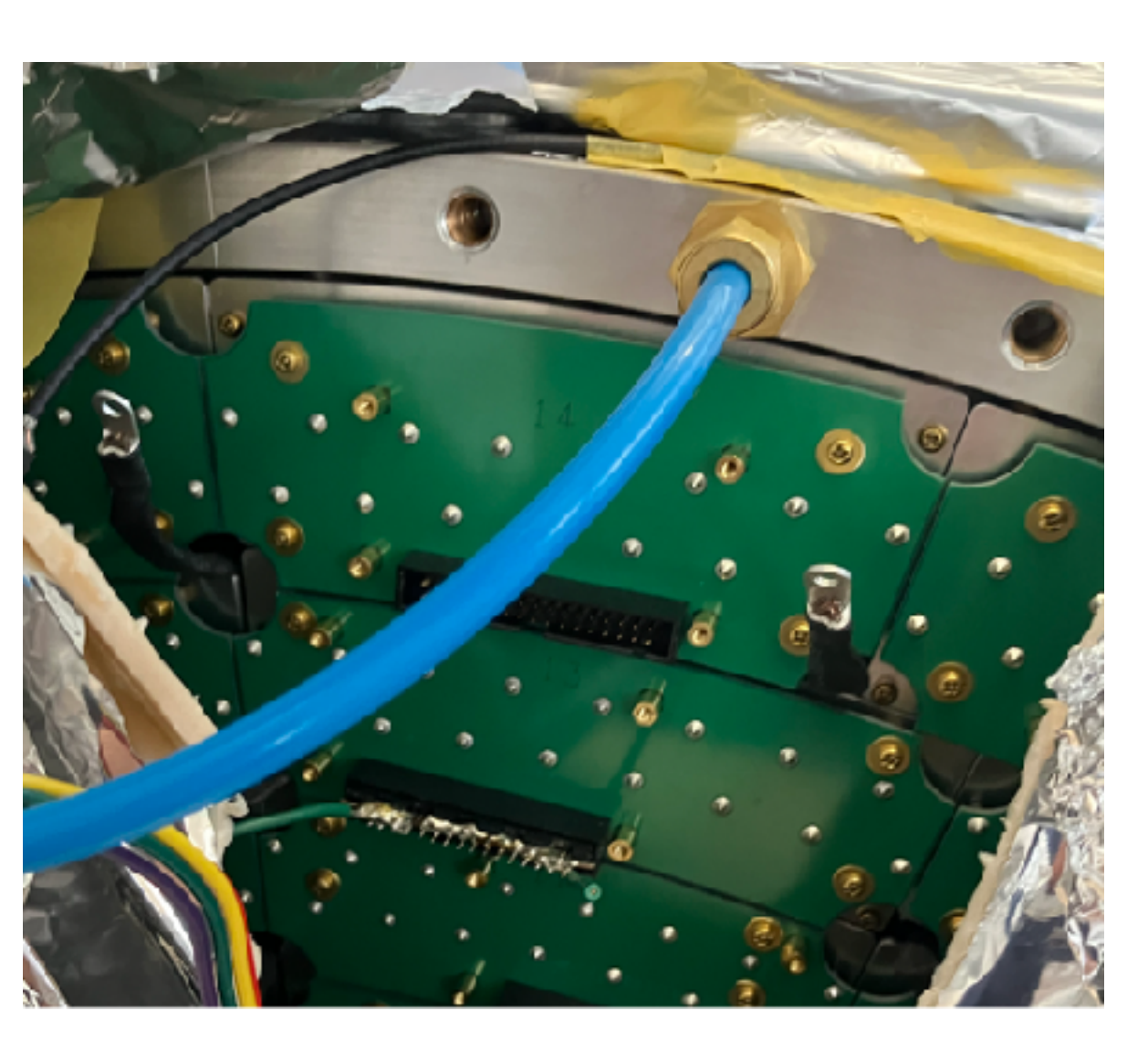
信号読み出しの流れ

ASD (SONY CXA3653Q):

Amplifier-Shaper-Discriminator

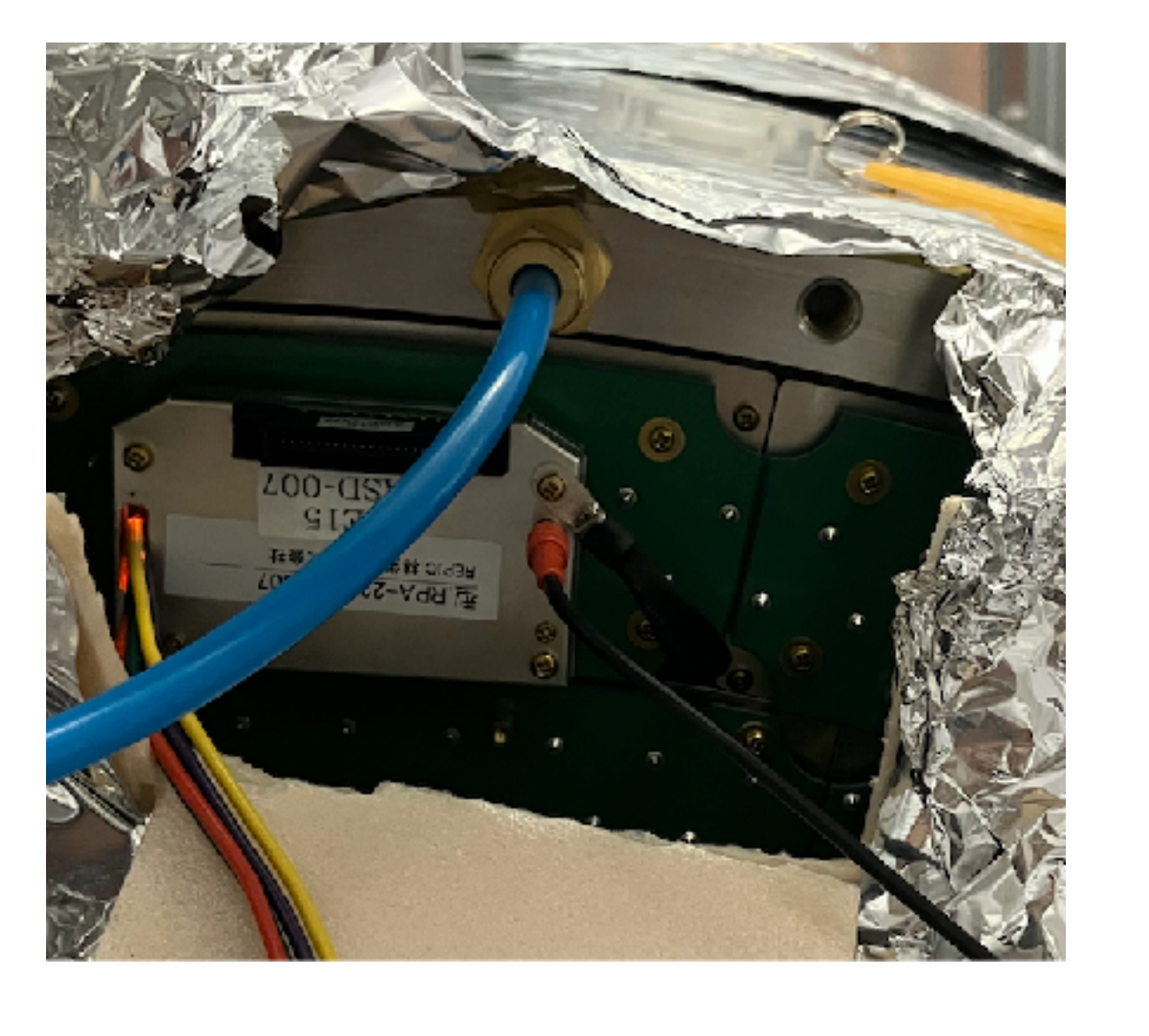
- · 16 ch
- · 積分時間 16 ns
- pre-amp ~0.8 V/pC, main-amp Gain = 7
- --> logic signalに。





マルチヒットTDC:

- · HUL (Hadron Universal Logic Module)
- ・1.2 GHz clockで時間測定
- · TDC精度 0.833 ns
- ·最大16 Hits / event
- · Leading / Trailing両対応
 - —> Time over Threshold (ToT)も取得可能



センスワイヤー(フィードスルー) —> 変換基板 —> ASDカード —> マルチヒットTDC

充填ガスについて

実験	容積	充填ガス	
J-PARC E15	700 L	Ar-C2H6 (50:50)	
J-PARC E80	2093 L	? ?	

- E15-CDCに比べて3倍の容積。
- 安全性の観点から<u>不燃性ガス</u>が望ましい。

世界的に使われているチェンバーガス

Detector	Gas Mixture	Comment
PHENIX	Ar/C2H6(50/50)	Barrel
CLAS	Ar/CO2(90/10)	Barrel
CLAS12	Ar/CO2(90/10)	Plane
CDM-3	Ar/iC4H10(80/20)	CDC
FOPI	Ar/CH4/iC4H10(88/10/2)	CDC
H1	Ar/C2H6(50/50)	CDC(jet-chamber)
E15, E325	Ar/C2H6(50/50)	CDC

C2H6の代替としてCO2を候補とした。

以後、<u>Ar:CO2の混合比を選択</u>し、

E15-CDCによって性能評価をする。

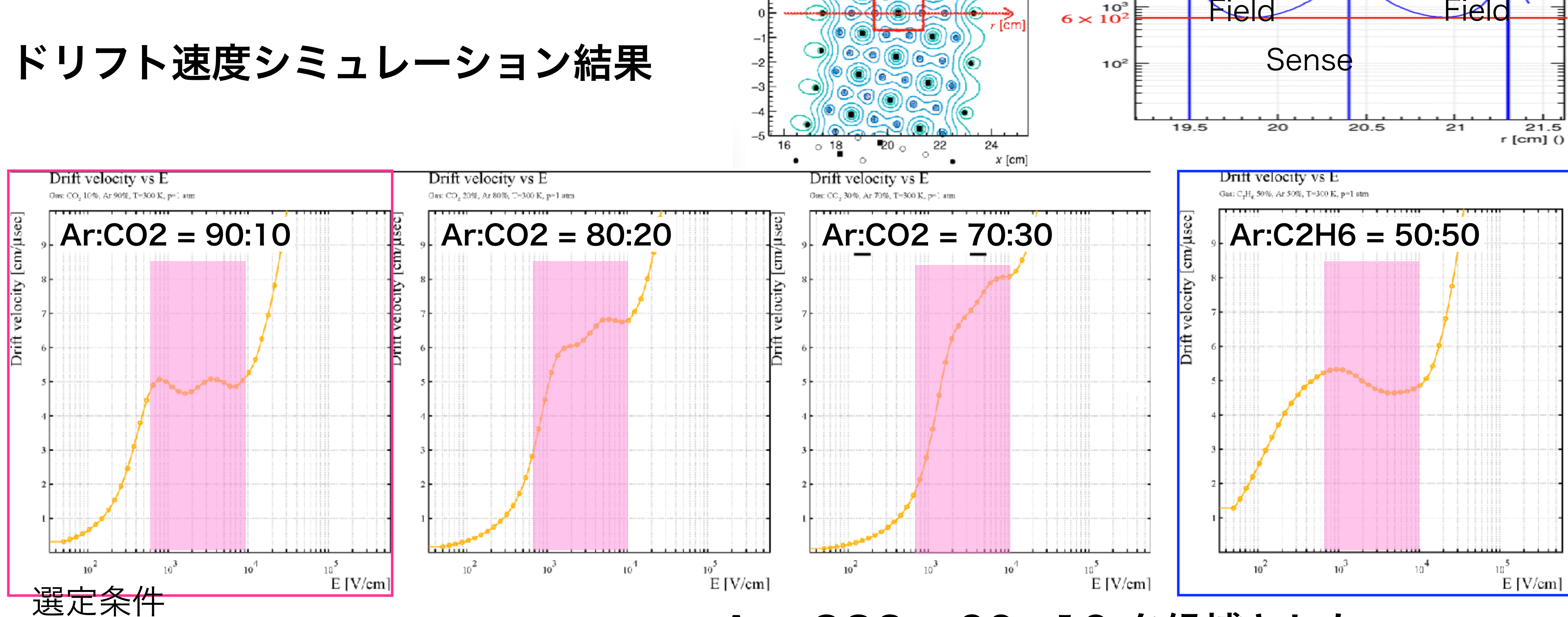
Eielo

-2400 V

Field

10⁴

充填ガスについて



- ドリフト速度がなるべく速い。
- ドリフト速度一定の領域が広い。



混合比90:10でAr-CO2の性能評価を行う。

目次

- 1. 研究背景
- 2. J-PARC E80 実験
- 3. 円筒型ドリフトチェンバー (E80-CDC)
- 4. E15-CDCを用いた宇宙線測定による性能評価
- 5. まとめと展望

beam

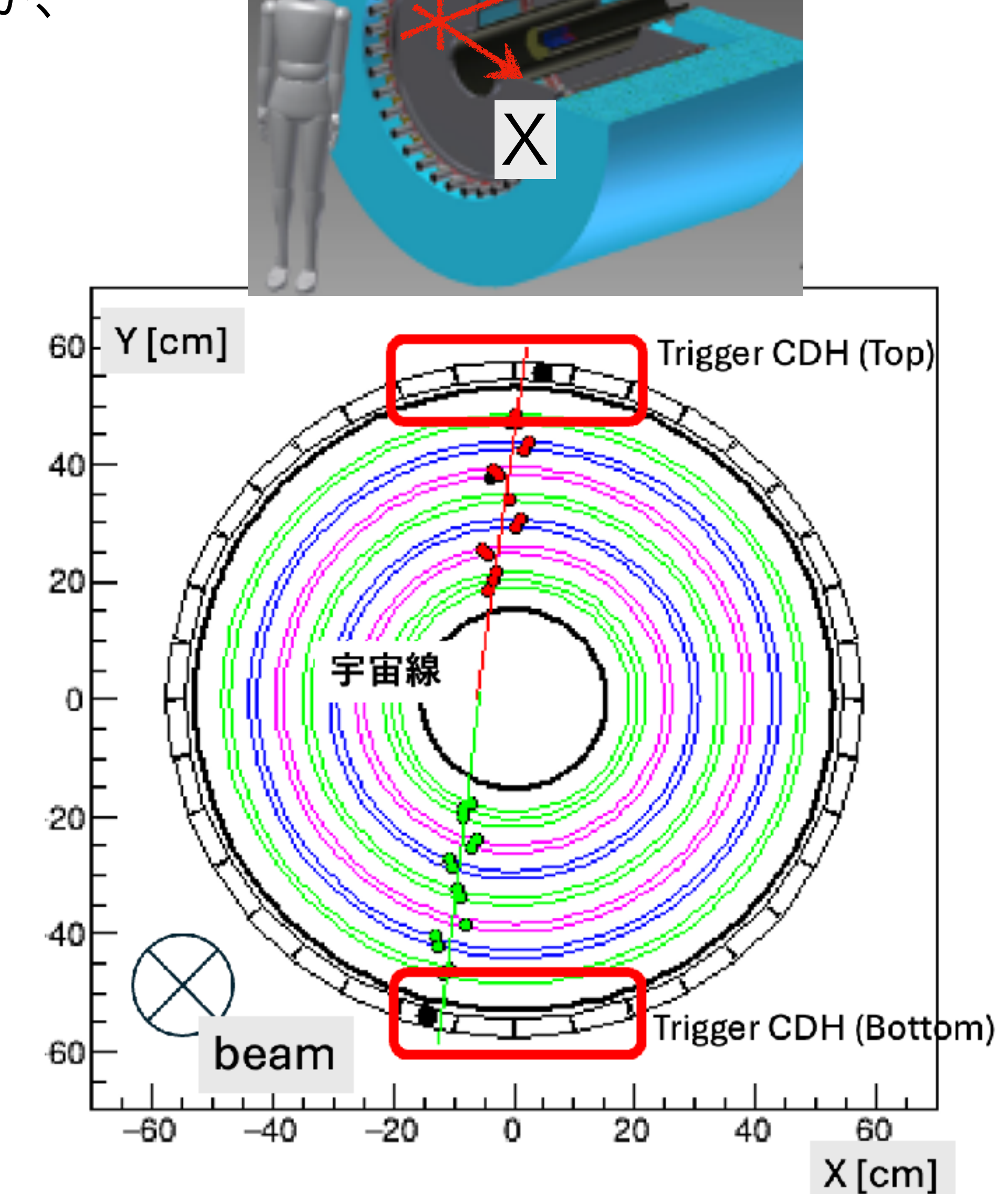
E15-CDCによる宇宙線テスト

目的: 実際のCDCを用いてAr-CO2 (90:10) が要求性能を満たすか、Ar-C2H6 (50:50) との性能比較も含めて調査した。

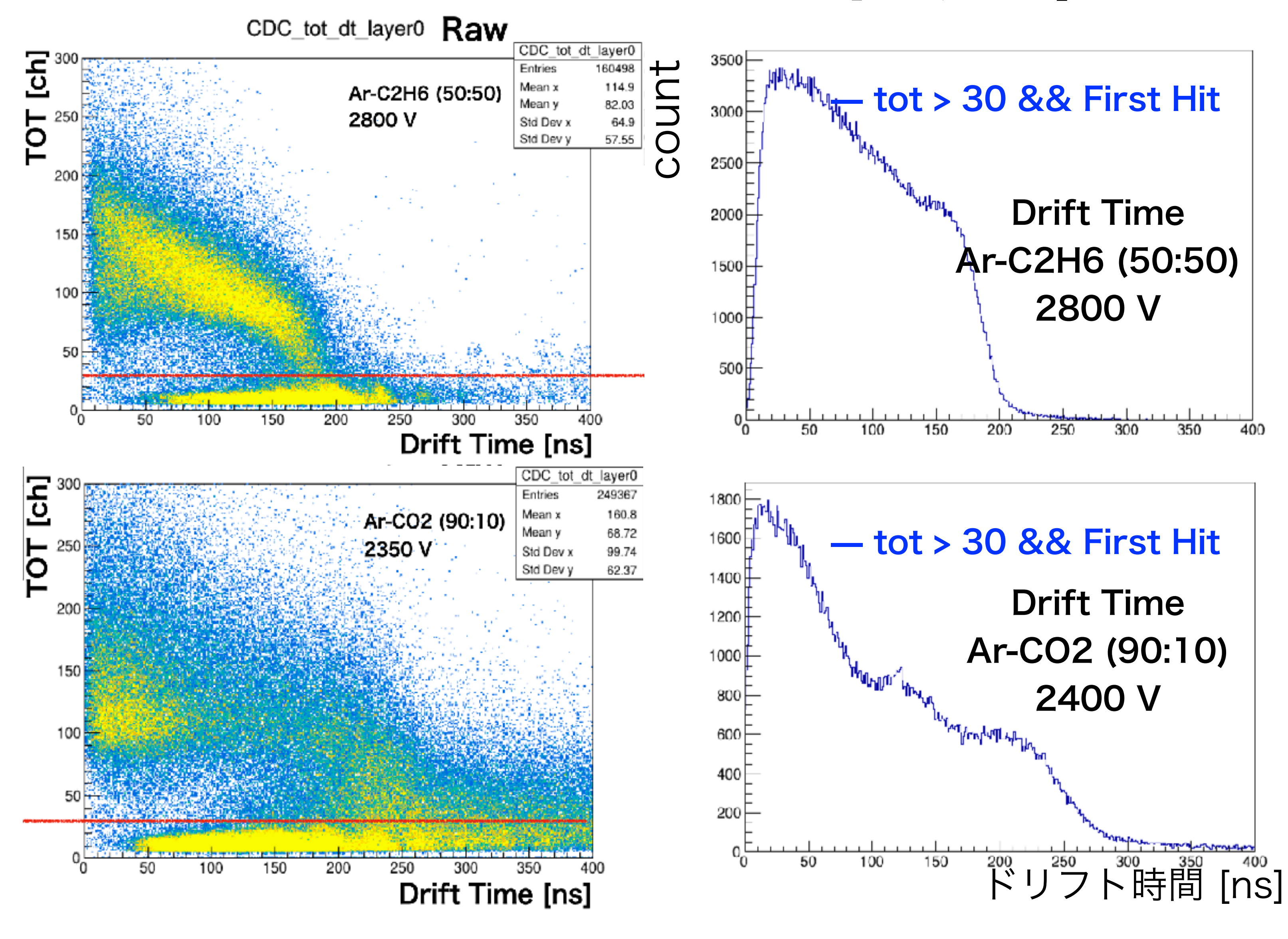
要求性能: Layer 検出効率~97%、位置分解能~200um

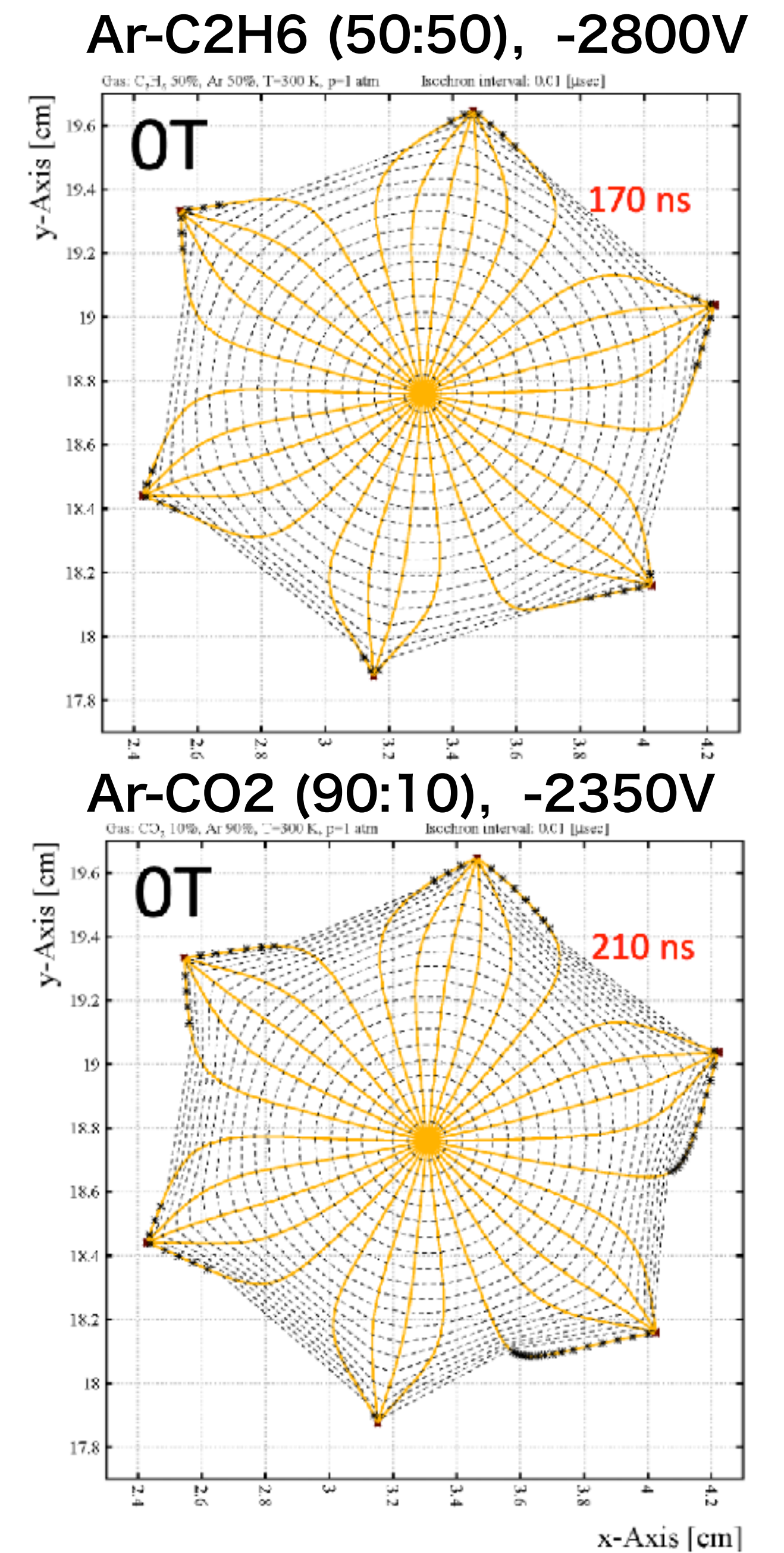
実験方法

- E15-CDC、磁場ゼロ
- 印加電圧
 - Ar-C₂H₆ (50-50): -2500 ~ -2800 V
 - Ar-CO₂ (90-10) : -2200 ~ -2400 V
- 読み出し: ASD (SONY CXA3653Q, *τ* =16ns)
- データ取得: Multi-Hit TDC module
 時間情報 (TDC)とエネルギー情報 (Time Over Threshold)
- トリガー:上下のシンチレータ(CDH)の2コインシデンス



生データとドリフト時間分布



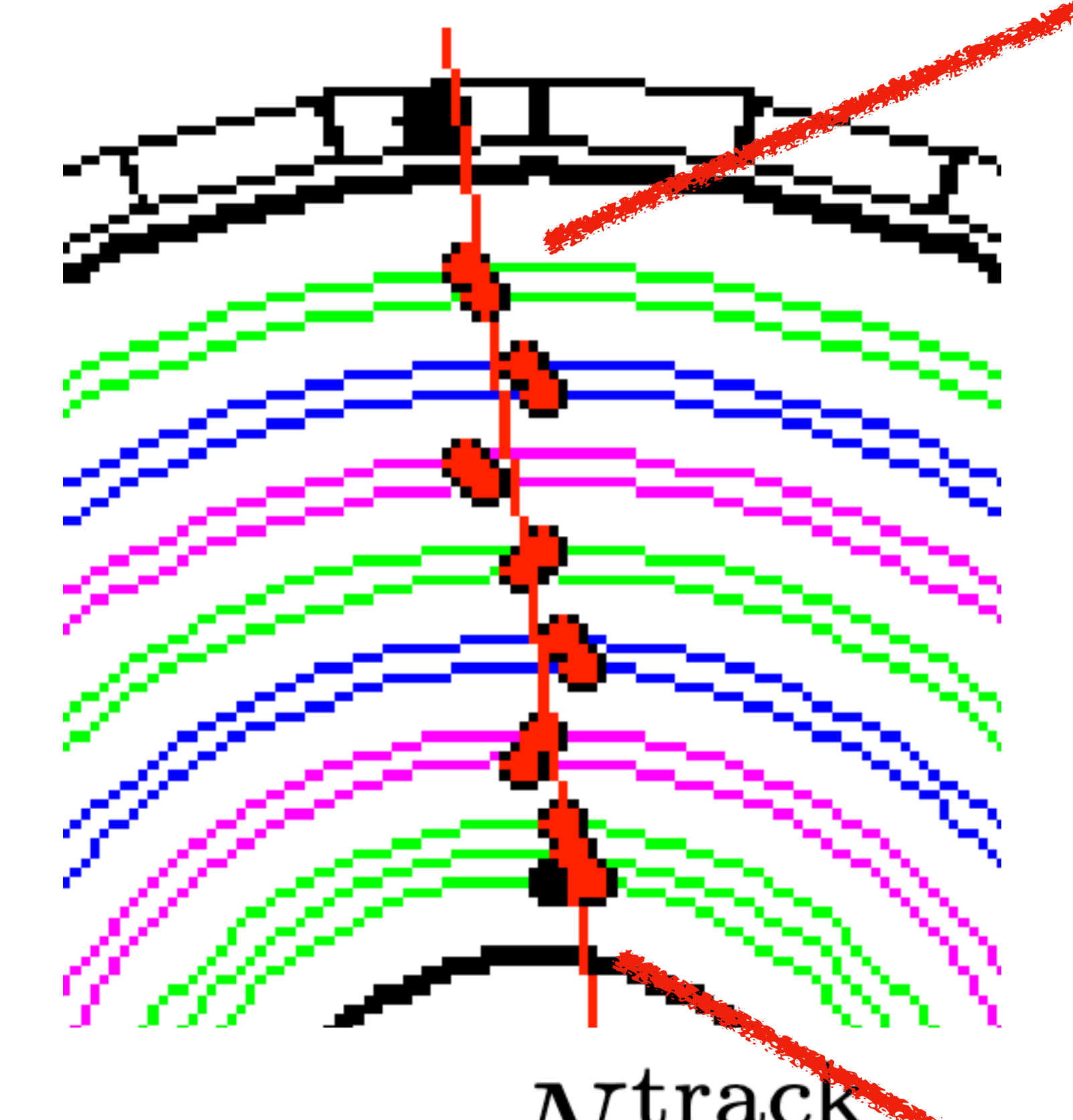


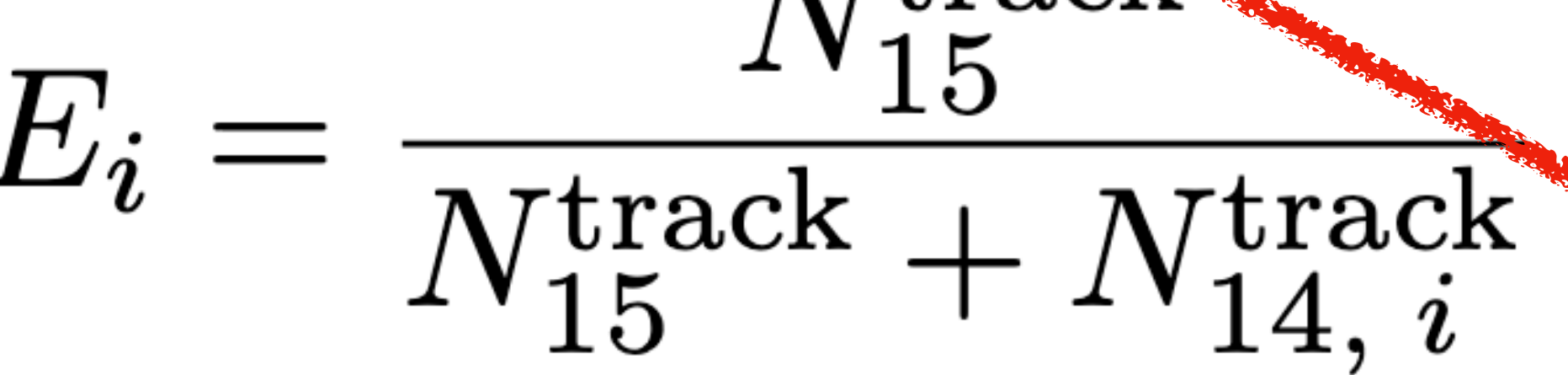
シミュレーション通りAr-CO2 (90:10)はAr-C2H6 (50:50)よりドリフトが遅いことがわかる。

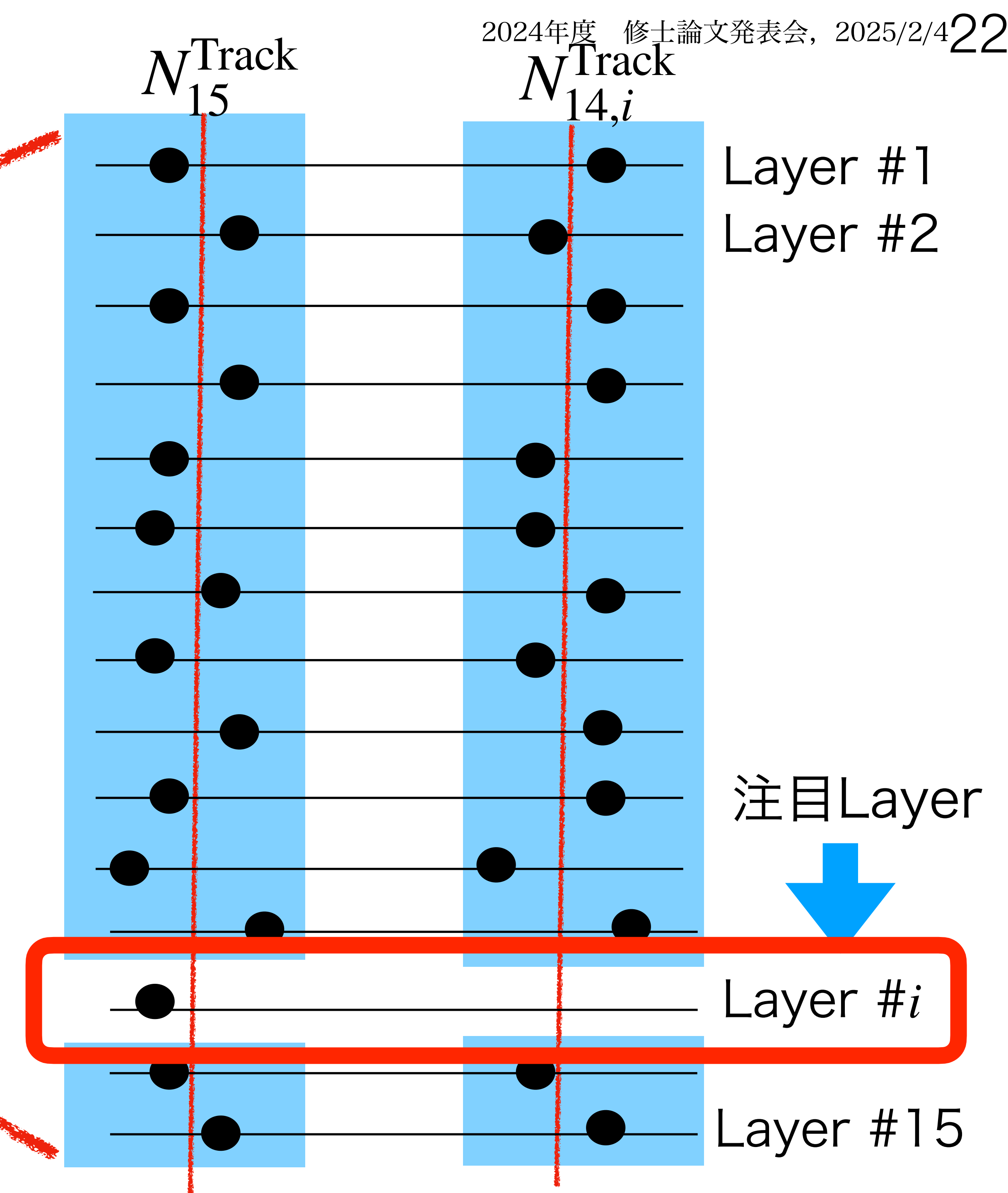
6. 旧CDCによる性能評価

Layer検出効率の定義

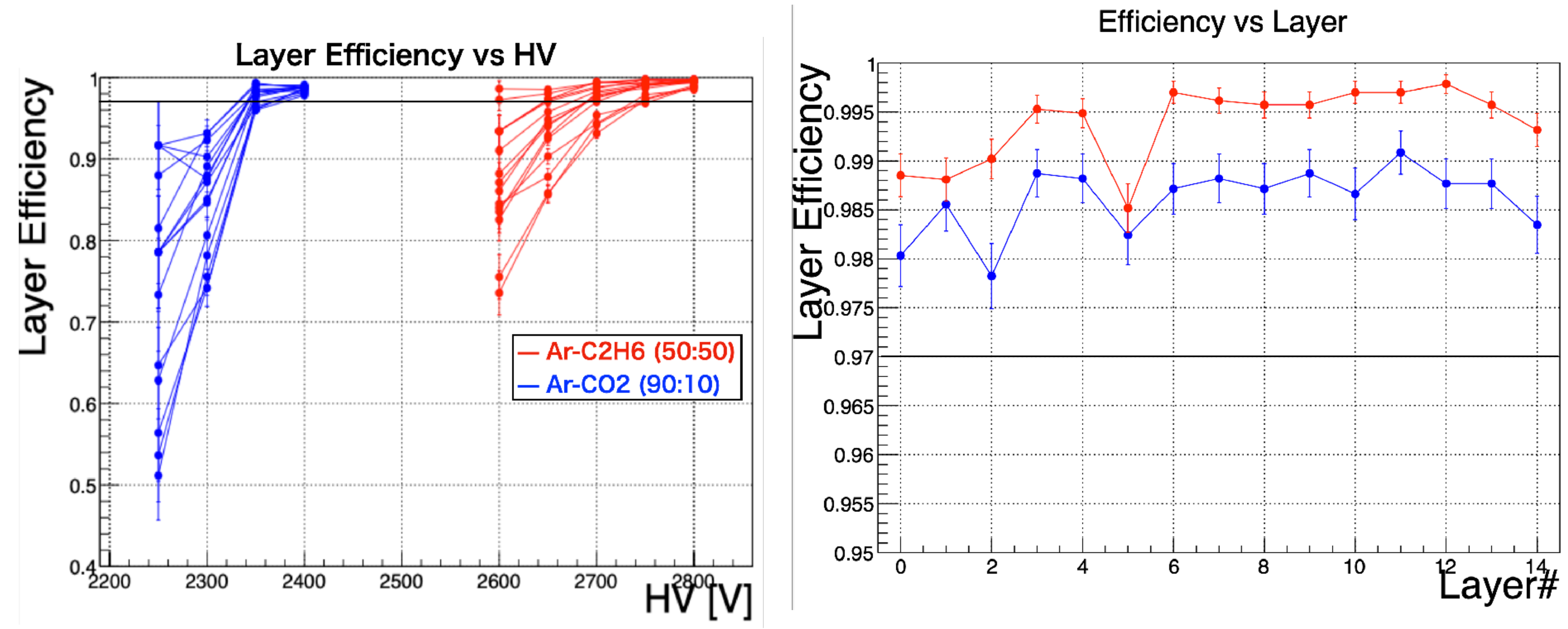
宇宙線のイベントディスプレイ







Layer検出効率の評価結果 要求性能 $E_i = \frac{N_{15}^{max}}{N_{15}^{track} + N_{14, i}^{track}} > 97\%$



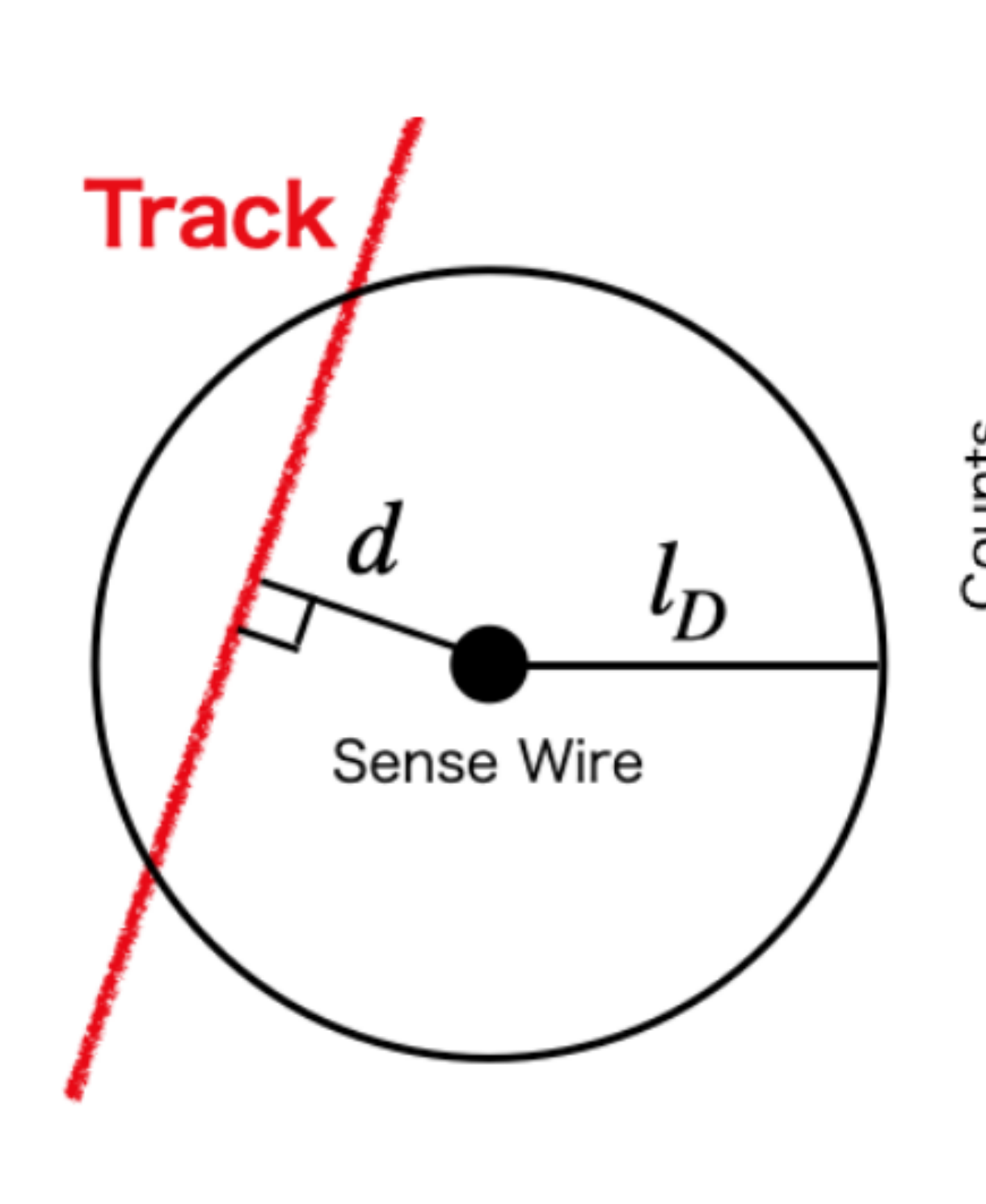
Ar-CO2 (90:10) においては2400 Vかけた時 要求性能を満たした。

位置分解能の評価

Residualの比較

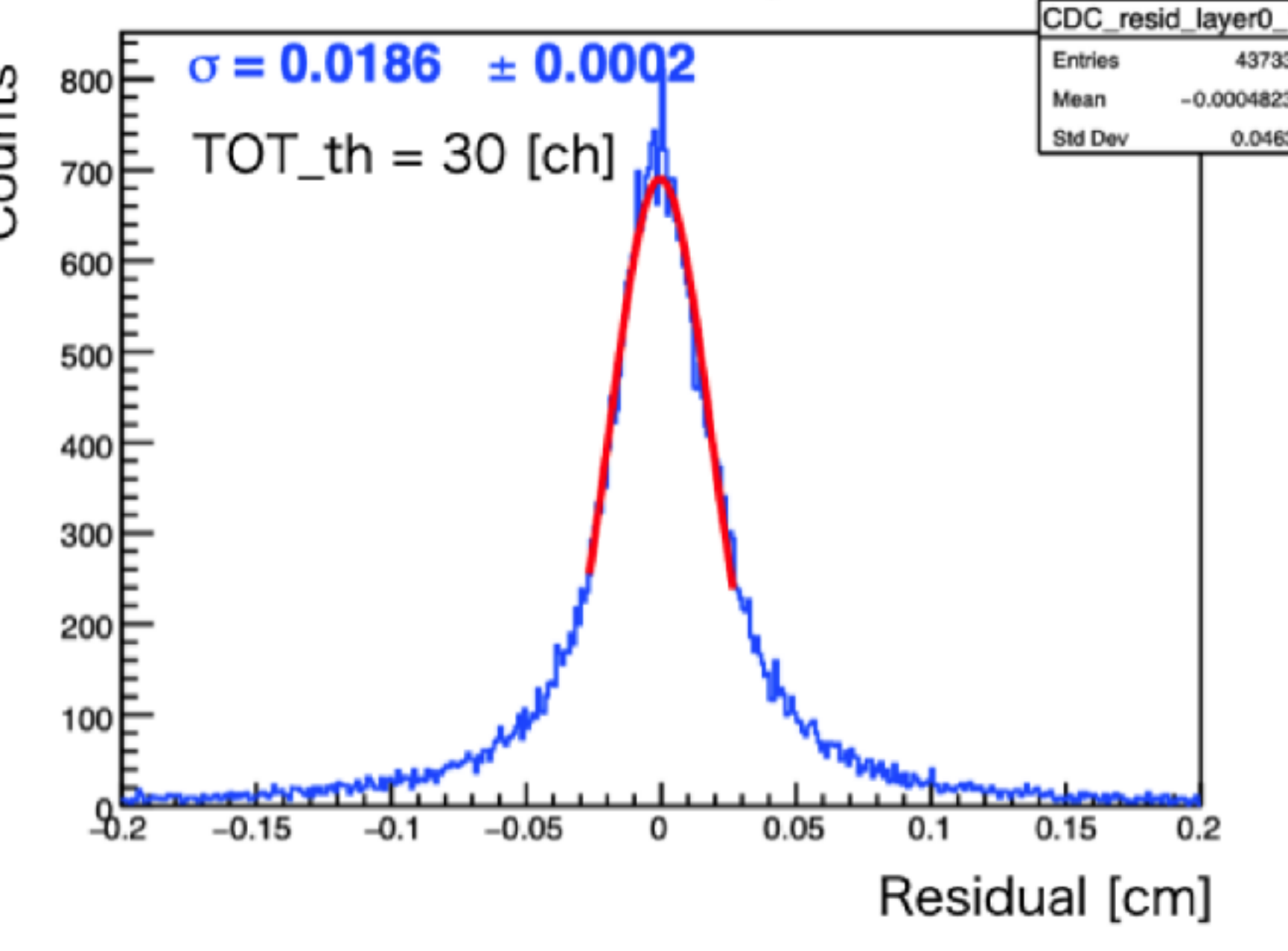
定義: Residual = $l_D - d$

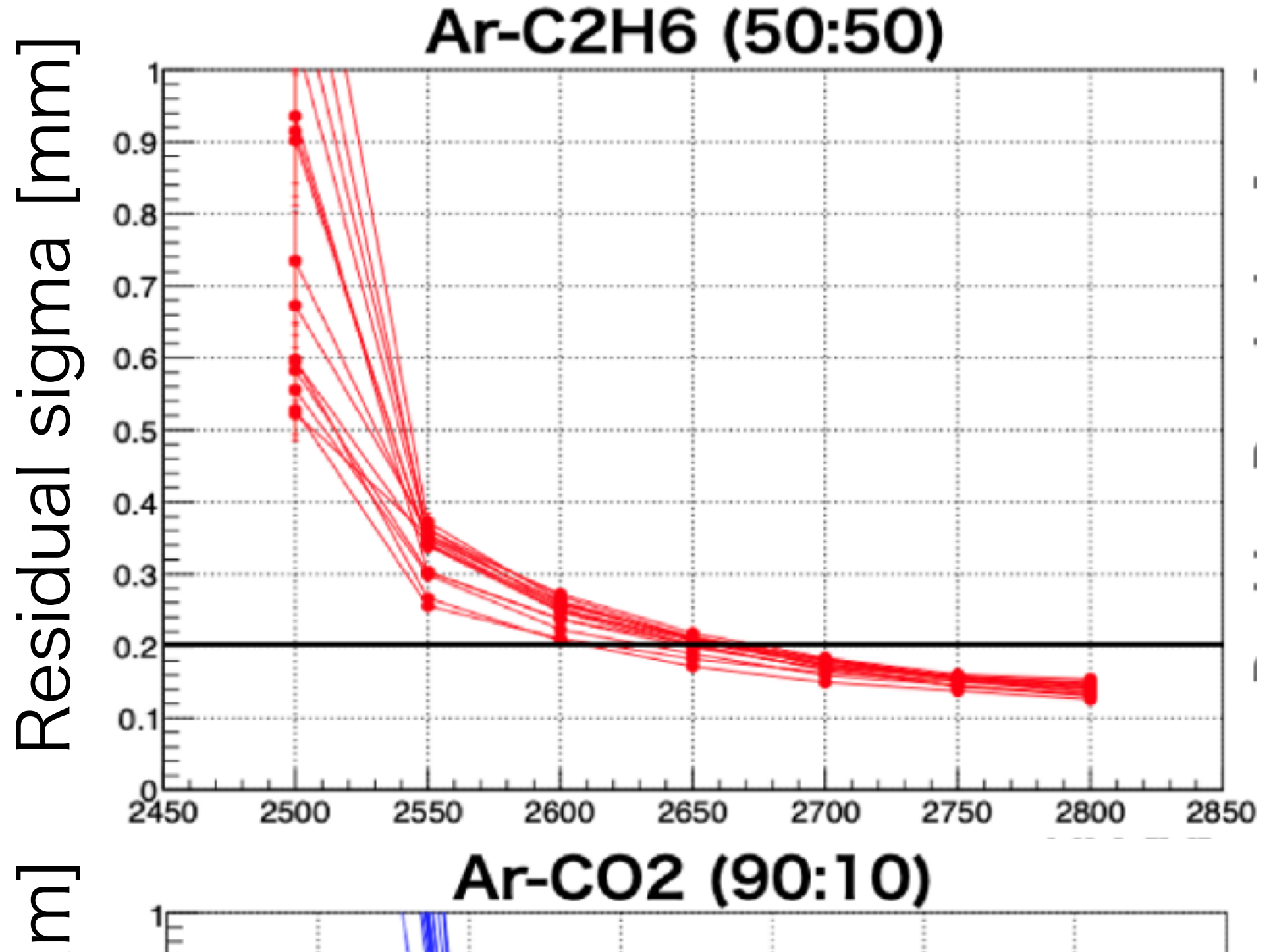
 l_D : ドリフト長、d: センスワイヤーとトラックの距離

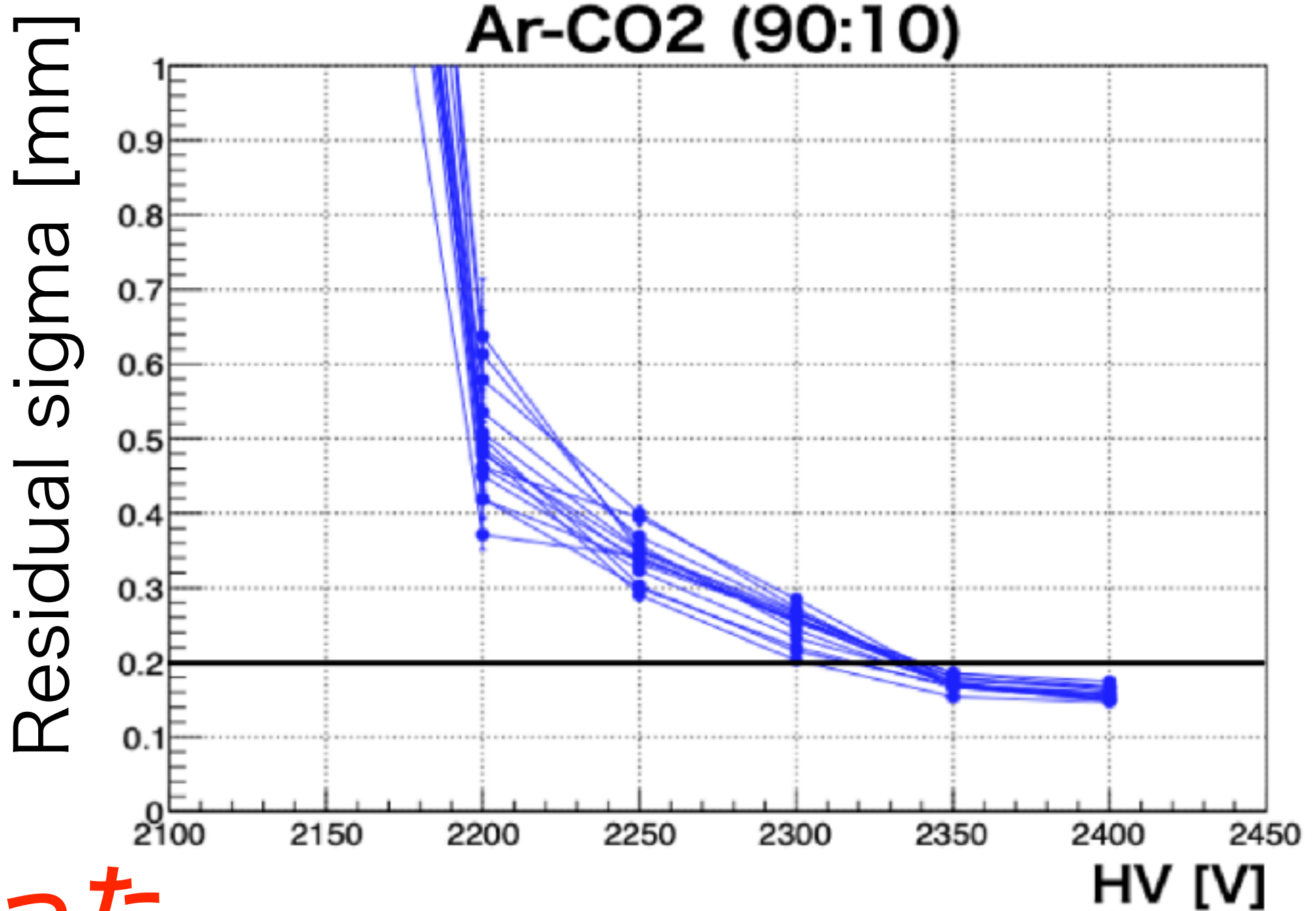


ResidualのFitの例

範囲無限でガウシアンFit その1.5sigmaで再Fit







両ガスともにHVを高くするとResidualも小さくなった。

位置分解能の評価

位置分解能 σ について

要求性能: 200 um

シミュレーションにて、

CDCの位置分解能を設定し、

トラッキングしてResidualのσを見た。 🖺

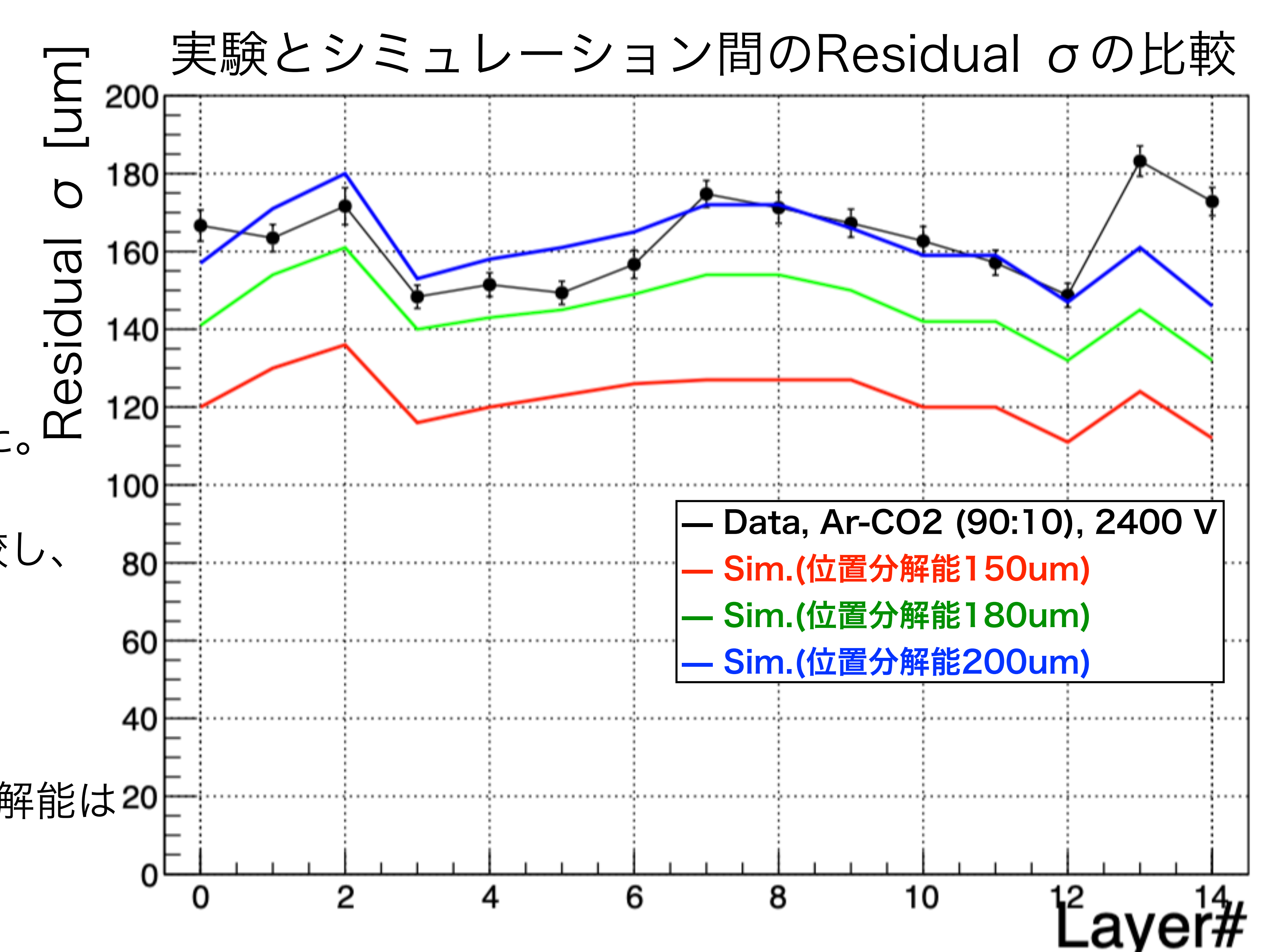
シミュレーションと実験データを比較し、

位置分解能を見積もった。

シミュレーションとの比較から、

Ar-CO2 (90:10)を用いた時の位置分解能は20

200 umであると判断した。



Ar-CO2 (90:10) においては2400 Vかけたとき要求性能を満たした。

目次

- 1. 研究背景
- 2. J-PARC E80 実験
- 3. 円筒型ドリフトチェンバー (E80-CDC)
- 4. IHCDC (E15-CDC) を用いた宇宙線測定による性能評価
- 5. まとめと展望

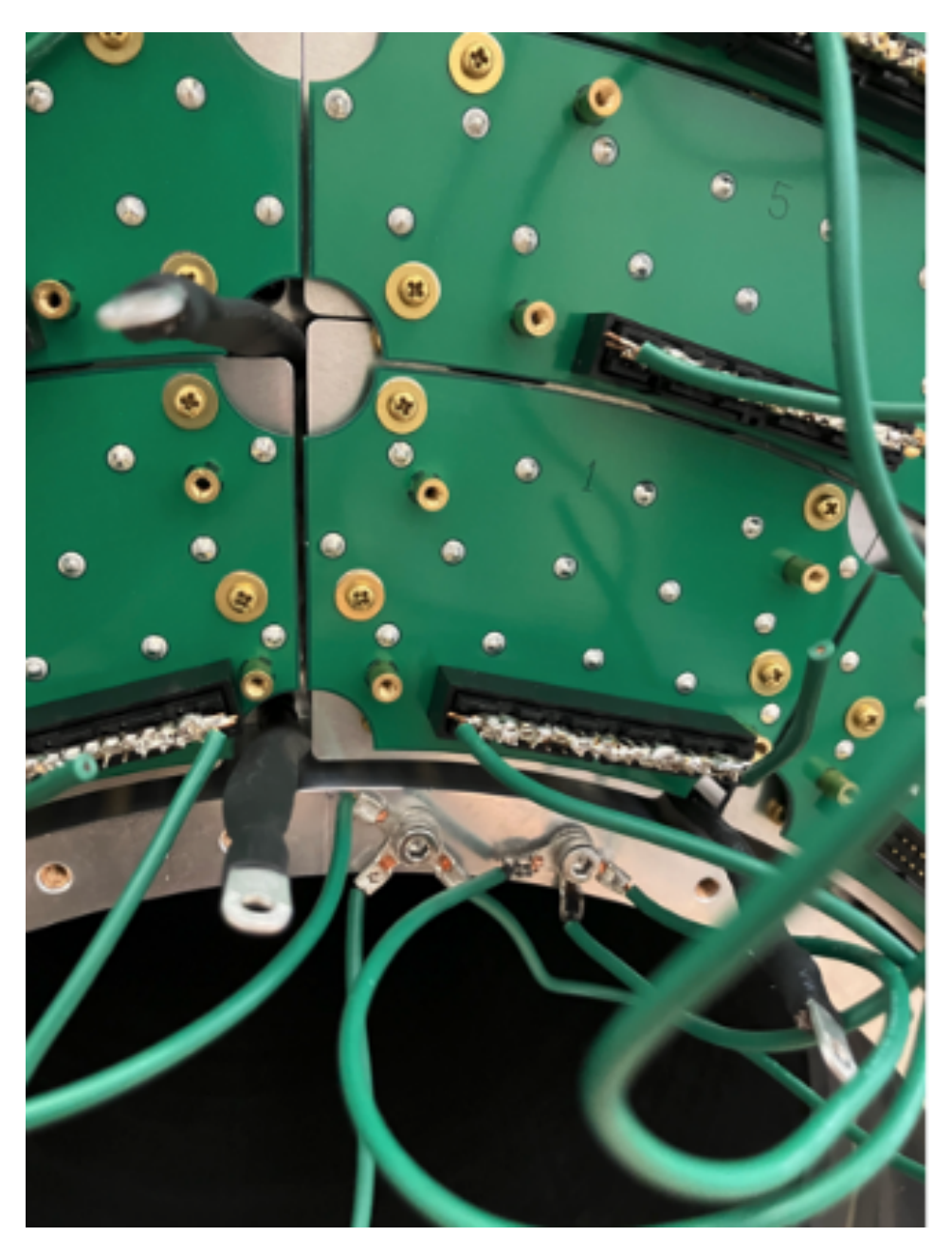
まとめ・結論

- ∇ K中間子原子核, $\bar{K}NNN$ 探索実験のための大立体角検出器システムを建設中である。
- その中のメイン検出器の1つである円筒型ドリフトチェンバーへの充填ガス決定のため、 性能比較をし、その使用可能性について調査した。 充填ガス候補はAr-CO2、要求性能は Layer 検出効率~97 %、位置分解能~200 um。
- ガスシミュレーションとテストチェンバーを用いた実験にて、 Ar-CO2の適切な混合比を調査し、90:10と決定した。
- E80-CDCと同じセル構造を持つE15-CDCでの宇宙線測定データの解析にて、
 Ar-CO2 (90:10) は上記の要求性能を満たすという結果を得た。
 したがってAr-CO2 (90:10) はCDCにおいて、使用可能であるという結論に至った。

今後の展望

E80-CDCの現状

信号変換基板取り付け完了

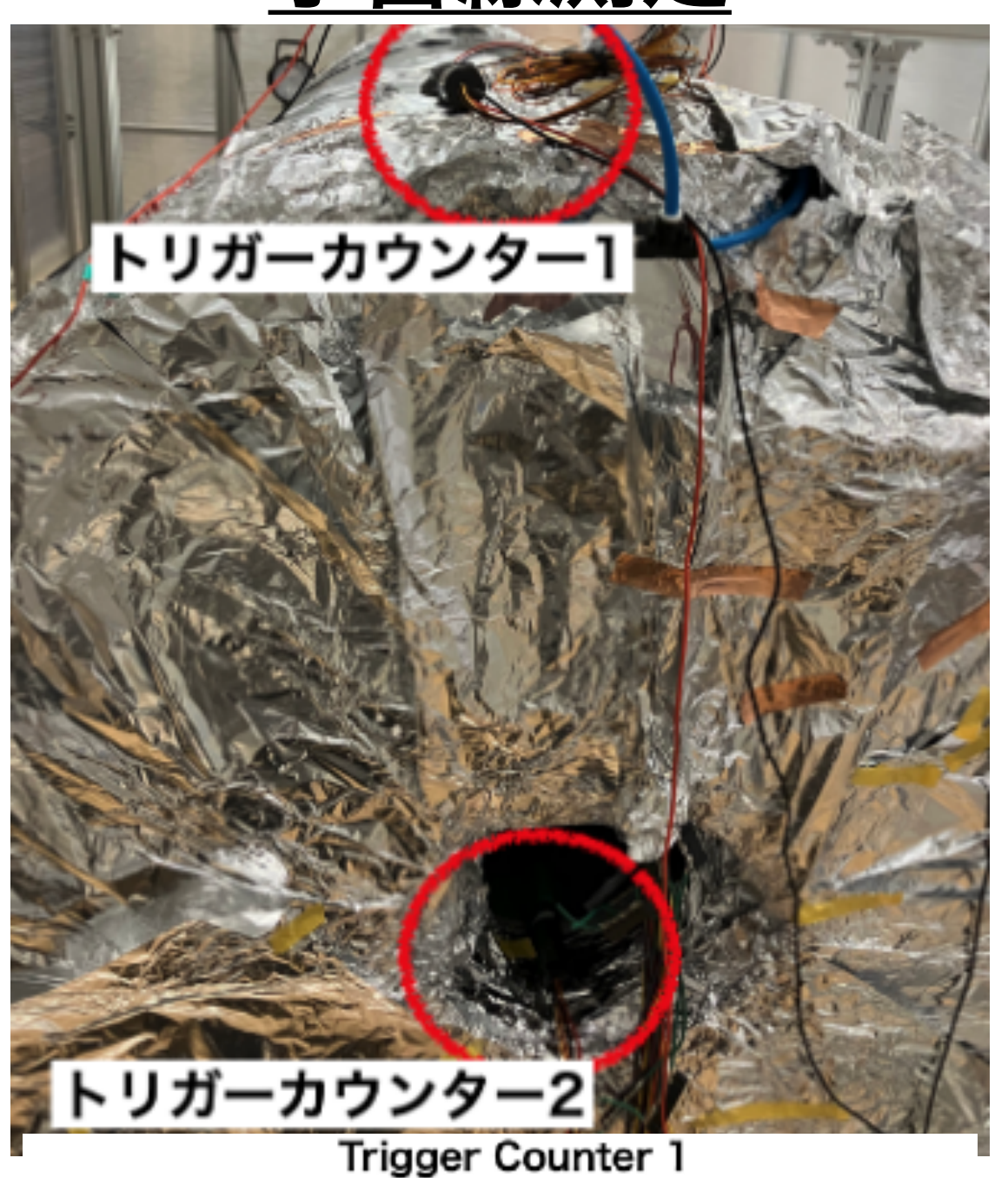


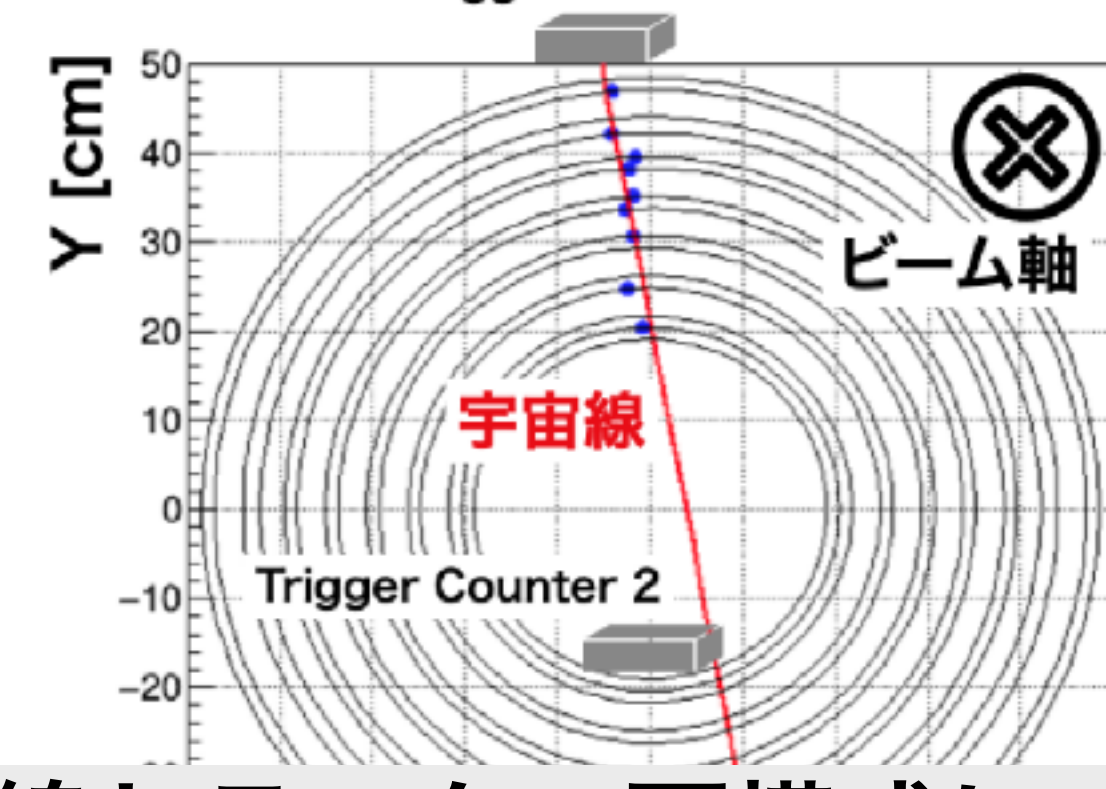


HV側組み立て完了 目標の2400Vの安定印加確認



部分的にASDを取り付けて 宇宙線測定





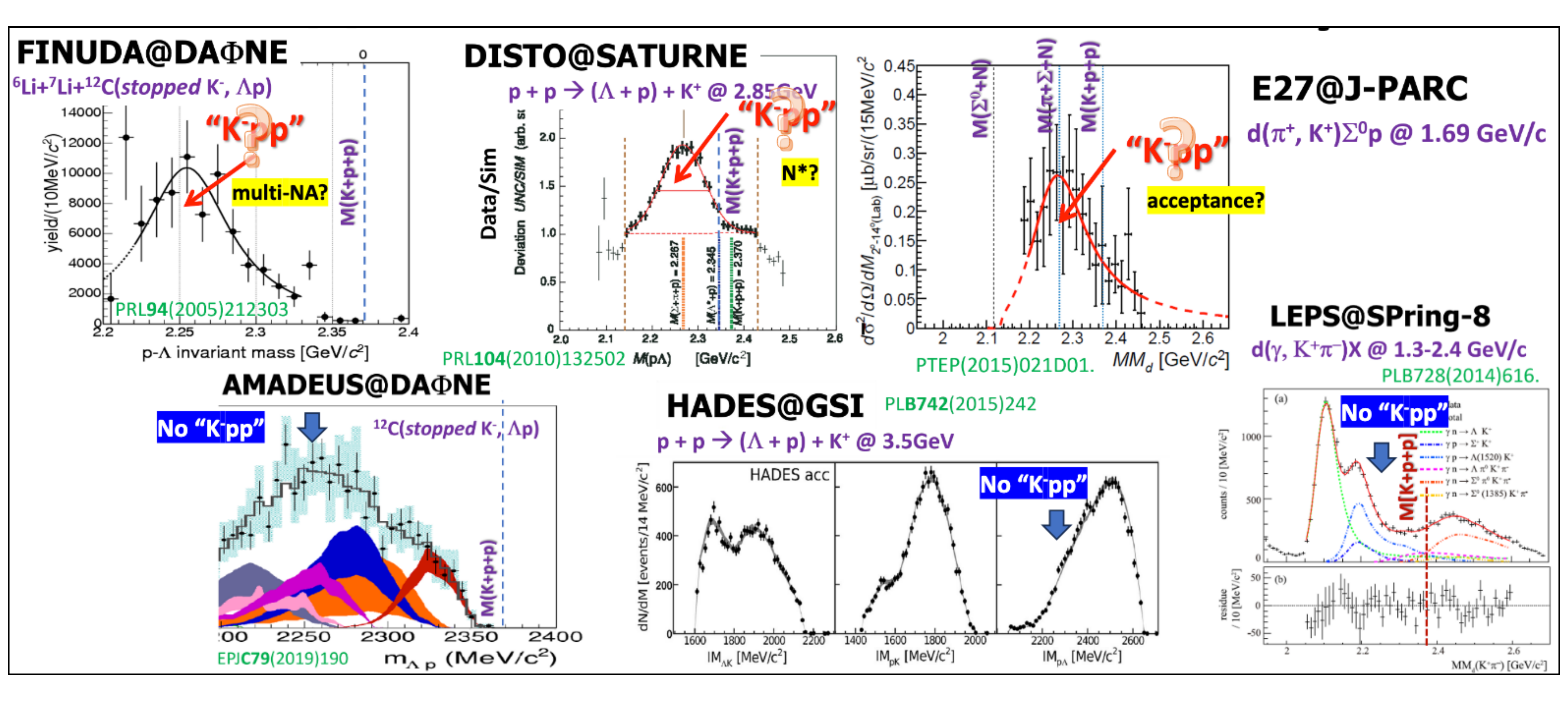
- E80-CDCにおいて、全てのASDを取り付けた状態でAr-CO2テストを行う。
- 2026年度に予定されているJ-PARC E80実験の準備を進める。

宇宙線トラックの再構成に成功

X [cm]

Back Up

K-ppの歴史

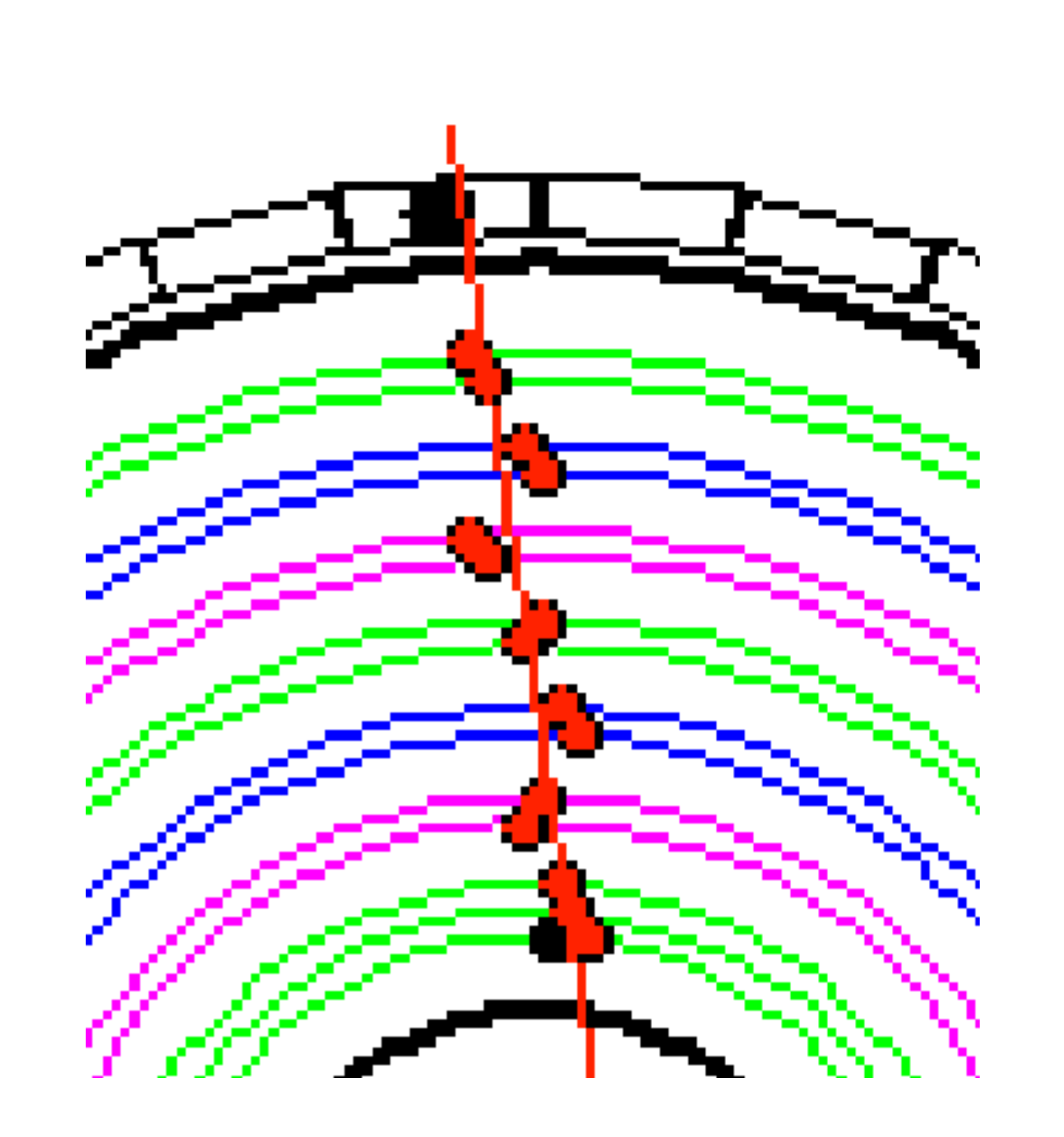


F. Sakuma, BormioWS-2025

要求性能の決め方

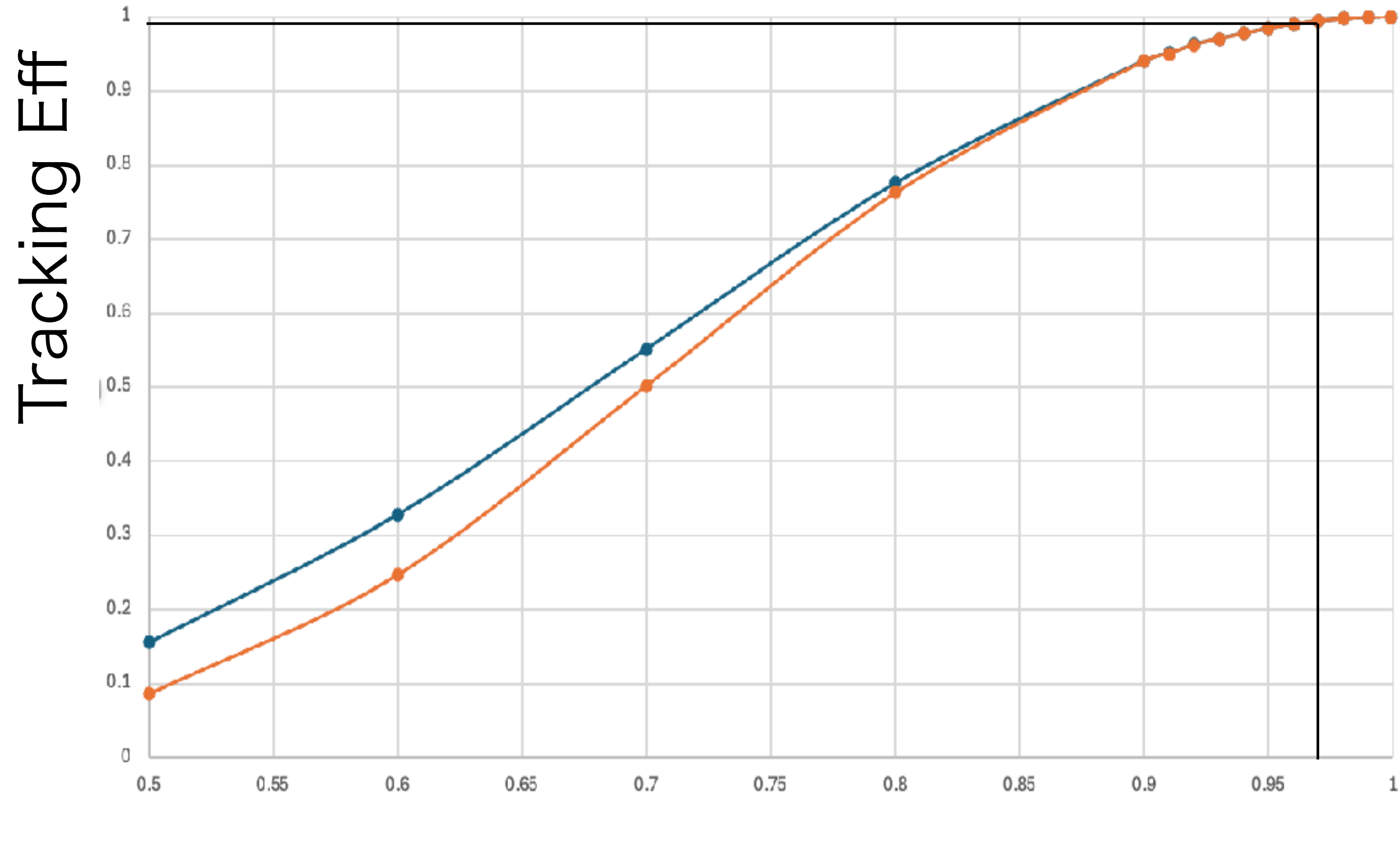
Layer Efficiency ~97%の理由

—> Tracking Efficiency ~99%欲しい



今回の解析におけるTraking条件

- ・各Super Layer毎に最低 1 Hit
- · 合計10 Hits



Layer Eff

要求性能の決め方

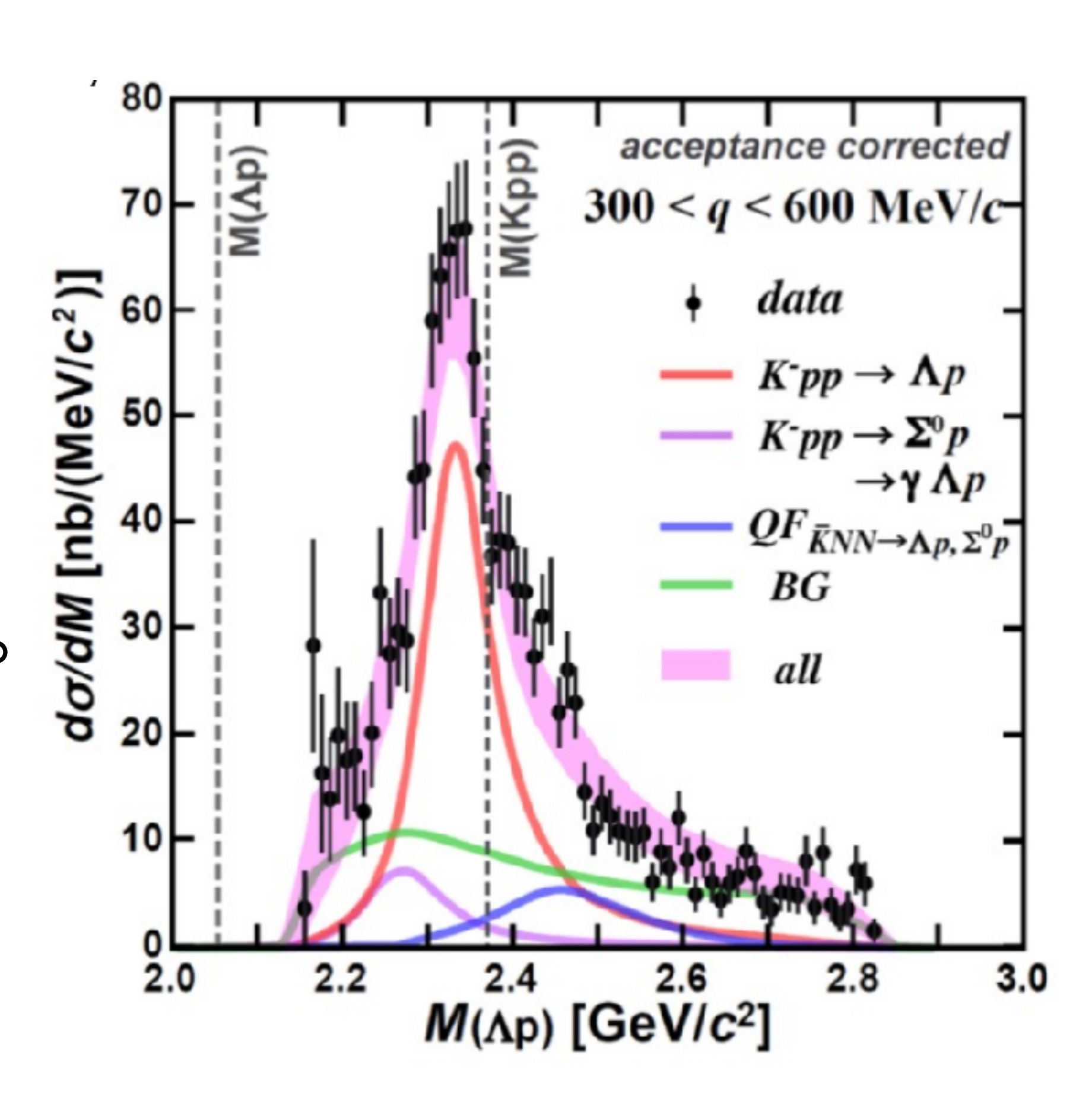
位置分解能 ~200 umの理由

過去のシミュレーションより、

200 umという位置分解能で K-ppのMass resolution 40 MeV/c^2となる。

幅100 MeV/c^2のものを見てるから、200 umで妥当。

角度分解能分もあるが、それはVFTで補う。



4. ガスシミュレーションによるガス混合比の選択

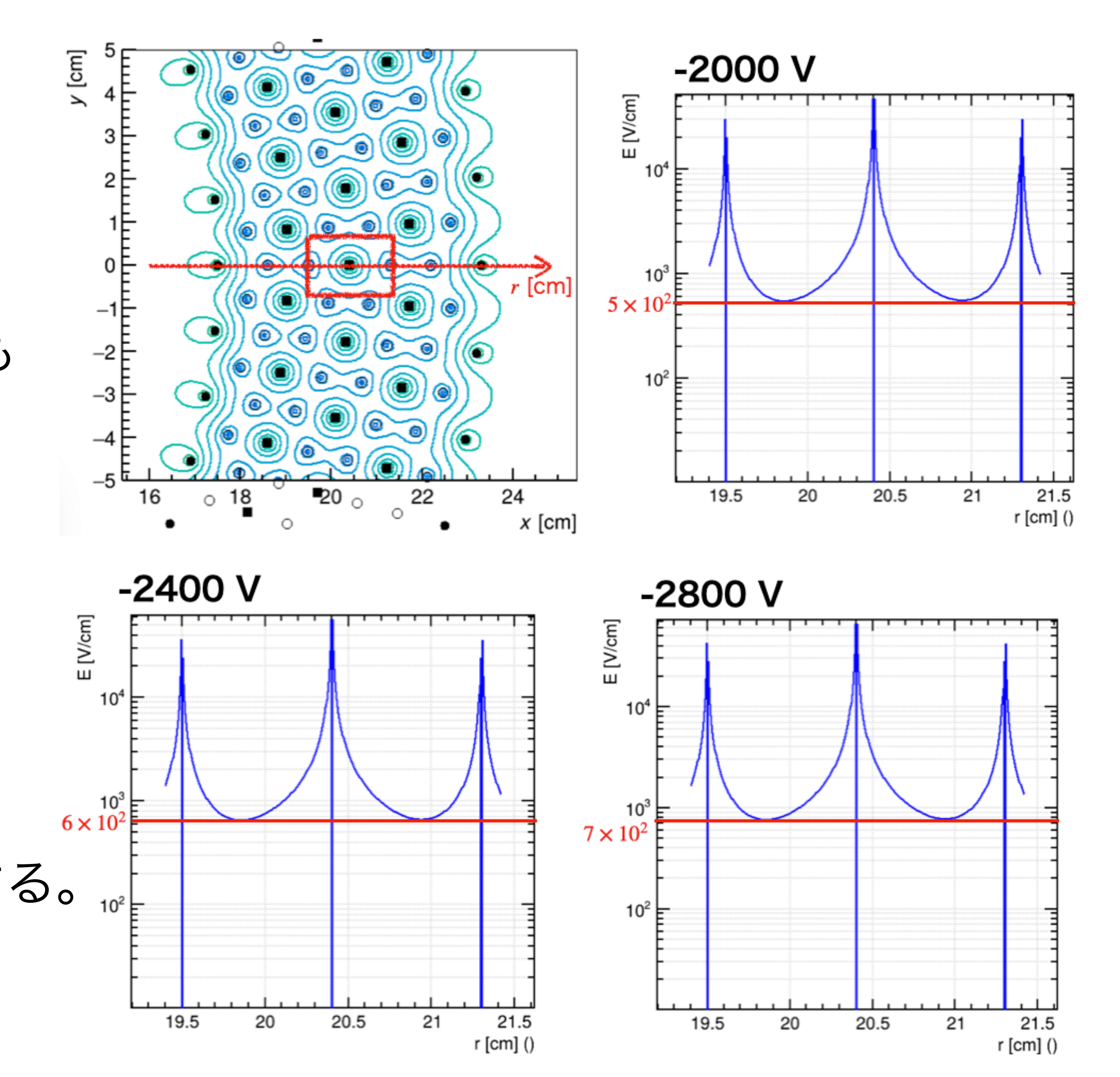
セル内電場の計算

Garfield++を用いた。

-2800 V~ -2000 Vまで変化させても ドリフト領域の下限は5~7.E+2程度。

* ドリフト領域 : E_min < E < 1.E+4 V/cm

次ページで議論する ドリフト速度と拡散については ここで得られたドリフト領域に注目する。



2024年度 修士論文発表会, 2025/2/4

4. ガスシミュレーションによるガス混合比の選択

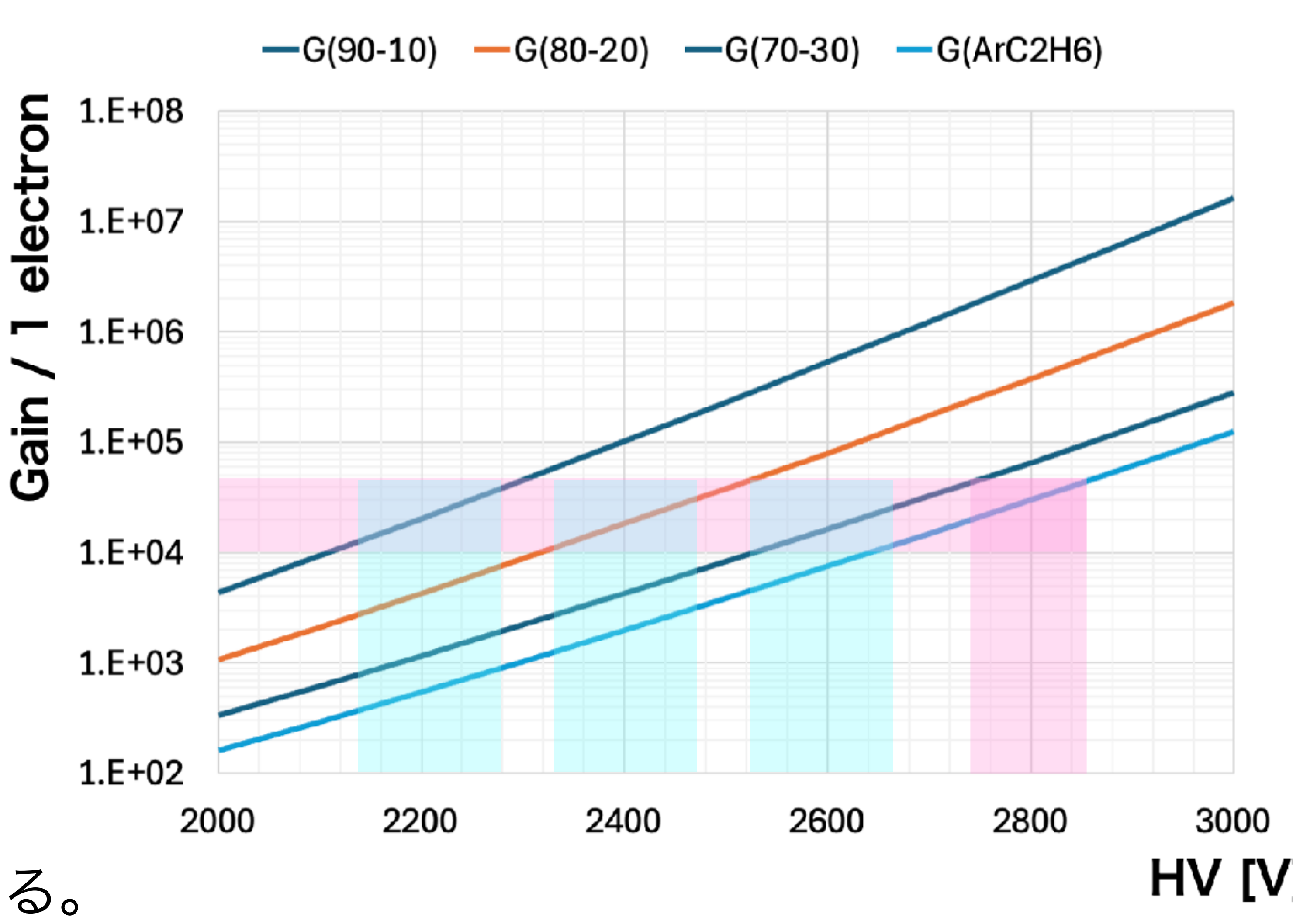
増幅率計算

E80-CDCにおける増幅率を シミュレーションツール Garfield++を用いて見積もった。

E15-CDCではAr-C2H6 (50:50)を 増幅率3×10⁴程度の電圧値で 動作させていた。

例えばAr-CO2 (90:10)では 2200 V印加すると

適切な増幅率が得られることがわかる。



5. テストチェンバー実験によるガス混合比の決定

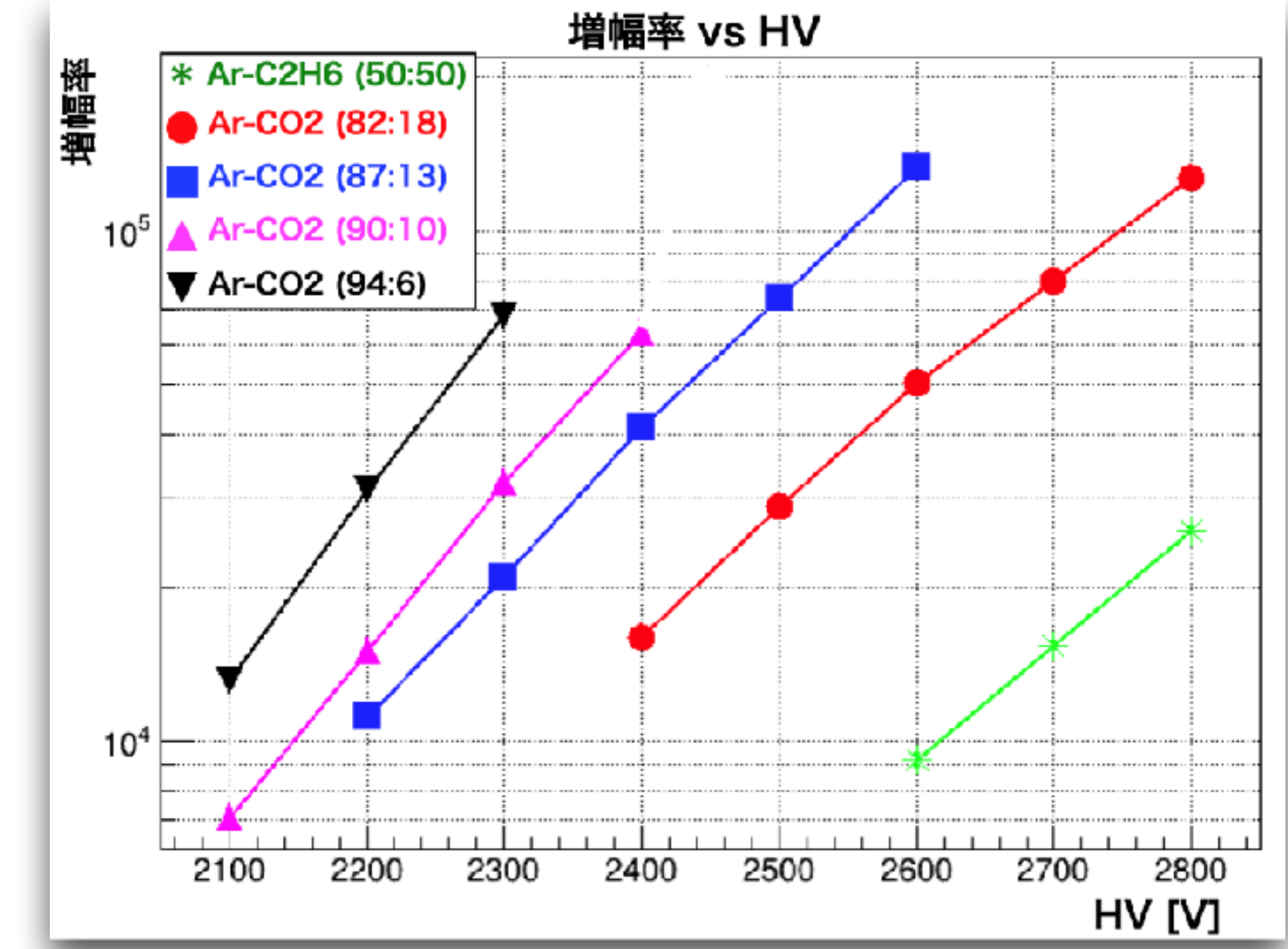
增幅率測定

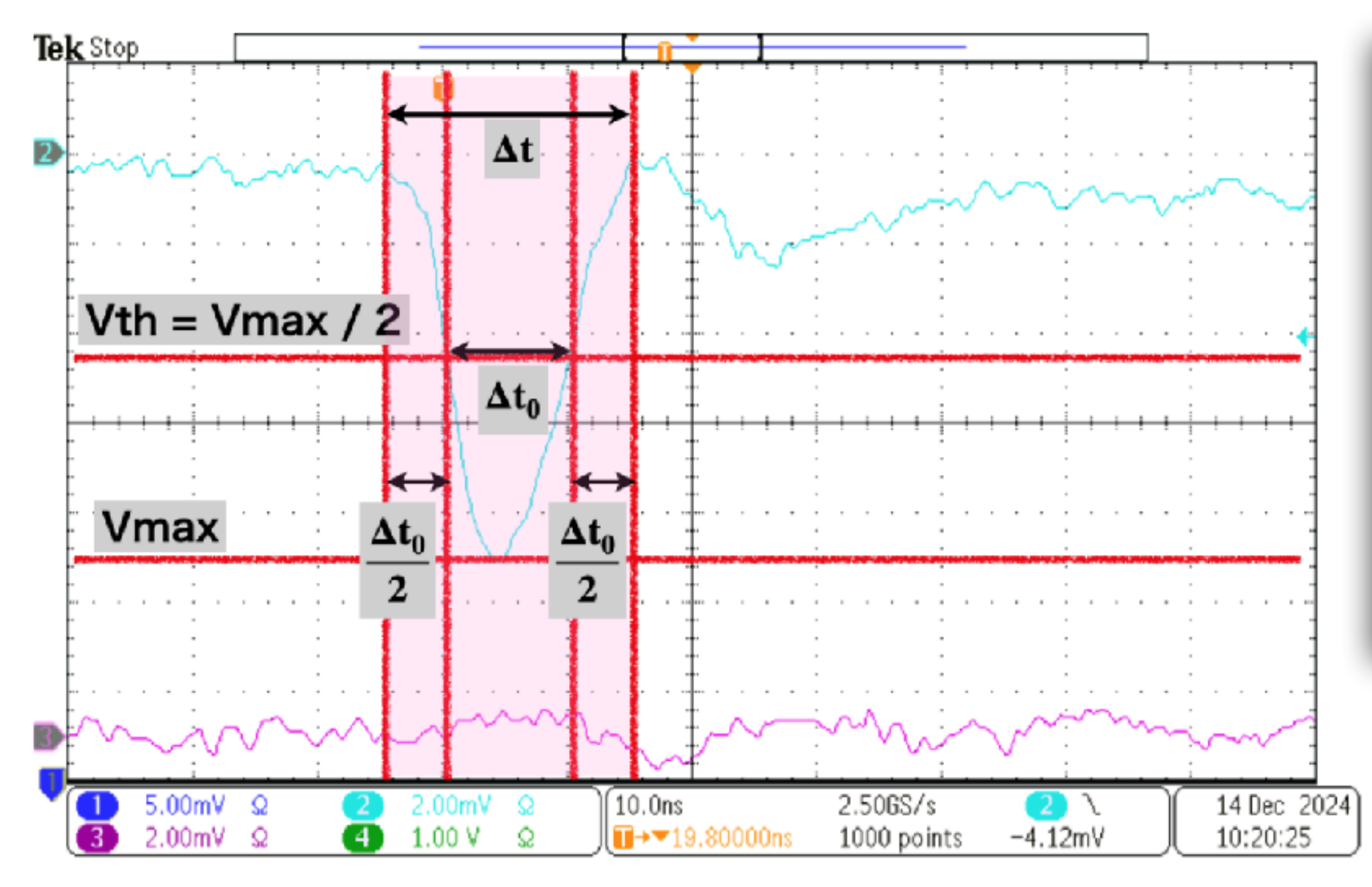
ガスの基本的性質として増幅率を調査した。

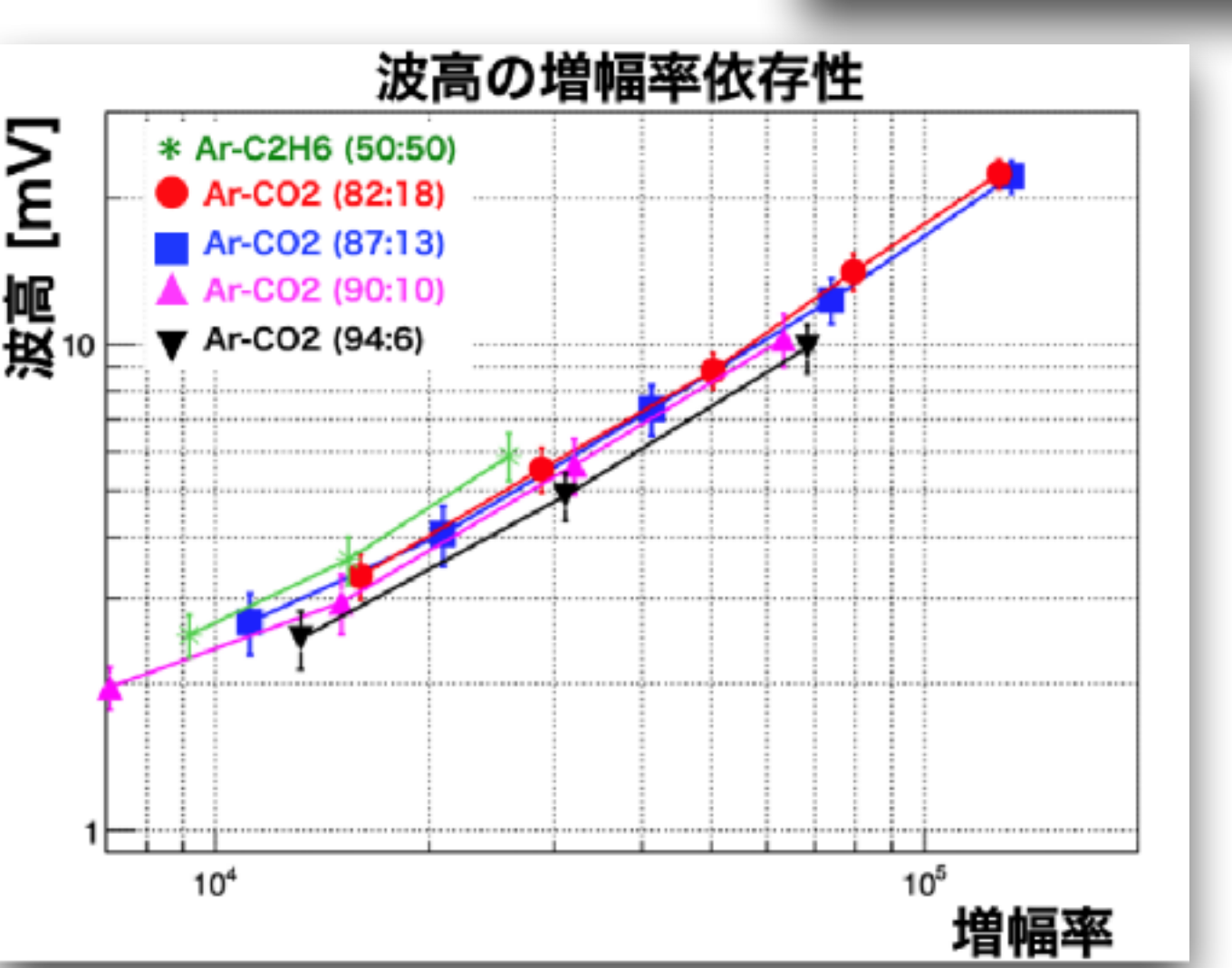
Ar-C2H6 (50:50) と90:10付近の 複数の混合比Ar-CO2について、 波形(電圧値)を0.4ns刻みで取得 \rightarrow 積分して電荷量Qを得た。 積分範囲は下図の通り Δt

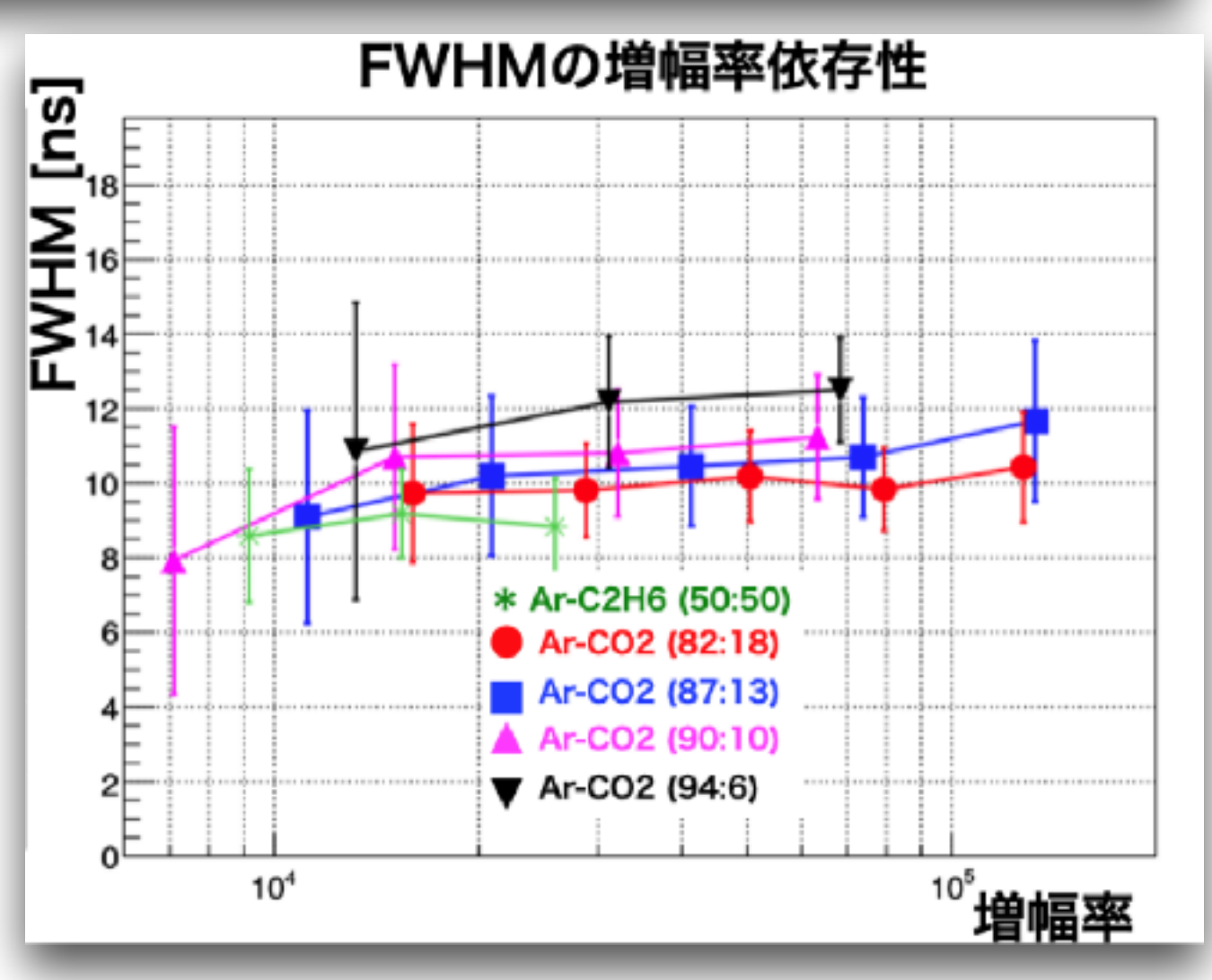
增幅率
$$G = \frac{Q}{e \cdot n_T}$$

 n_T 1 次電子数はガスの 平均イオン化エネルギーから得た。









統計後さの範囲内で明確な違いはない

2024年度 修士論文発表会, 2025/2/4

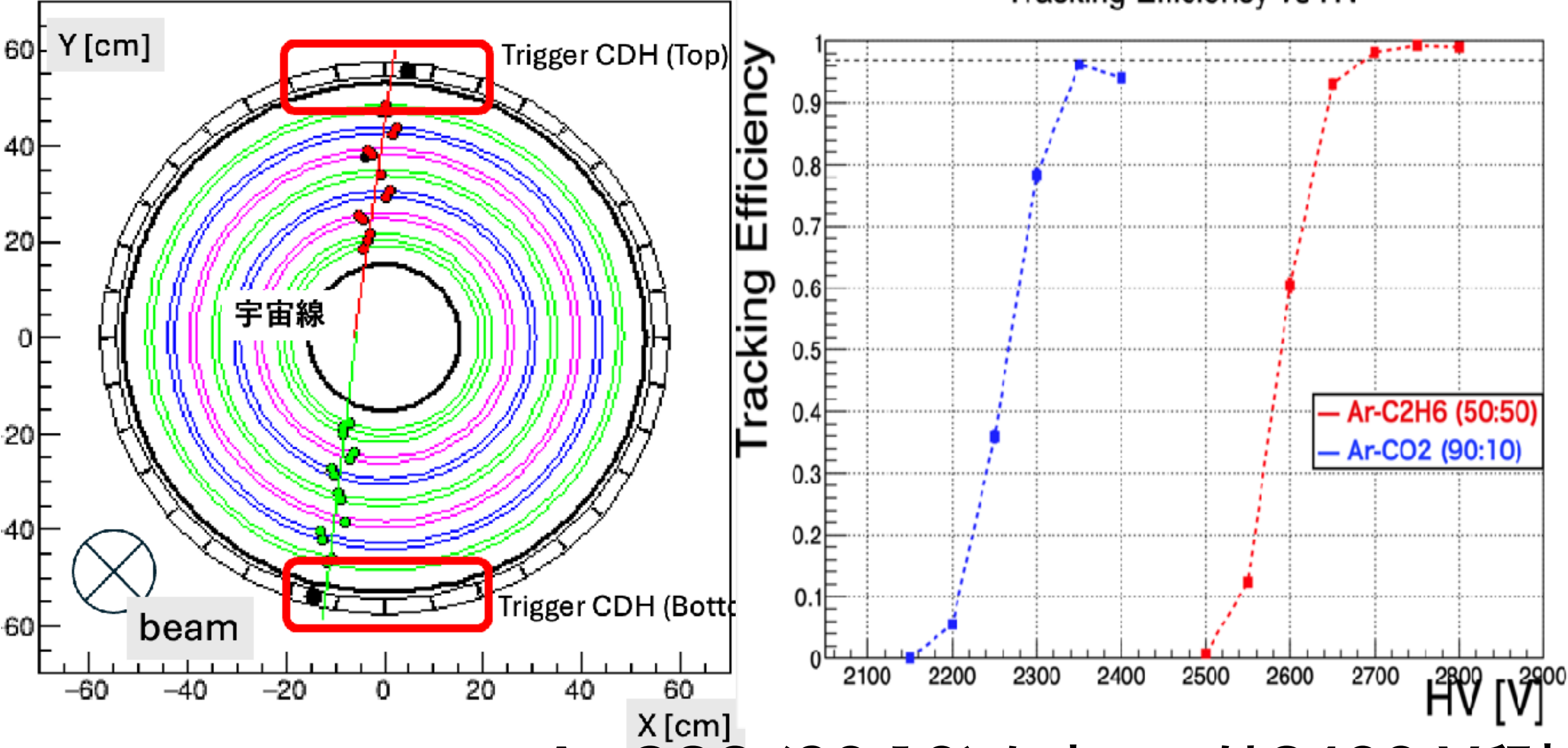
旧CDCによる宇宙線テスト

トラッキング効率の比較

要求性能

$$E_{
m Tr} = rac{N_{
m Tr}}{N_{
m CDH}} >$$
 97% $_{
m Tracking\ Efficiency\ vs\ HV}$

Ar-C2H6 (50:50)と同様のトラッキングの手順では要求性能に達しなかった。(中央図)ノイズが多いとトラッキング条件に抵触する。なるべくシグナルのみを選択する必要がある。TOT閾値を調節した時のトラッキング効率が右図。



横軸をTOTにして 240V、2350V

Ar-CO2 (90:10) においては2400 V印加時に

TOT > 50 (70) というカットのもとで要求性能を満たした。

拡散

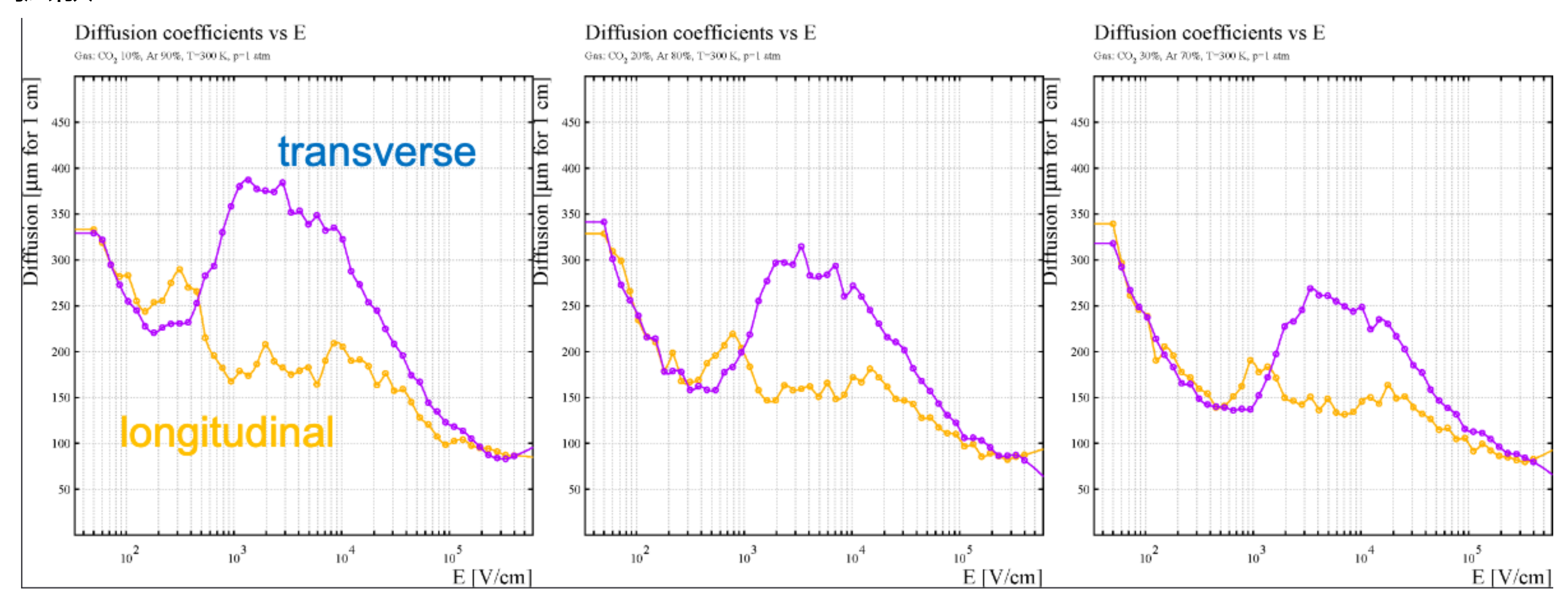
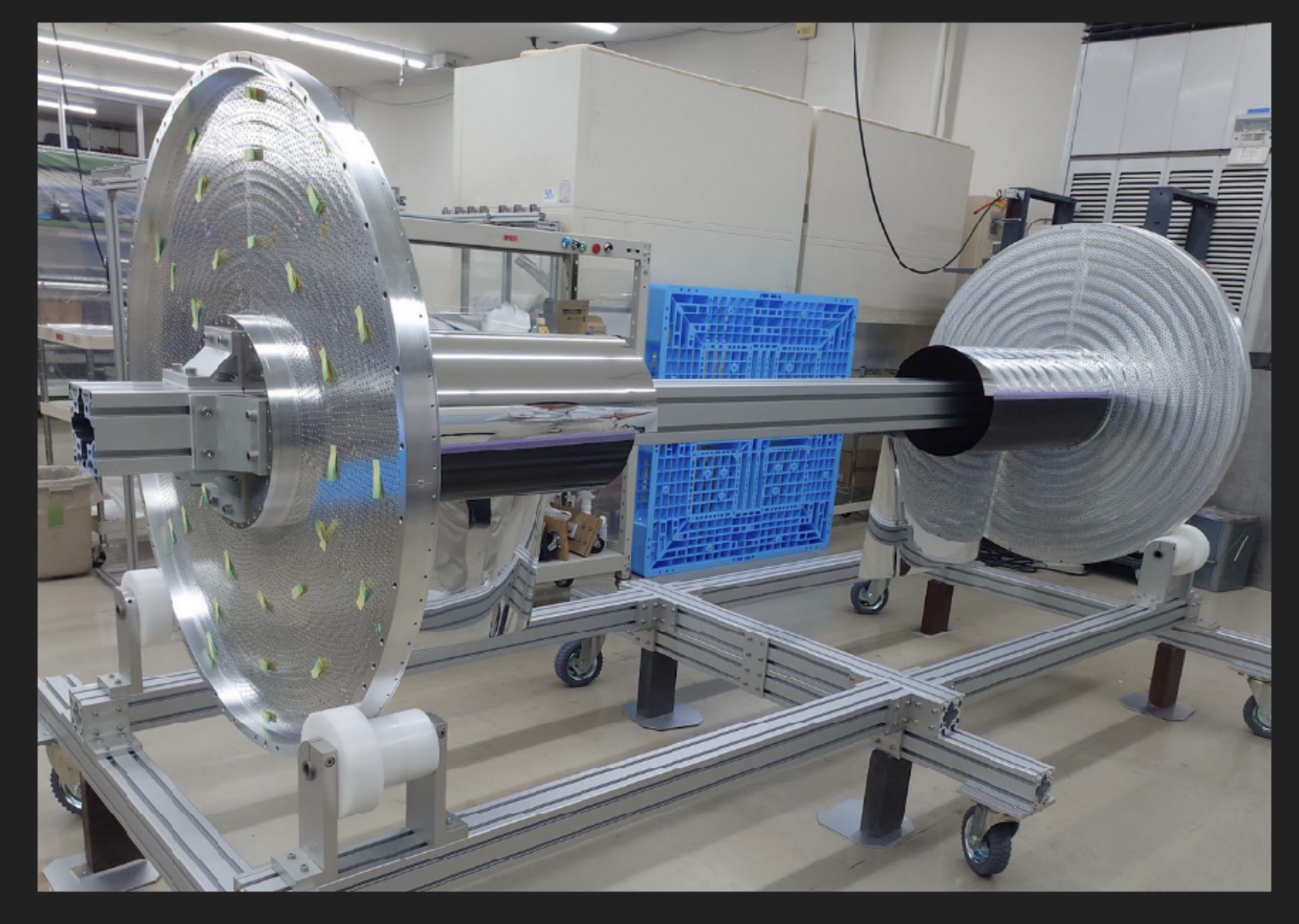


表 A.1: 気体の物理特性 [43]

Gas	z	A	ρ (g/cm ³)	$E_{\rm ex}$	$E_{\rm i}$	I_0	W_1	$\frac{dE}{dx}_0$	$n_{ m p}$	n_{T}
			(g/cm^3)	(eV)	(eV)	(eV)	(eV)	$(\mathrm{keV/cm})$	(cm^{-1})	$({\rm cm}^{-1})$
${\rm H}_2$	2	2	8.38×10^{-5}	10.8	15.9	15.4	37	0.34	5.2	9.2
			1.66×10^{-4}						5.9	7.8
			1.17×10^{-3}						(10)	56
O_2	16	32	1.33×10^{-3}	7.9	12.8	12.2	31	2.26	22	73
		l .	8.39×10^{-4}				l .	1.41	12	39
Ar	18	39.9	1.66×10^{-3}	11.6	15.7	15.8	26	2.44	29.4	94
$_{ m Kr}$	36	83.8	3.49×10^{-3}	10.0	13.9	14.0	24	4.60	(22)	192
Xe	54	131.3	5.49×10^{-3}	8.4	12.1	12.1	22	6.76	44	307
CO_2	22	44	1.86×10^{-3}	5.2	13.7	13.7	37	3.01	(34)	91
	10	l .	6.70×10^{-4}				l .	1.48	16	53
C_4H_{10}	34	58	2.42×10^{-3}	10.6	10.8	10.8	23	4.50	(46)	195

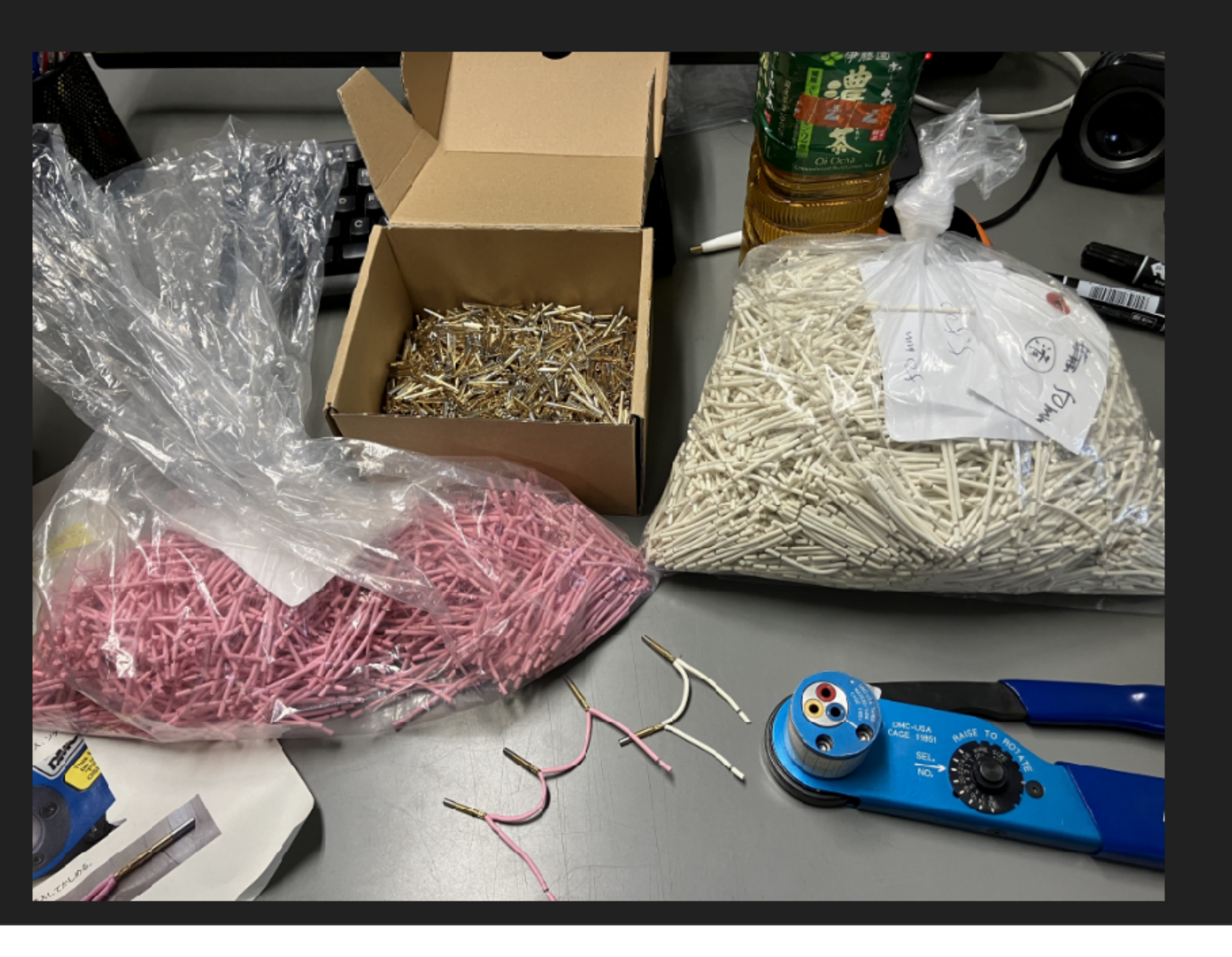
- Designed by F. Sakuma (RIKEN)
- Wire stringing work by workers of Hayashi Repic corp. (Dec. 2023 ~ Jun. 2024)







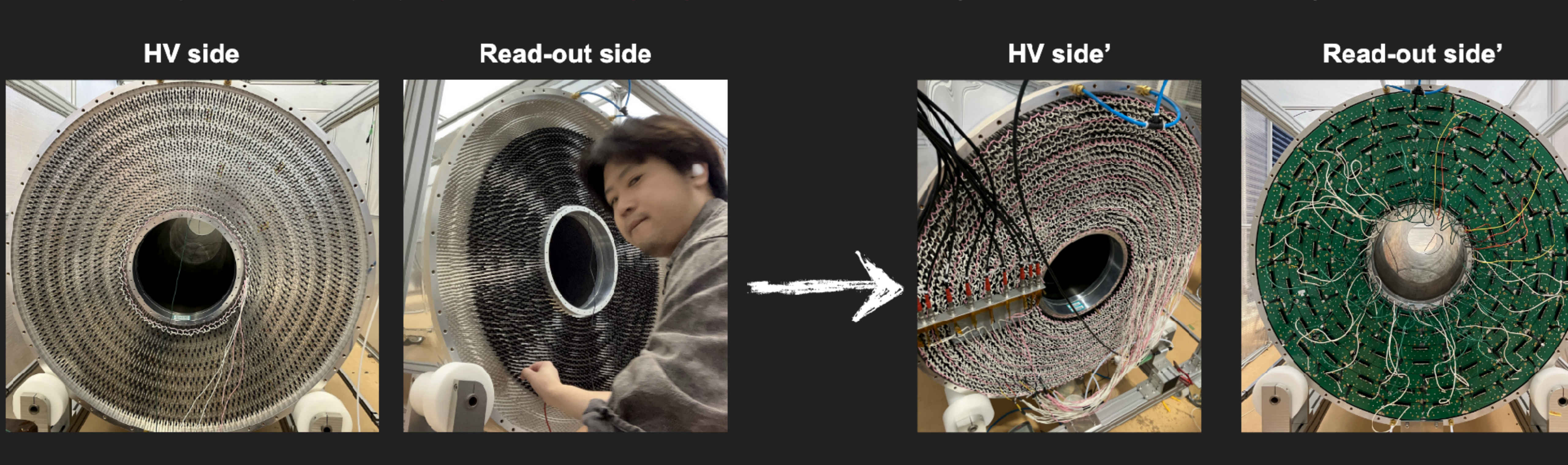
- Designed by F. Sakuma (RIKEN)
- Wire stringing work by workers of Hayashi Repic corp. (Dec. 2023 ~ Jun. 2024)
- Making daisy chains to supply HV to wires by Y. Kimura (me) (Jul. 2024 ~ Aug. 2024)







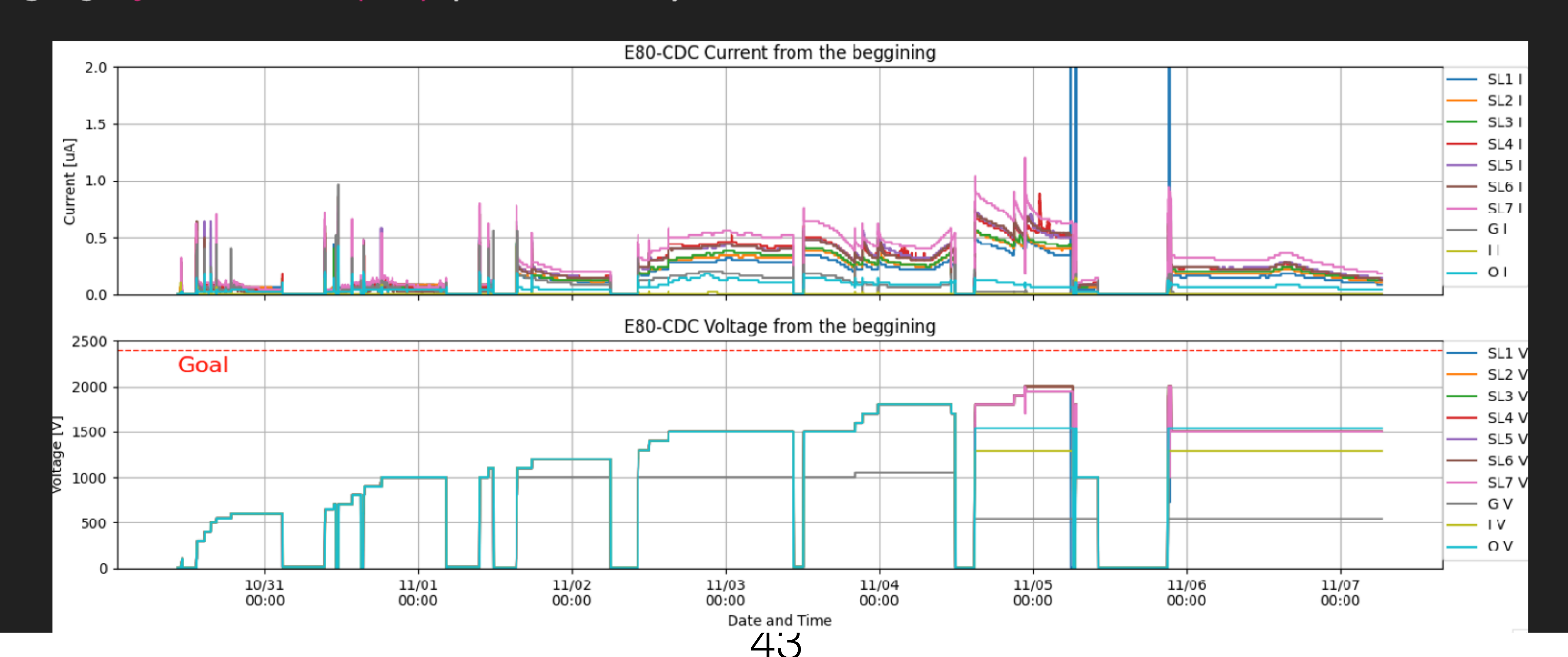
- Designed by F. Sakuma (RIKEN)
- Wire stringing work by workers of Hayashi Repic corp. (Dec. 2023 ~ Jun. 2024)
- Making daisy chains to supply HV to wires by Y. Kimura (me) (Jul. 2024 ~ Aug. 2024)
- Preparing for wire aging by Y. Kimura (me) with F. Sakuma (Sep. 2024 ~ Oct. 2024)



We thought that finally it's time to apply HV! But, it didn't work well...

We spent a week to find two broken wires.

- Designed by F. Sakuma (RIKEN)
- Wire stringing work by workers of Hayashi Repic corp. (Dec. 2023 ~ Jun. 2024)
- Making daisy chains to supply HV to wires by Y. Kimura (me) (Jul. 2024 ~ Aug. 2024)
- Preparing for wire aging by Y. Kimura (me) with F. Sakuma (Sep. 2024 ~ Oct. 2024)
- Wire aging by Y. Kimura (me) (Oct. 2024 ~)



Back-up

Table 12: Cell configuration of the CDC.

Super-	lower	Wire	Radius	Cell width	Cell width	Stereo angle	Signal channels	
layer	layer	direction	(mm)	(degree)	(mm)	(degree)	per layer	
	1	X	190.5		16.7	0		
A1	2	X'	204.0	5.00	17.8	0	72	
	3	X	217.5		19.0	0		
U1	4	U	248.5	4.00	17.3	-2.27	00	
	5	U'	262.0	4.00	18.3	-2.39	90	
V1	6	V	293.0	3.60	18.4	2.42	100	
	7	V'	306.5	3.00	19.3	2.53	100	
A2	8	X	337.5	3.00	17.7	0	120	
	9	X'	351.0	3.00	18.4	0	120	
U2	10			2.40	16.0	-2.82	150	
	11	U'	395.5	2.40	16.6	-2.92	100	
V2	12	V	426.5	2.25	16.7	2.96	160	
	13	V'	440.0	2.20	17.3	3.05	100	
A3	14	X	471.0	2.00	16.4	0	180	
	15	X'	484.5	2.00	16.9	0	100	

44

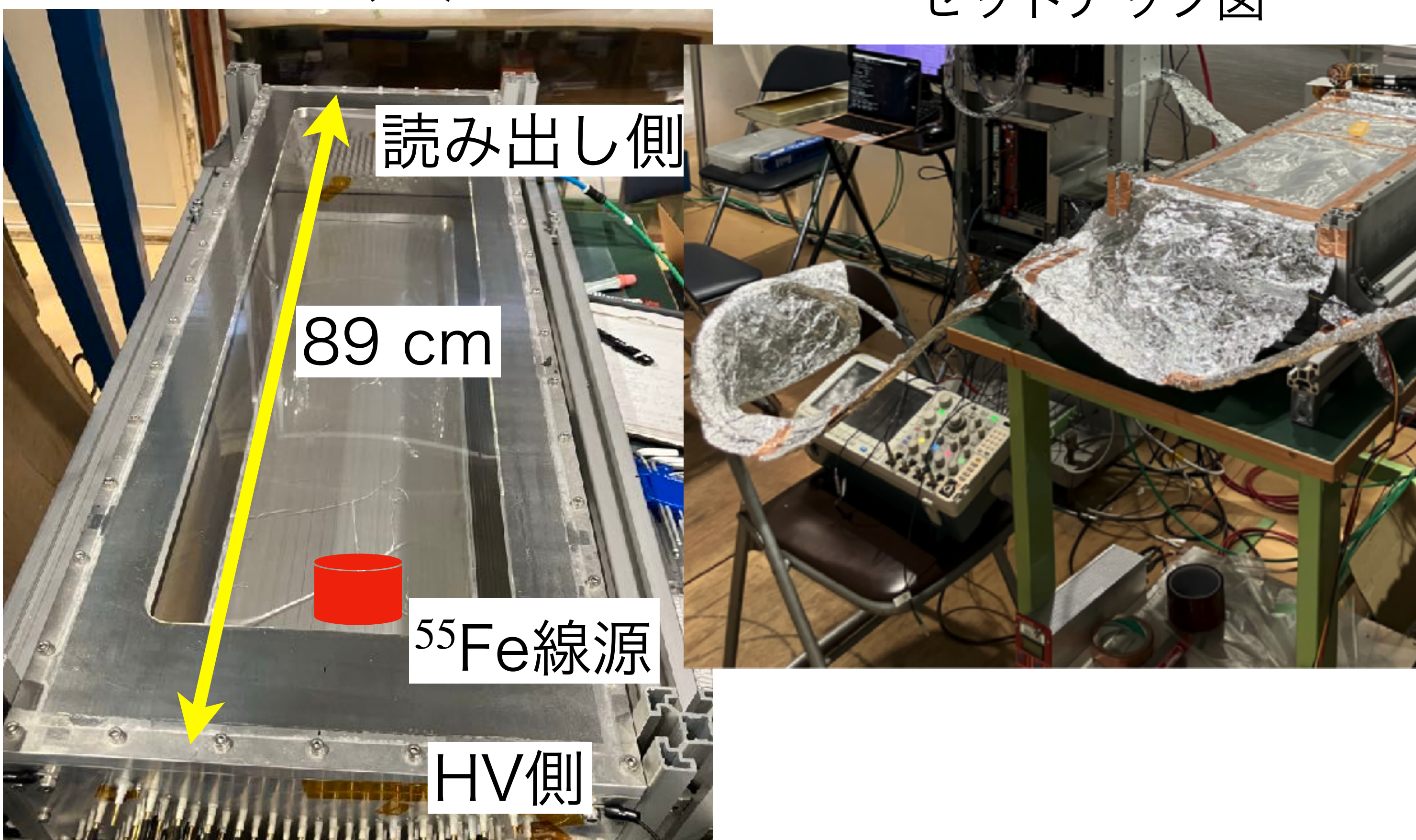
5. テストチェンバー実験によるガス混合比の決定

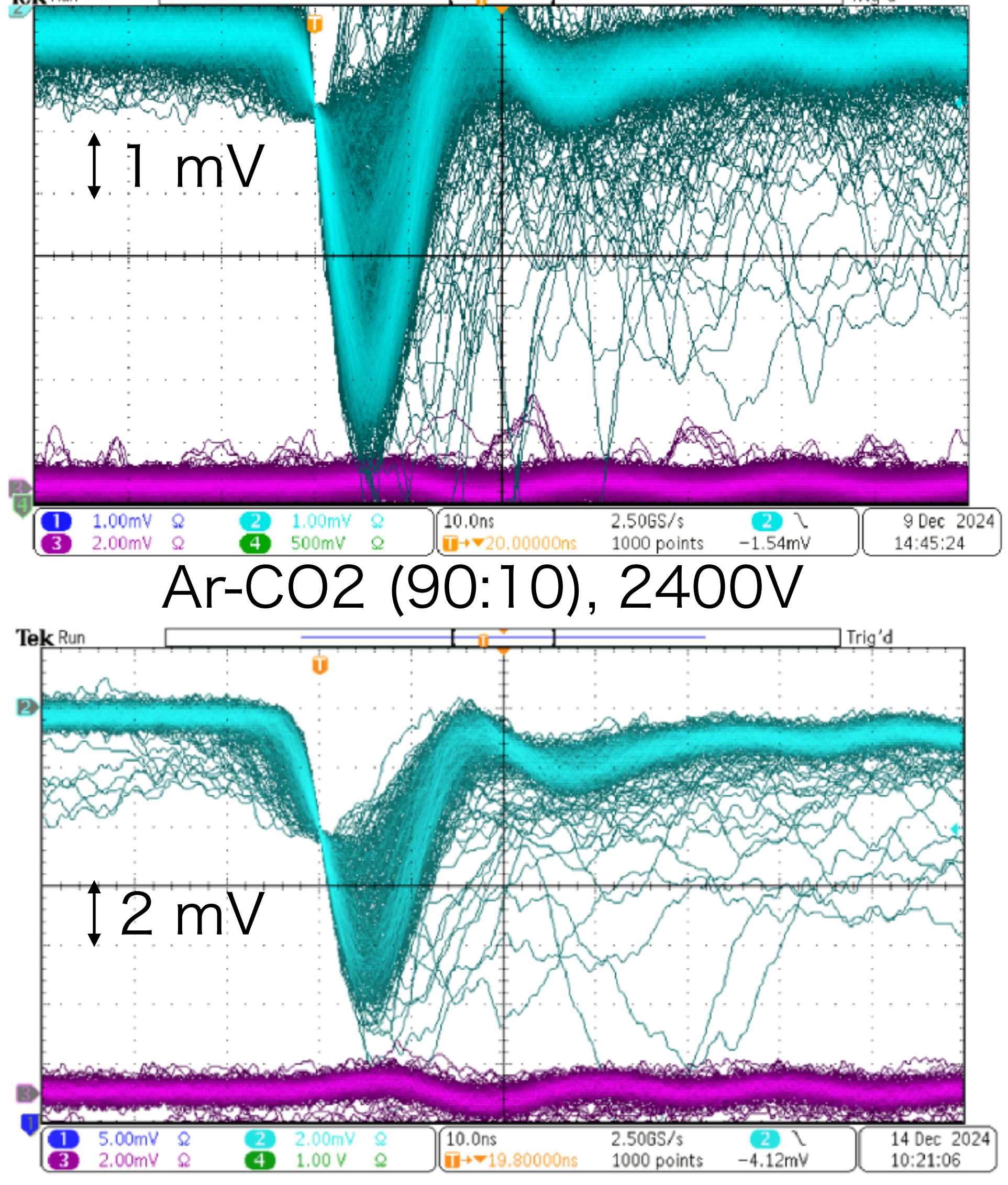
信号波形確認

ワイヤーから直接信号を オシロスコープで観測した。

セル構造はE80(15)-CDCと同じ

セットアップ図



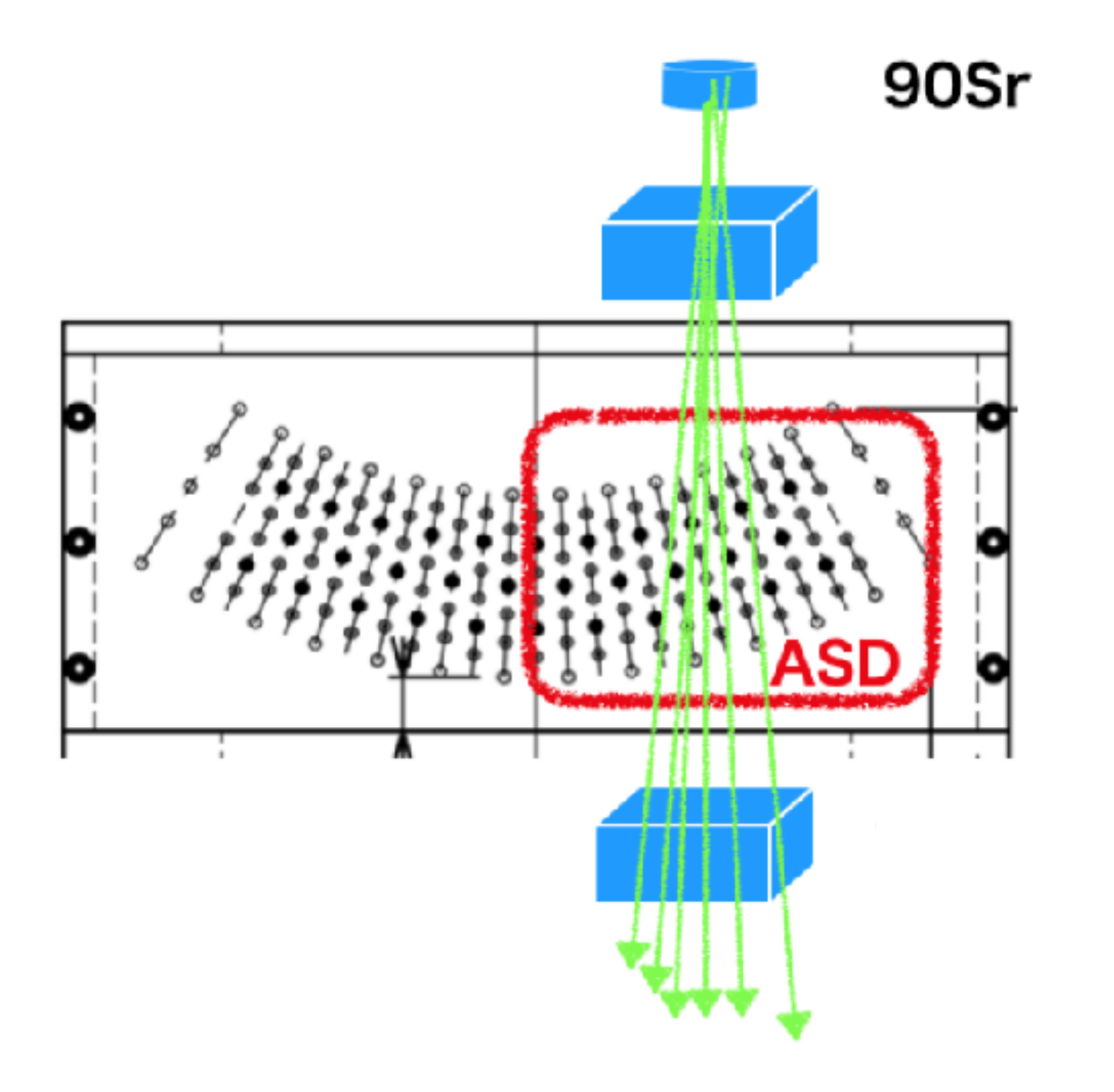


Ar-C2H6 (50:50), 2800V

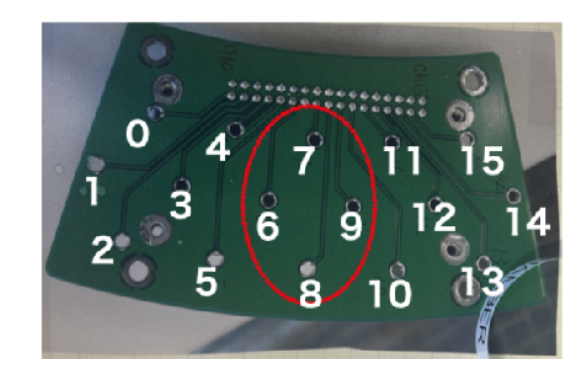
<u>両ガス間で信号の波形に明らかな違いは見られなかった。</u>

線源を使った検出効率測定

Ar-CO2の場合に十分な検出効率が得られるかを調査した。



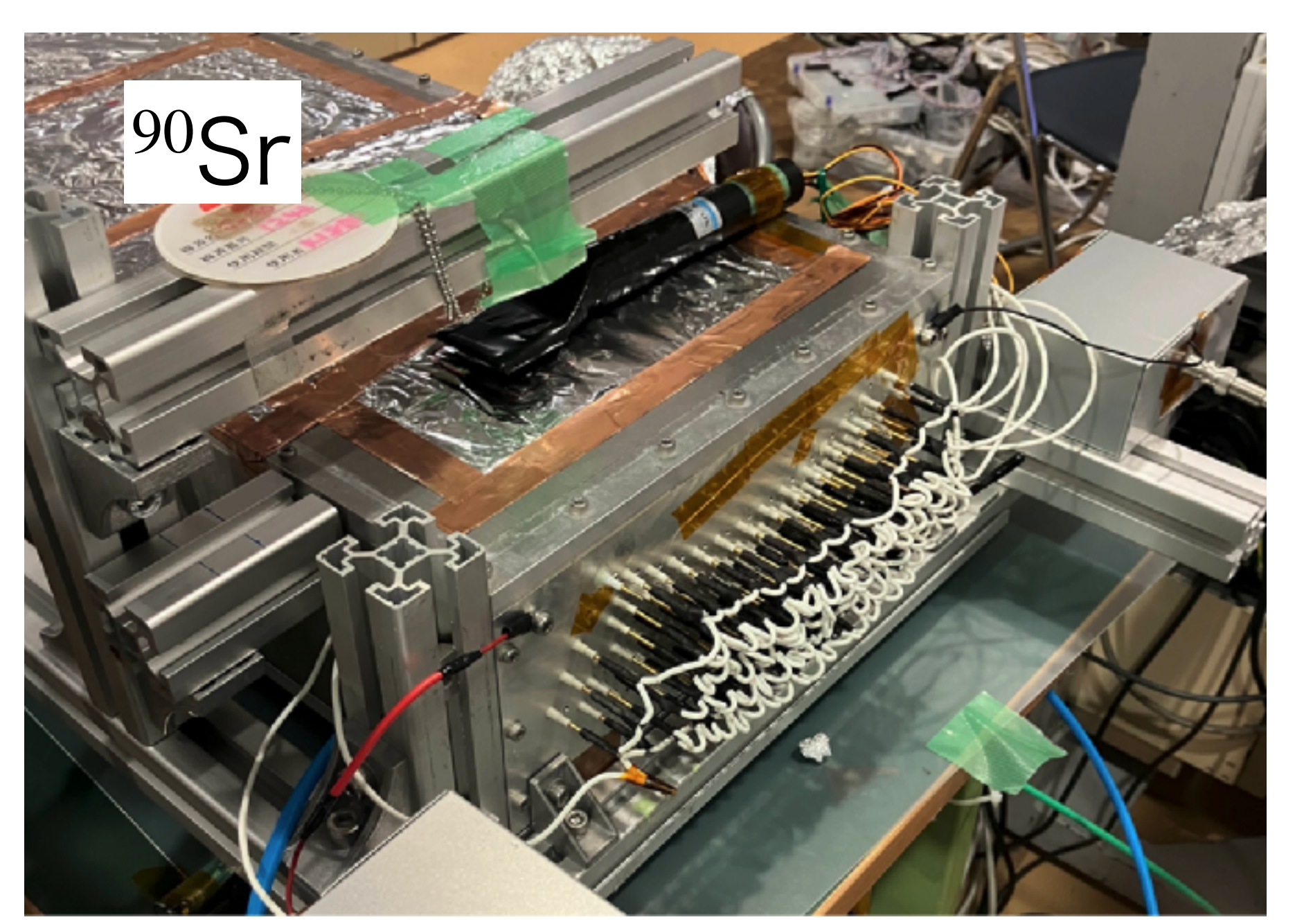
むしろこの部分のセル構造

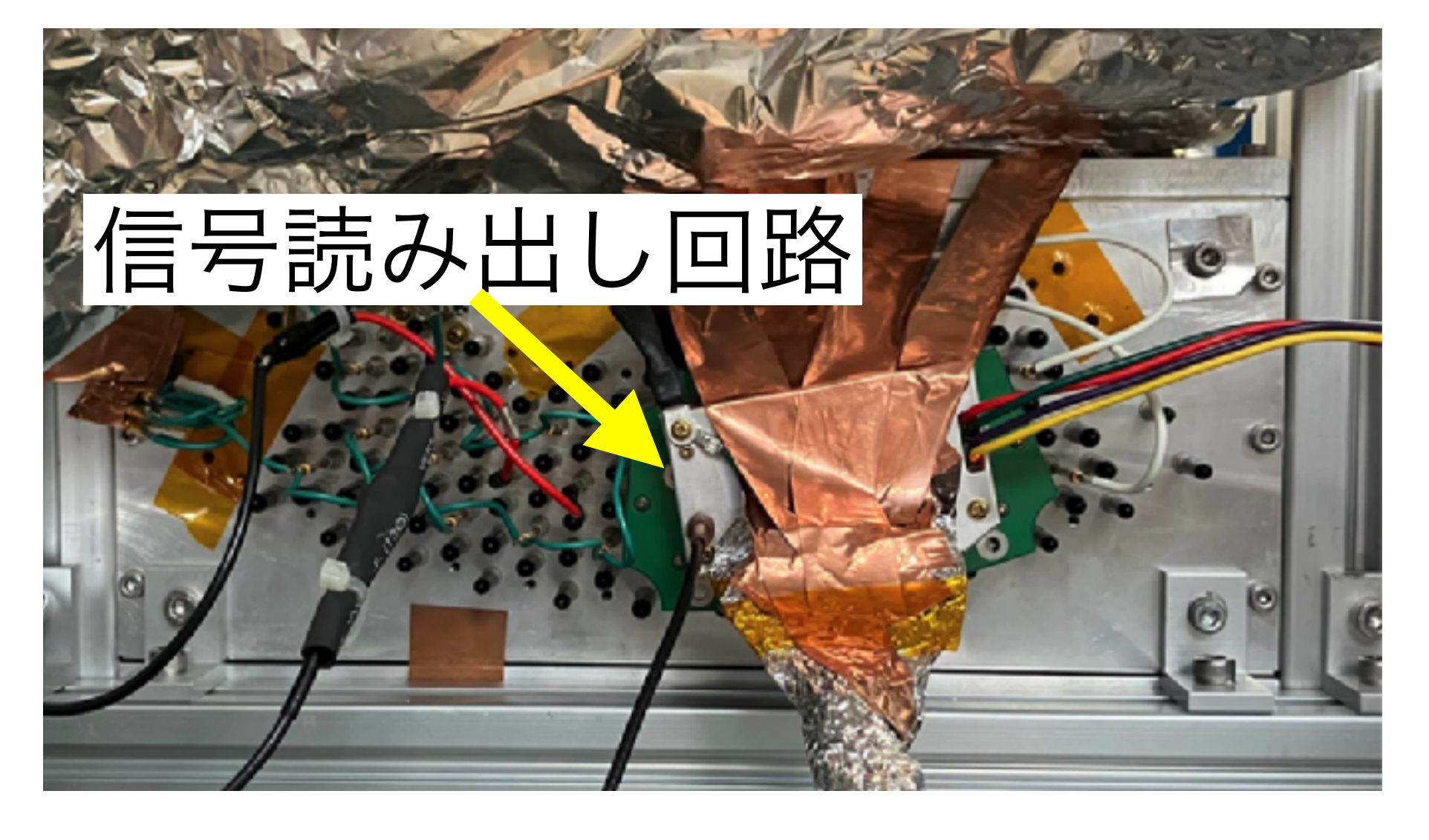


検出効率の定義

Efficinecy = Hit1 & Hit4 & (Hit2 or Hit3)
Hit1 & Hit4

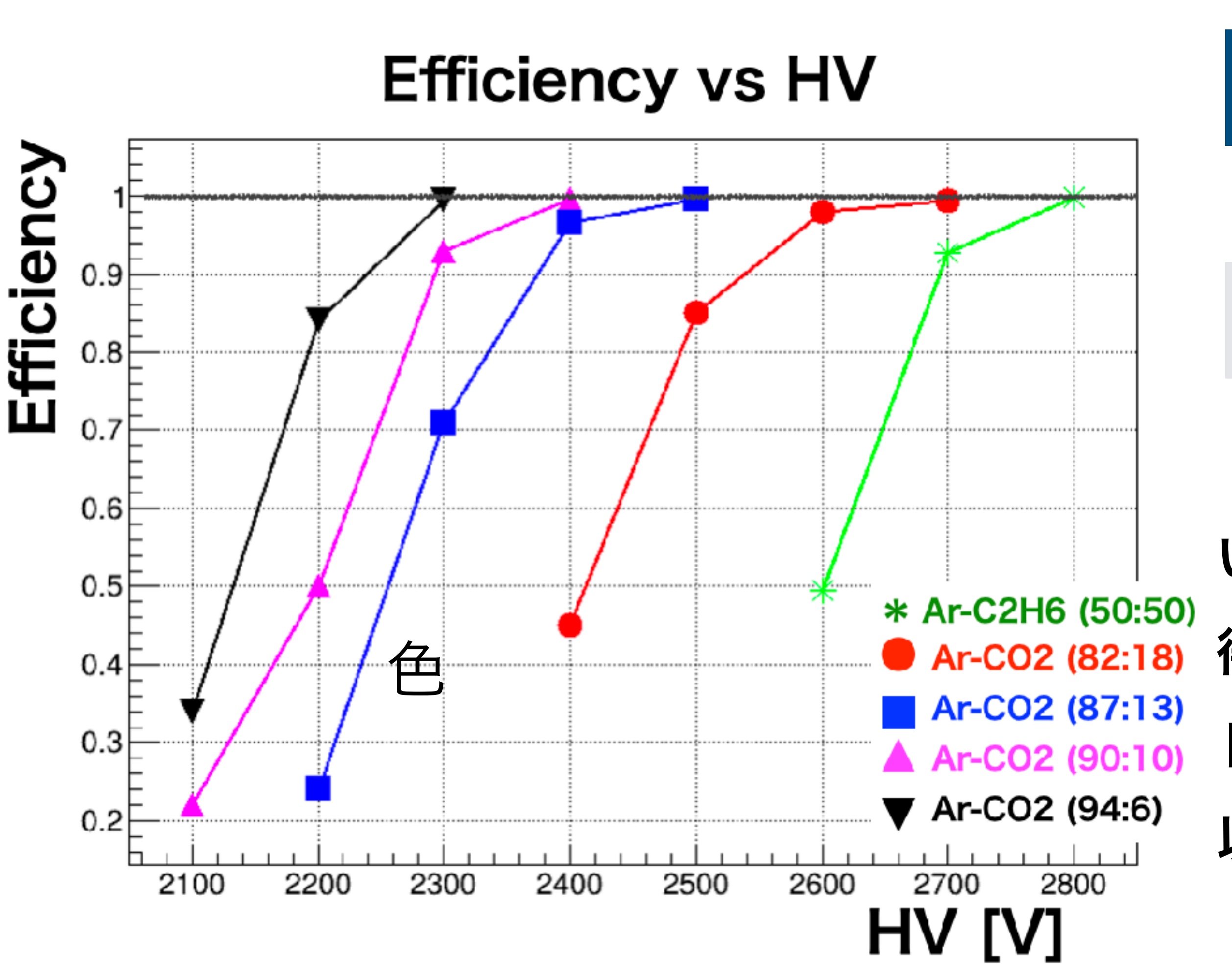
実機





5. テストチェンバー実験によるガス混合比の決定

検出効率測定結果



gas	90:10	Ar-C2H6 50:50	94:6	87:13	82:18
HV	2400V	2800V	2300V	2500V	2700V
Eff	0.996	0.998	0.998	0.996	0.993

いずれの混合比においても検出効率 ~100% が得られることが確かめられた。

ドリフト速度の観点からは90:10が望ましいため、 以下でトラッキングを含めたより詳細な評価を行った。

6. 旧CDCによる性能評価

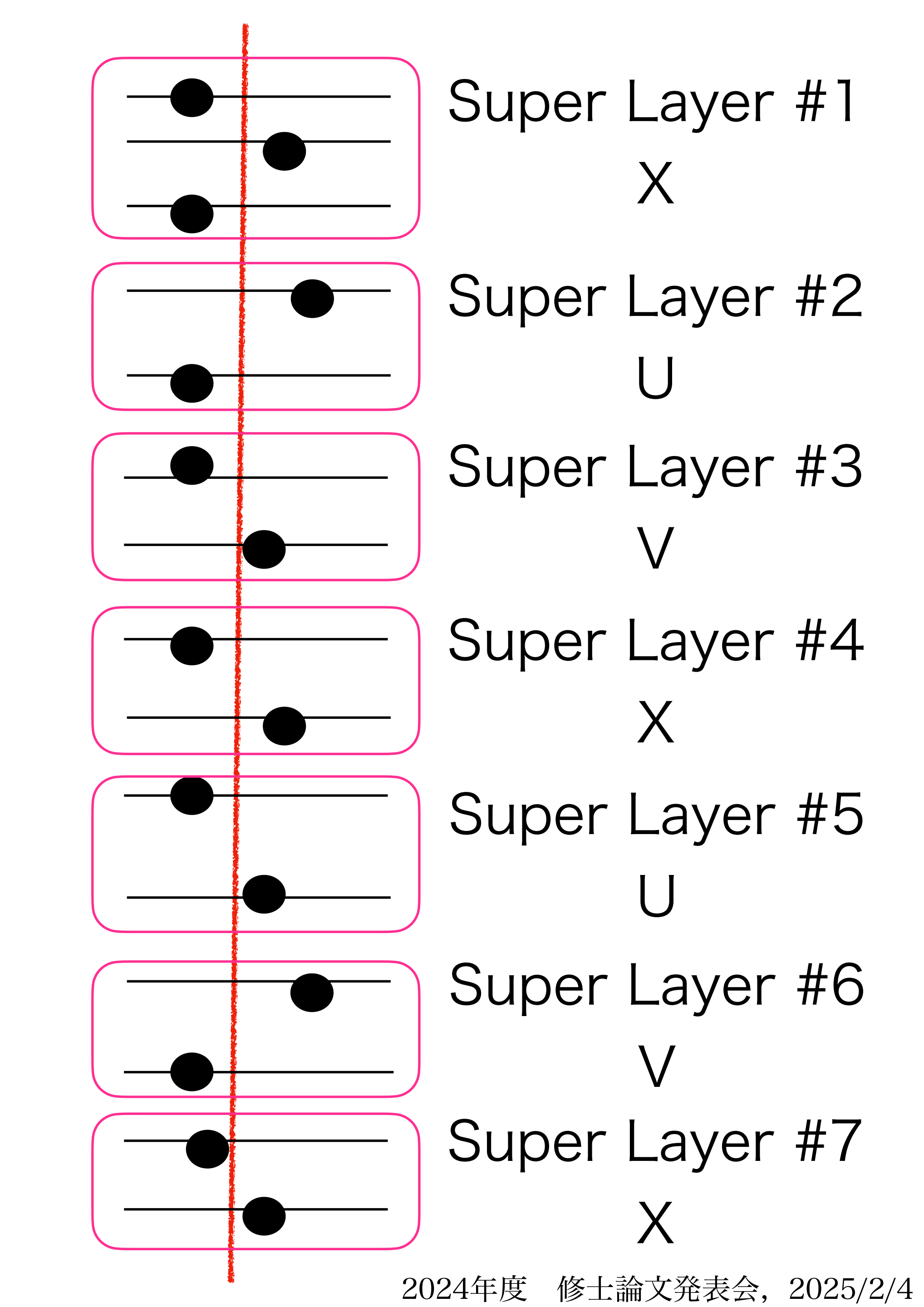
トラッキング条件

<u>手順</u>

- 1. Super Layerごとにクラスターを作る。
- 2. ビーム軸と並行に貼られたワイヤー層 (X)のみを使い、トラックを引く。クラスターのなかであらゆる可能性を試し、 χ^2 が最も小さいトラックを採用する。
- 3. 次に傾いたワイヤー層 (U, V層) に注目する。 X層のみを用いたトラック上に U, V層のクラスターがあればそのヒット情報も含めて 再度トラッキングをする。
- 4. 最終的に χ^2 が最も小さいトラックを採用する。

トラック条件

- 1. 各Super Layerに最低1ヒットある。 10個以上のヒットを使っている。
- 2. クラスターサイズが100未満かつ、 クラスターサイズの積が10,000未満である。



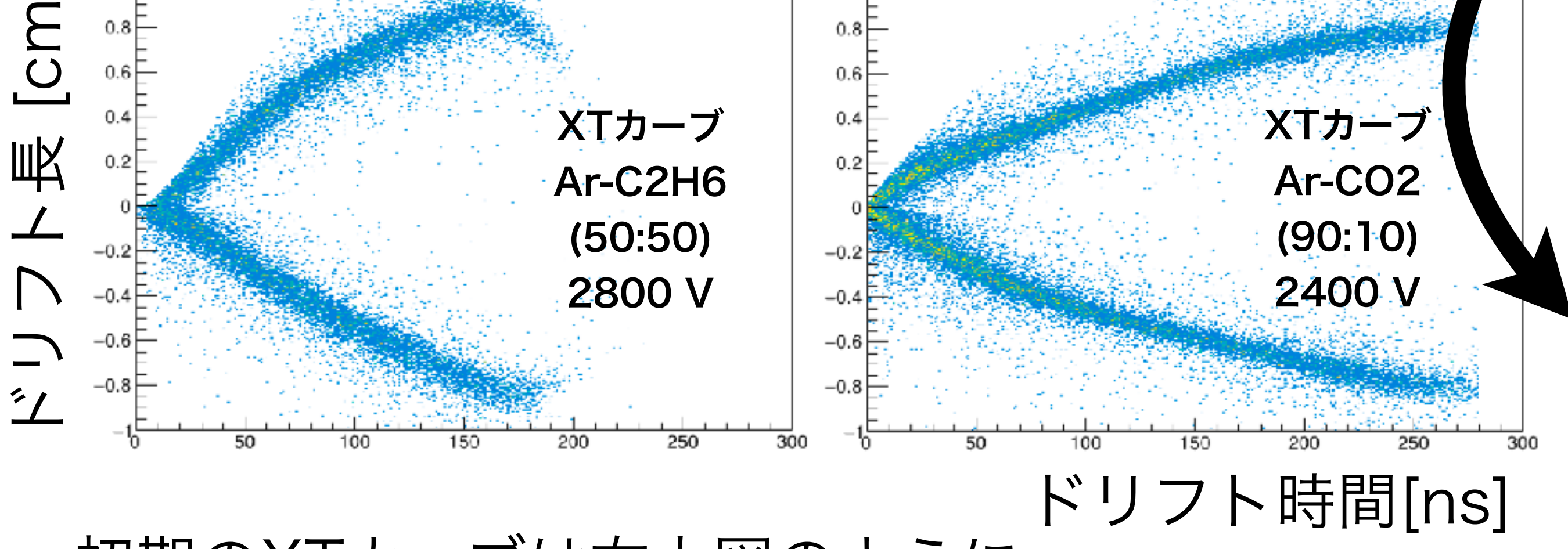
6. 旧CDCによる性能評価

ドリフト長の補正?

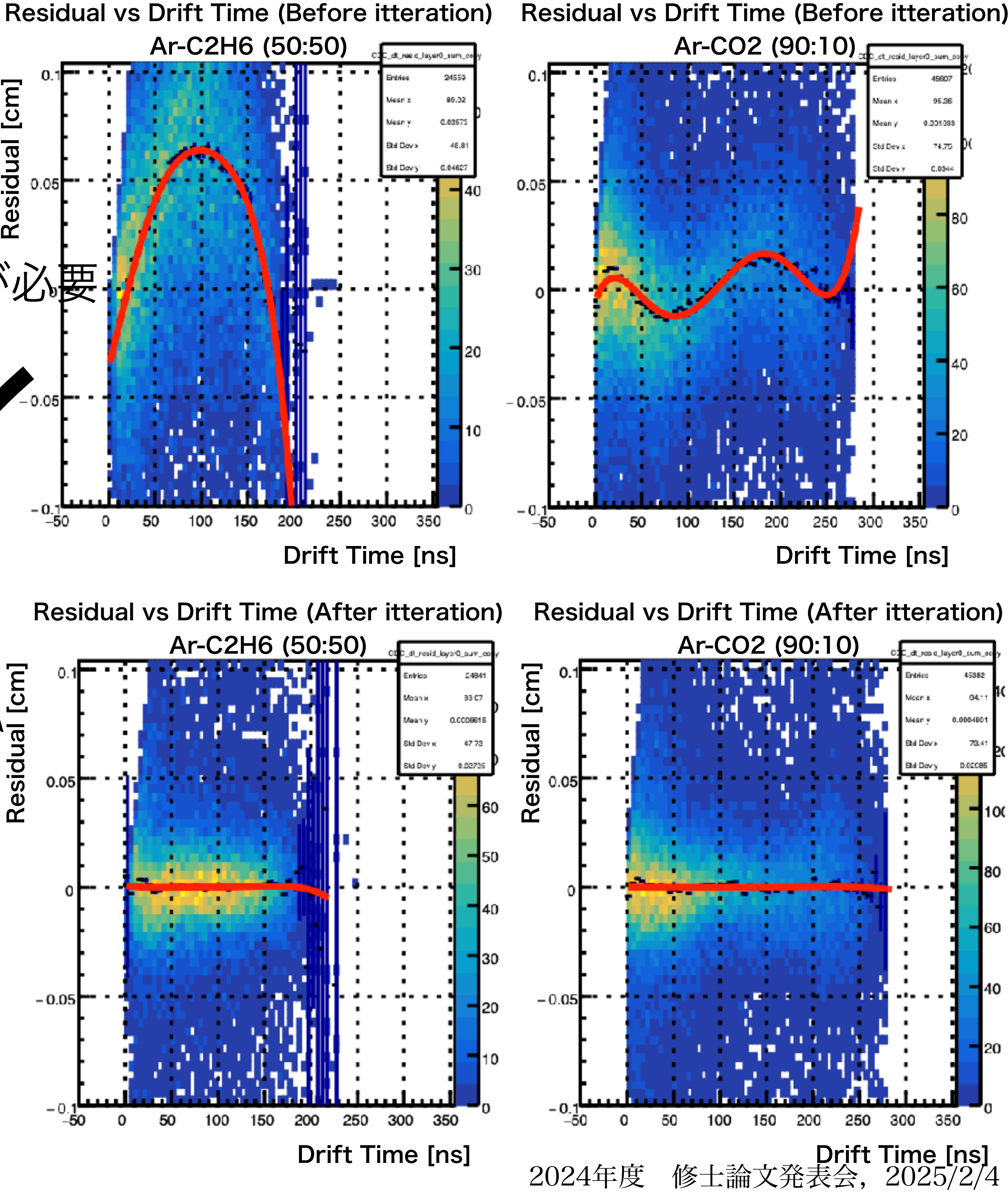
・トラッキングのためには

<u>ドリフト時間からドリフト長さへの変換 (XTカーブ)</u>が必要

・ドリフト時間からドリフト長への変換の関数は 5次関数を使用。



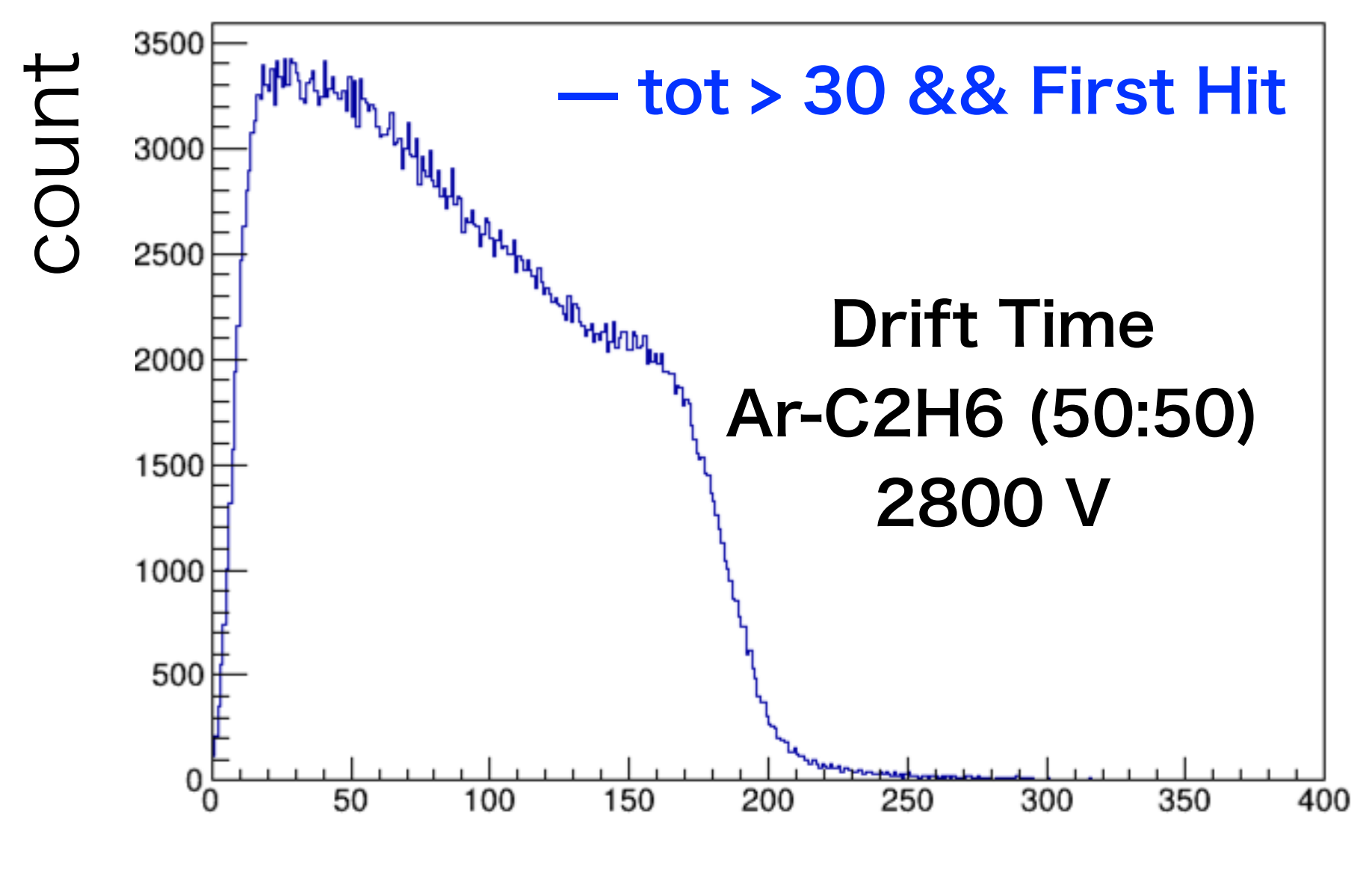
- ・初期のXTカーブは右上図のように ドリフト時間とResidualに相関がある。
- ・ドリフト時間とResidualに相関を 5次関数でFitし補正をし、新たなXTカーブとした。

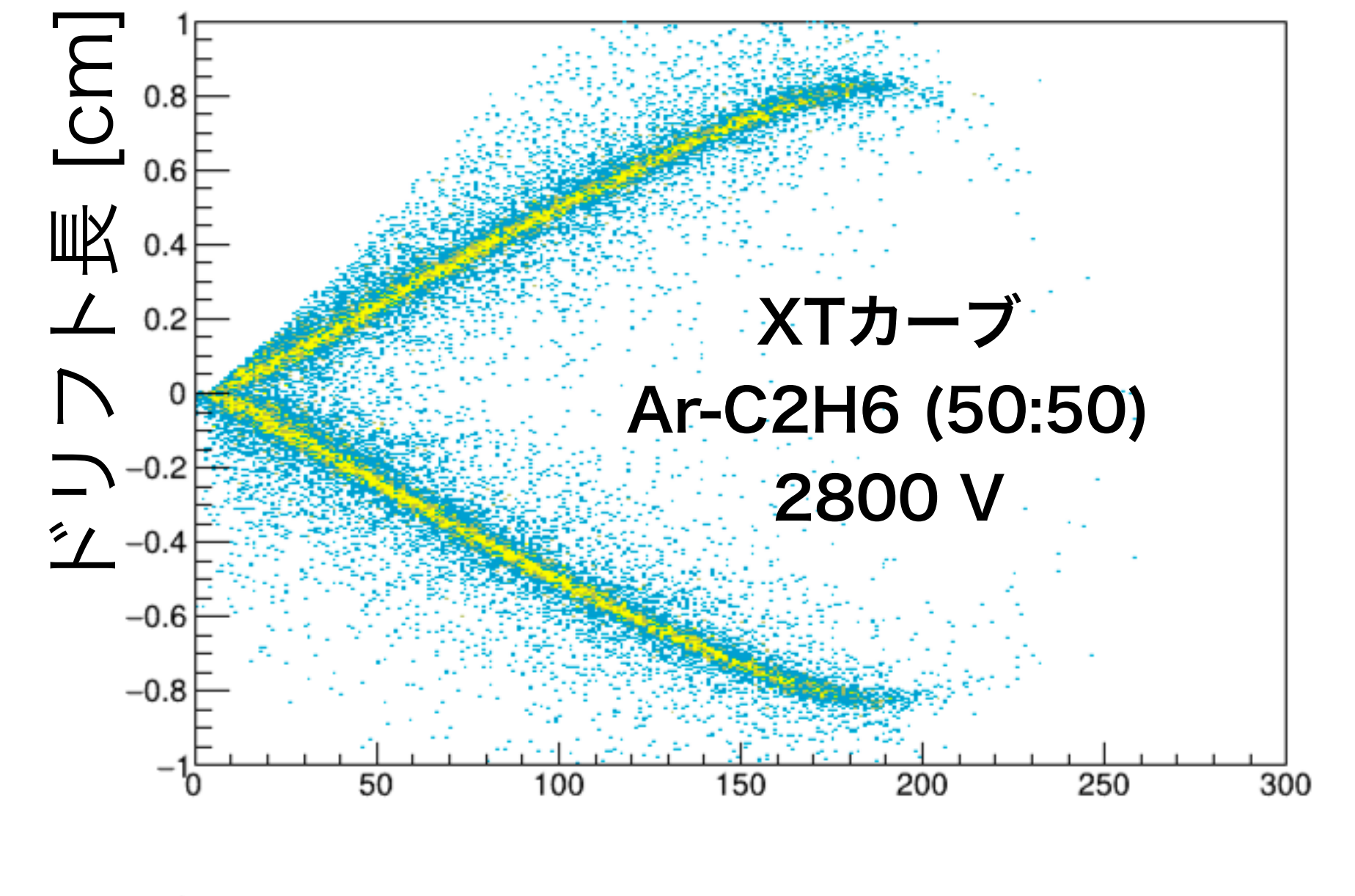


ドリフト時間分布とXTカーブ

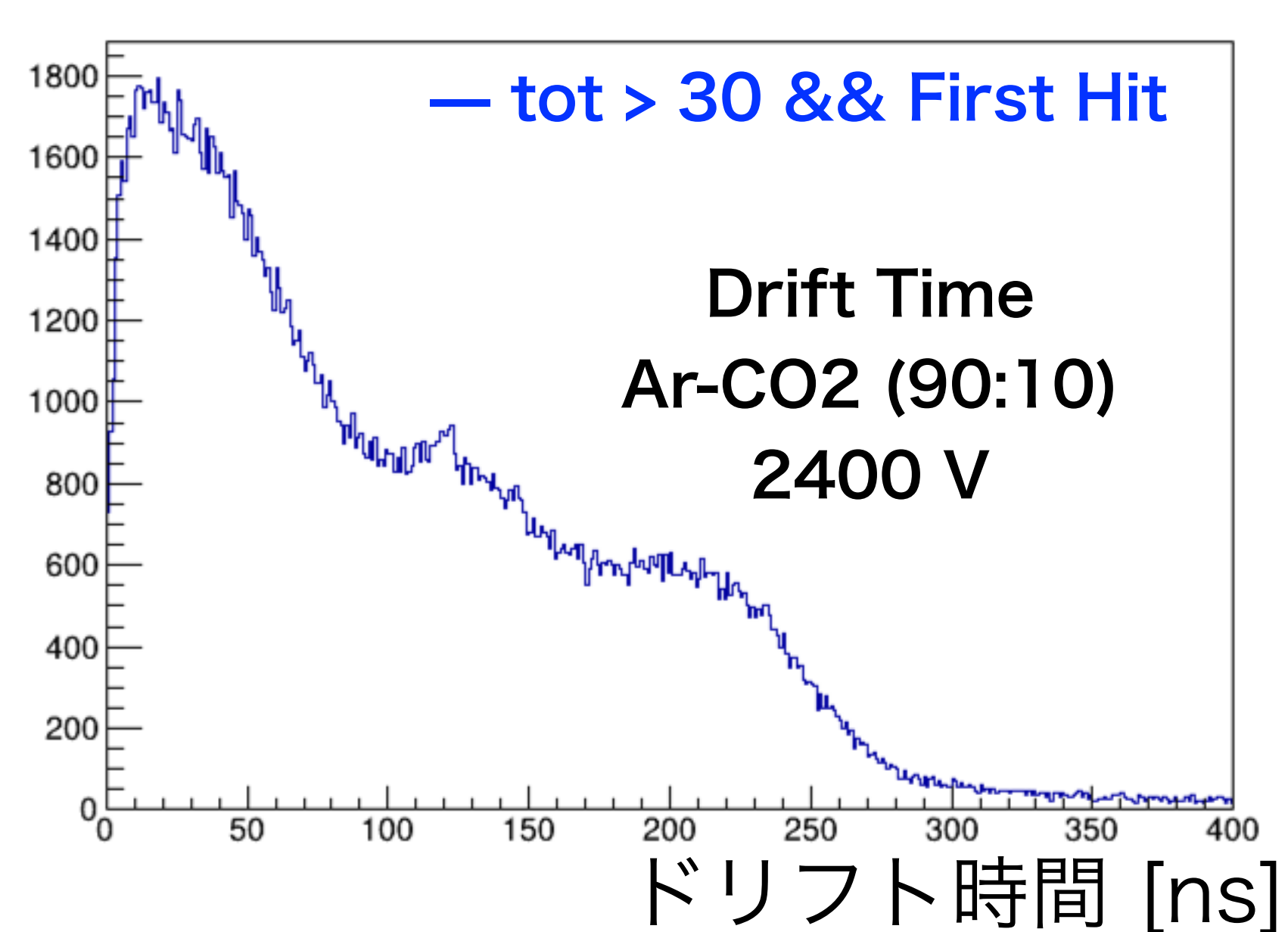
XTカーブ:

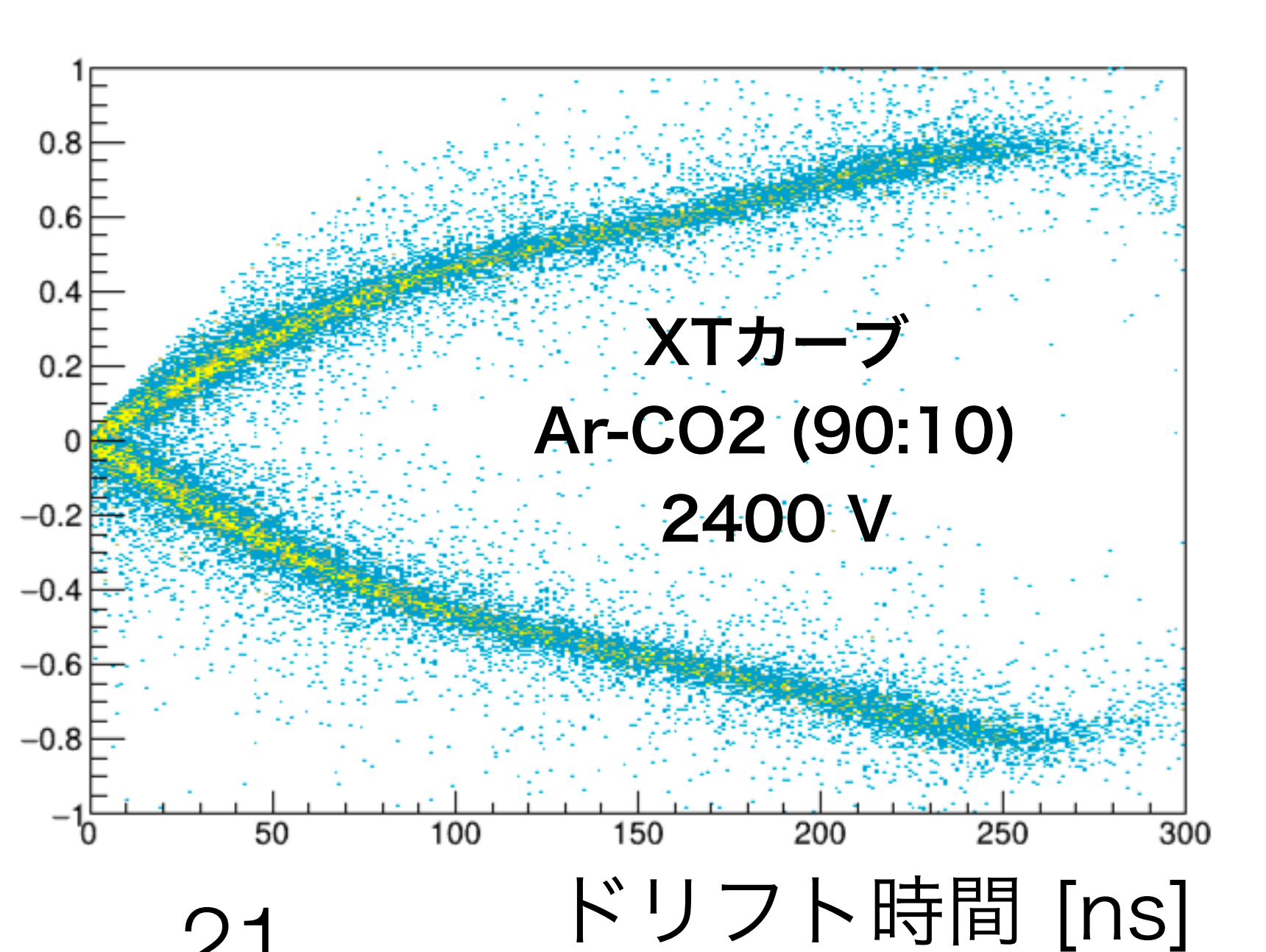
時間情報から位置情報に変換するための関数



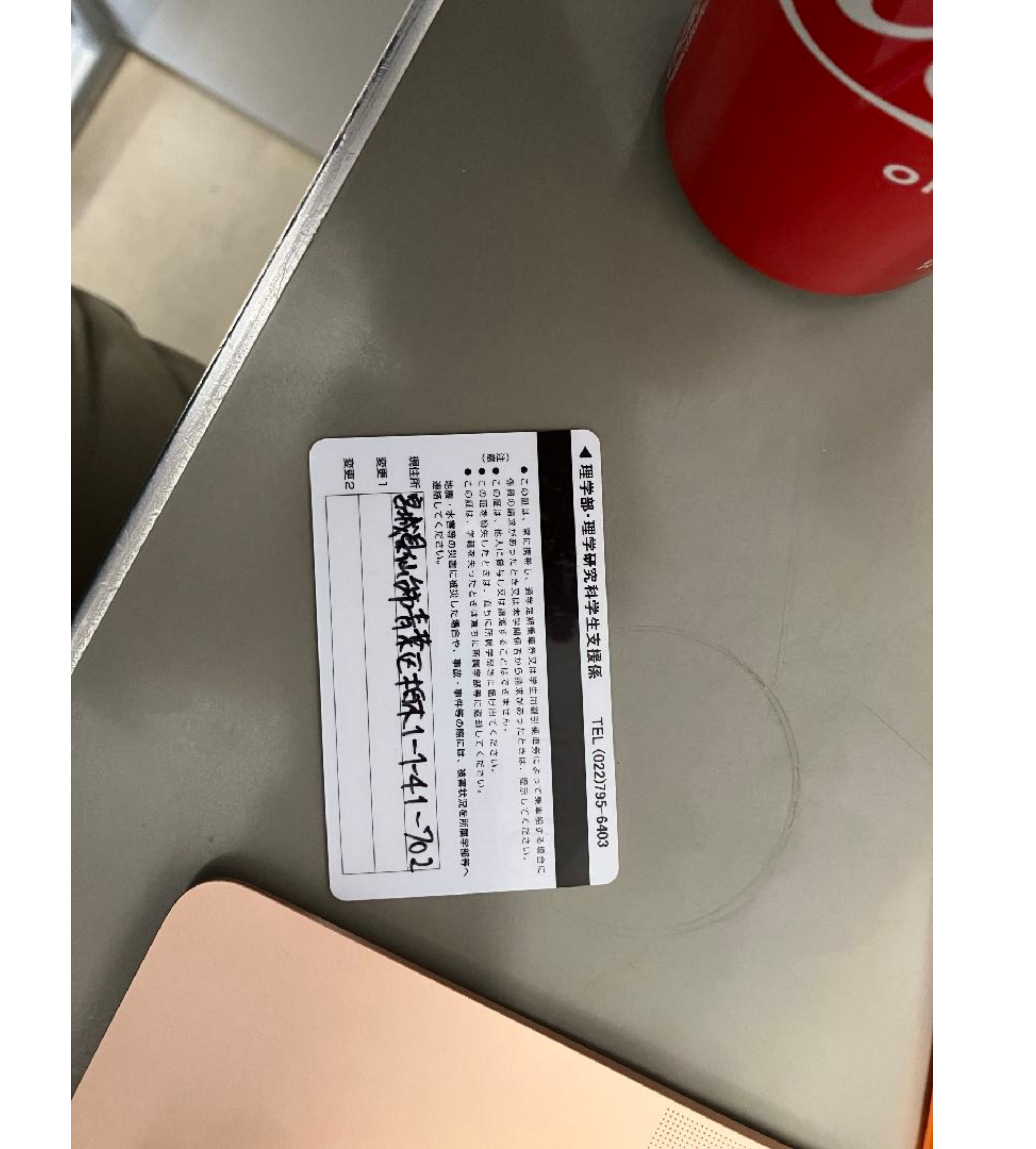


<u>ガスによる違いを</u> 実際に測定できた。





2024年度 修士論文発表会, 2025/2/4



TOHOKU

1日 発行

字結番号 C3SM2016 所 展 理学研究科 2023年 4月 1日 入

#

門